



POLITECNICO DI MILANO

Facoltà di Ingegneria Industriale

Corso di Laurea in
Ingegneria Meccanica

FIRE INVESTIGATION DI LAMIERE IN AISI 316L PER TUBOLARI DI CANNE FUMARIE. STUDIO DELL'ALTERAZIONE TERMICA E DEGLI OSSIDI SUPERFICIALI

Relatore: prof. Marco BONIARDI
Co-relatore: ing. Andrea CASAROLI

Tesi di Laurea di:
Andrea COSTA

Indice generale

1	1. L'INCENDIO E GLI ATTUALI METODI DI INVESTIGAZIONE
1	1.1 L'incendio
7	1.2 Metodi di investigazione attuali
7	1.2.1 Cause di innesco
10	1.2.2 Punto di origine e percorso seguito dalla fiamma
18	1.2.3 Temperature raggiunte
20	1.3 Bibliografia
21	2. IL CAMINO E LA CANNA FUMARIA
21	2.1 Introduzione
23	2.2 Evoluzione del camino
28	2.3 Funzionamento del camino
28	2.3.1 Generalità
28	2.3.2 Funzione della canna fumaria
29	2.3.3 Teoria elementare del camino
36	2.4 Progettazione del camino
36	2.4.1 Calcolo del tiraggio naturale
37	2.4.2 Calcolo delle perdite di carico
42	2.4.3 Tiraggio disponibile e massa dei fumi
43	2.4.4 Difetti del tiraggio
49	2.4.5 Soluzioni pratiche e costruttive
49	2.4.5.1 Eccesso di tiraggio
50	2.4.5.2 Scarso tiraggio
52	2.4.5.3 Correggere i difetti di esposizione e costruzione
52	2.4.5.4 Compensare i problemi architettonici
53	2.4.5.5 Evitare il cattivo combustibile
53	2.5 Collocazione del camino e della canna fumaria
54	2.6 Rischio incendio nel camino e nella canna fumaria
54	2.6.1 Problemi di installazione
55	2.6.2 Prevenzione
57	2.7 Bibliografia
58	3. ACCIAI INOSSIDABILI

58	3.1	Generalità
59	3.2	Classi di acciai inossidabili
62	3.2.1	Acciai inossidabili martensitici
63	3.2.2	Acciai inossidabili ferritici
64	3.2.3	Acciai inossidabili duplex
66	3.3	Acciai inossidabili austenitici
66	3.3.1	Tipi di acciai inossidabili austenitici
67	3.3.2	Trattamenti termici
68	3.3.3	Proprietà meccaniche e fisiche
73	3.4	Bibliografia
74	4.	ANALISI DELLE LAMIERE PER TUBOLARI DI CANNE FUMARIE
74	4.1	Introduzione
76	4.2	Programma degli esperimenti
76	4.2.1	Riscaldamento campioni
78	4.2.2	Analisi fotografica: light box e fotocamere
82	4.2.3	Analisi fotografica: fotografie e istogrammi RGB
193	4.2.4	Analisi fotografica: ANOVA
193	4.2.4.1	Analisi della media del canale rosso
198	4.2.4.2	Analisi della deviazione standard del canale rosso
200	4.2.4.3	Analisi della media del canale verde
205	4.2.4.4	Analisi della deviazione standard del canale verde
207	4.2.4.5	Analisi della media del canale blu
211	4.2.4.6	Analisi della deviazione standard del canale blu
213	4.3	Bibliografia
214	5.	ANALISI STRUTTURA CRISTALLINA E OSSIDI SUPERFICIALI
214	5.1	Analisi struttura cristallina
234	5.2	Analisi ossidi superficiali
246	5.3	Bibliografia
247	6.	CONCLUSIONI
247	6.1	Considerazioni finali
250	Allegato A	

Il camino e la canna fumaria

2.1 – Introduzione

“L'uomo si è differenziato realmente dall'animale solo a partire dal giorno in cui è diventato padrone del fuoco”. Con questa affermazione la scrittrice Catherine Perlès ha colto in pieno un aspetto fondamentale della nostra vita. L'uso del fuoco, il suo impiego e il controllo diversificato ha contribuito in modo determinante al progresso dell'umanità. Dal giorno in cui l'uomo è divenuto padrone del fuoco ha cercato di addomesticarlo, rendendo sicuro il suo confinamento per molteplici usi: per prima cosa per scaldarsi e illuminare le abitazioni, oltre che per cucinare e allontanare gli animali. Solo in un secondo tempo l'uso del fuoco è servito per migliorare lo stile di vita e permettere lo svolgimento della stessa con sempre più comfort.

Dalla fine del Medioevo si comincia a parlare di “camino”, un strumento utilizzato per il confinamento del fuoco domestico al fine di realizzare tutte le attività legate al fuoco. Il camino costituirà per lungo tempo, a causa del suo uso improprio ed i difetti di costruzione, il maggior rischio di incendio nelle abitazioni. I continui sviluppi e miglioramenti tecnologici, uniti alla prevenzione e alla conoscenza dei rischi connessi all'uso del camino, hanno permesso di raggiungere la perfezione delle tecniche di costruzione dello stesso attorno al XX secolo. Tuttavia le migliori conoscenze dei materiali e la nascita di nuove discipline per il riscaldamento domestico hanno portato ad un progressivo abbandono del camino e ad un rapido declino di questo componente, relegandolo ad una funzione ornamentale di arredo domestico.

Un duro colpo al camino è stato inflitto dall'architettura del movimento razionalista per i quali ogni ornamento è un delitto. Negli ultimi anni il camino ha ricoperto una funzione di elemento puramente decorativo o come un capriccio di arredatori e designer. Questo repentino declino e abbandono del camino ha contribuito a disperdere l'enorme patrimonio di esperienze e conoscenze faticosamente acquisite nel corso dei secoli precedenti da esperti artigiani edili e

costruttori di camini. Per molte persone ancora oggi il camino risulta essere un oggetto la cui costruzione risulta essere spesso empirica o basata su regole tramandate da famiglie di artigiani; in realtà dietro la costruzione di un camino, e soprattutto dietro il suo corretto funzionamento, ci sono leggi fisiche e trattati teorici che fanno sì che il camino sia in tutto e per tutto da progettare, realizzare e collaudare come un qualsiasi componente o impianto. Purtroppo nella pratica comune vengono completamente ignorate le regole costruttive e le norme per un suo corretto funzionamento. Questo fa sì che in Italia, attualmente, non esistano delle norme che regolino la costruzione e l'esercizio dei camini domestici.

A differenza delle numerose norme e prescrizioni che sono presenti nei Codici italiani per la realizzazione di impianti di produzione del calore, per quanto riguarda i camini domestici, il tutto è rimandato al buon senso del costruttore e all'abilità degli artigiani del settore. A causa di quanto detto in precedenza, il camino, insieme a tutto quello che può derivare dal cattivo uso e dalla mancata prevenzione, risulta essere una delle maggiori cause di incendio domestico.



Fig. 2.1 – Esempio di caminetto dopo un incendio.

Certamente gli impianti a caldaia riscaldano di più e più economicamente dei camini, le lampade ad incandescenza elettriche illuminano meglio dei camini così come altri sistemi tecnologici ci permettono di rendere la nostra vita più agevole e ricca di comodità, ma talvolta l'uso del caminetto può creare un'atmosfera diversa che non è possibile riprodurre con altri dispositivi elettrici. Nelle baite di montagna o nelle zone dove il freddo è particolarmente pungente, il camino può ancora ricavarsi uno spazio importante e ritrova la sua primitiva sacralità di focolare domestico.

La conoscenza delle regole costruttive del camino permettono di poter svolgere un'adeguata manutenzione e, in caso di incendio, di facilitare i soccorsi e l'individuazione delle cause che

hanno generato il malfunzionamento.

2.2 – Evoluzione del camino

La storia del camino inizia al tempo dell'addomesticamento del fuoco da parte dell'uomo, proseguendo con la ricerca del suo confinamento, mantenimento e per scaldare, illuminare e cucinare. Ripercorrere la storia del camino dalle preistoria fino ai giorni nostri sarebbe un onere lungo e non consono agli scopi di questo lavoro di tesi e, proprio per questo motivo, mi limiterò ad analizzare il camino partendo dalle prime testimonianze di focolare domestico risalenti al Medioevo, per poi arrivare agli ultimi camini moderni che rappresentano lo stato dell'arte.

Dalla preistoria fino al decimo secolo lo sviluppo dei camini domestici è stato lento e avaro di migliorie significative; in questo periodo il fuoco veniva generalmente posto al centro della stanza per permettere un miglior irraggiamento della stessa e il camino consisteva in un foro posto sul tetto sopra al fuoco, utilizzato come unico sfogo per i fumi. Il vantaggio di questa soluzione era di avere una diffusione del calore uniforme in tutta la stanza e di tenere il fuoco lontano dalle pareti, molto spesso realizzate in legno o in materiale povero comunque infiammabile.

Dal Tredicesimo secolo l'aumento della popolazione, con conseguente ingrandimento delle città, e uno sviluppo socio – tecnologico, portarono ad uno sconvolgimento dell'edilizia urbana: la pietra e i mattoni andarono sempre più a sostituire il legno dei muri e la paglia dei tetti. La sostituzione delle case di legno con case realizzate in pietra e mattoni fece diminuire il numero di incendi e consentì lo spostamento del focolare dal centro della stanza ad una delle pareti. La parete in pietra consentiva la realizzazione di una canna fumaria, evitava o diminuiva il pericolo d'incendio, permetteva di inserire il camino in qualunque ambiente, utilizzandolo non solo per cucinare, ma anche, e soprattutto, per riscaldare e illuminare le stanze. Nasceva così il camino moderno come lo intendiamo noi oggi.

Il caminetto a parete nasce nei paesi nordici dove il freddo è più acuto e pungente e comincia a prendere piede in tutta Europa tra il 1200 e il 1300. I primi camini furono del tipo “*a padiglione*”, cioè completamente aggettanti dalla parete a cui erano addossati, che ne costituiva il fondo. L'enorme cappa era sostenuta quasi sempre da colonne in pietra e l'ingombro totale del camino era notevole. La mancanza di fianchi protetti ne rendeva difficoltoso il tiraggio. La grandezza eccessiva del camino, unita alla difficoltà di riuscire a

scaldare tutte le stanze, fece propendere per una scelta costruttiva meno prominente: la soluzione fu di costruire il camino integralmente nel muro, il quale doveva per forza essere di grande spessore; questo causò una difficoltà nella realizzazione di camini nei piani superiori delle abitazioni. La soluzione, come spesso accade, è un compromesso: il camino venne inserito per metà nella parete, per aiutare il tiraggio e rendere meno ingombrante la struttura, consentendone l'impiego anche con muri di spessore minore.

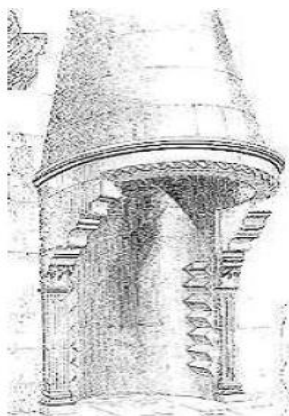


Fig. 2.2 – Camino medievale in muratura.

Un altro problema progettuale e costruttivo del camino consisteva nei fumi: un camino esterno al muro scaldava di più, ma faceva troppo fumo, mentre un camino totalmente incassato scaldava poco spillando meno fumo. Le soluzioni proposte e le migliorie apportate nel corso degli anni furono di natura empirica e votate alla soluzione migliore che garantiva un ambiente caldo e allo stesso tempo con la minore presenza di fumi all'interno della casa. Per oltre tre secoli, tuttavia, la storia del camino è solo soprattutto architettonica e stilistica perché non vi furono progressi tecnici significativi.

Tutte le migliorie tecniche apportate fino al diciassettesimo secolo sono più che altro consigli pratici e soluzioni specifiche dettate soprattutto dal buon senso e dall'esperienza; risolti i problemi architettonici ed edilizi si affrontarono quelli legati alla meccanica di funzionamento del camino.

Tra il 1600 e il 1700 si cominciano ad apportare miglioramenti tecnici riguardanti la riduzione dei fumi negli ambienti e per risolvere il cattivo tiraggio del camino. Vengono inserite prese esterne per tirare l'aria in modo che gli ambienti domestici non fossero soggetti al ricambio di aria fresca dall'esterno: in questo modo la rigenerazione dell'aria interna avveniva ad una temperatura più confortevole.

Intorno al 1745 compaiono i primi caminetti realizzati completamente in lamiera di ferro, appoggiabili al muro, che sfruttano la conduttività del metallo per aumentare l'irraggiamento. Questi prototipi sono ancora conosciuti con il nome di “*caminetti alla prussiana*”.

Negli anni successivi i miglioramenti del camino percorrono due strade differenti: da un lato gli scienziati provano a capire le cause dei fumi e del cattivo tiraggio studiandone la fluidodinamica, mentre dall'altro scultori e artigiani edili sperimentano nuovi materiali da costruzione; vengono inventati i primi camini in argilla refrattaria, resistente a temperature maggiori.

Queste sono solo delle piccole anticipazioni rispetto alla vera rivoluzione tecnica e scientifica che avverrà alla fine del XVIII secolo e proseguirà nel corso di tutto l'800. Le maggiori scoperte sono da attribuire a due personaggi straordinari, Benjamin Franklin e Benjamin Thompson, conte di Rumford, entrambi coloni americani, che unendo al nuovo spirito scientifico ed alle nuove scoperte tecniche il senso pratico e lo spirito di intraprendenza, risolsero, in maniera quasi definitiva, il problema dei camini.

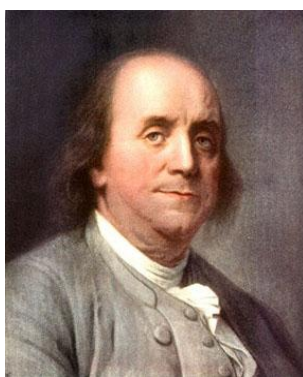


Fig. 2.3 – Benjamin Franklin.

Benjamin Franklin (Boston, 17 gennaio 1706 – Philadelphia, 17 aprile 1790) dopo aver fondato la Società Filosofica Americana, la prima compagnia di Vigili del Fuoco e la prima società di assicurazione contro gli incendi, ideò il “*caminetto Franklin*”. Franklin per primo colse, in un'epoca in cui nessuno sapeva molto sul calore, e poco di più sul fumo, che il fumo era in realtà più pesante dell'aria, e che non avrebbe mai potuto risalire una canna fumaria senza l'apporto del calore, nozione del tutto ignorata prima di lui. Consapevole che una colonna d'aria e fumo calda che risale una canna fumaria crea un debito d'aria nell'ambiente in cui si trova il caminetto, Franklin dedusse logicamente che un apporto d'aria fresca doveva essere in qualche modo assicurato all'ambiente e propose una presa d'aria posta direttamente nel focolare e collegata all'esterno. Un'ulteriore proposta fu quella di proporzionare l'apertura dei caminetti nella stanza: sostenne che l'apertura della bocca del camino doveva mantenere delle proporzioni tra altezza e larghezza in modo da non disperdere il calore.

Mentre studiava come migliorare l'efficienza dei camini, Franklin era anche alle prese con uno studio su come sbarazzarsene definitivamente, sostituendoli con strumenti più efficaci. Pubblicò un articolo in cui descriveva il funzionamento di una nuova stufa per bruciare

carbon fossile. La nuova stufa-caminetto prese il nome di “*caminetto di Pennsylvania*”: realizzata in metallo, molto economica grazie allo sviluppo delle tecniche metallurgiche ed alle prime produzioni di serie, ebbe uno straordinario successo e si diffuse soprattutto nel nord America.



Fig. 2.4 – Caminetto di Pennsylvania.

Negli anni successivi Benjamin Thompson (Woburn, 26 Marzo 1753 – Autiel, 21 Agosto 1814)raccolse l'eredità di Franklin e fondò, con i suoi denari, la Royal Institution of Graet Britain per lo sviluppo di nuove applicazioni scientifiche destinate ad alleviare la povertà. Scopri le correnti di convezione e ideò un prototipo di calorimetro per calcolare il calore di combustione di legna, carbone ed altri combustibili utilizzati all'epoca per riscaldare le case.

Diede un fondamentale contributo alla scienza con i suoi studi sul calore, scoprendo per primo che il calore non era, come si era sino ad allora pensato, una sostanza, ma che era semplicemente prodotto dal moto delle particelle.

Thompson acquistò la sua enorme competenza sui camini grazie al suo lavoro “sul campo”; durante il suo soggiorno in Inghilterra, insieme ai suoi mastri muratori, intervenne nella sistemazione e messa a punto di oltre 500 caminetti, rendendoli più efficienti e conquistando una vastissima fama in questo campo. L'idea di base era molto semplice, Thompson sosteneva che il fumo avesse una naturale tendenza a risalire le canne fumarie e che, quindi, l'unico ausilio consiste nell'individuare e rimuovere tutti gli ostacoli presenti nel cammino dei fumi. Uno degli ostacoli principali era l'enorme dimensione delle cappe e delle canne fumarie allora in uso, che provocavano il raffreddamento dei fumi, rallentandone la spinta verticale al punto che un semplice refole di vento poteva facilmente infilarsi nella canna e respingere i fumi nell'ambiente domestico. Questa enorme dimensione delle canne fumarie era dettata dalla necessità di avere spazio sufficiente per permettere agli spazzacamini di infilarsi nei condotti per ripulirli. Thompson, grazie ai suoi studi, riuscì a migliorare l'efficienza della combustione e a preservare la canna fumaria dall'accumulo eccessivo di residuo, evitando la necessità di pulizie così impegnative e consentendo il restringimento della canna stessa.

Stabilì inoltre che le superfici interne del camino dovessero essere quanto più possibile lisce e prive di angoli accentuati, per facilitare lo scorrimento dei fumi, il cui percorso doveva essere il più verticale possibile, e raccomandò quindi di porre l'imbocco della canna fumaria direttamente sopra il piano di fuoco.

Infine i suoi studi sulla diffusione e propagazione del calore lo portò a realizzare le pareti interne del camino inclinate con angoli studiati matematicamente al fine di riflettere più calore possibile verso l'interno del locale. Il risultato fu un camino diverso da quello che si conosceva fino a quel momento, notevolmente più efficace nel riscaldamento e praticamente privo di fumi.

Thompson, oltre a descrivere minuziosamente forma, dimensioni e relazioni rigorose tra le parti del camino, fornì anche preziosi consigli sulla qualità del combustibile da utilizzare, sui metodi di accensione, sulla manutenzione, etc. che sono tutt'oggi ancora validi.

Il “*caminetto Rumford*”, che prese il nome dal casato di Thompson, si diffuse principalmente nel mondo anglosassone e diventò un punto di riferimento per la costruzione dei caminetti per tutto l'Ottocento. Nel corso dell'Ottocento si raggiunse la consapevolezza che l'irraggiamento era la fonte di calore del camino e si spinse alla ricerca e all'uso di combustibili maggiormente radianti, come carbon fossile o carbon coke. Per tutto il diciannovesimo secolo vennero scritti articoli e trattati sul riscaldamento domestico e sui camini, ma quasi tutti fecero riferimento ad una struttura simile al caminetto Rumford.



Fig. 2.5 – Caminetto moderno.

Il problema principale rimane legato alla possibilità di avere un ritorno di fumi nell'ambiente dovuto alle seguenti cause: 1) difficoltà di introdurre nella stanza la stessa quantità di aria che viene aspirata dal camino; 2) dimensioni sbagliate o eccessive della gola; 3) temperatura troppo bassa dei condotti di combustione; 4) ridotta velocità d'efflusso dei fumi; 5) azione diretta o indiretta del vento sulla sommità della cappa. Per ciascuno di questi problemi si sono

trovate soluzioni che vanno dalla riprogettazione dei condotti interni, all'utilizzo di cappellotti sui comignoli esterni e all'uso di un camino a ventilazione, che preriscalda l'aria e la mescola in continuazione con l'aria dell'ambiente per evitare un deficit d'aria.

I progressi tecnici del ventesimo secolo, tuttavia, portarono ad un progressivo abbandono dell'uso del camino; per riscaldare gli ambienti vennero scelte delle soluzioni più efficienti ed economiche come le stufe o, più recentemente, le caldaie. Per l'illuminazione invece, le lampadine a incandescenza soppiantarono definitivamente il camino già nell'Ottocento. Infine, si scelse di utilizzare delle cucine prima a legna e carbone, e poi successivamente a gas, come metodo di cottura, relegando il caminetto ad una funzione secondaria.

2.3 – Funzionamento del camino

2.3.1 – Generalità

Gli elementi fondamentali di un qualsiasi impianto di riscaldamento, compreso il caminetto, non è il bruciatore, bensì la canna fumaria.

Gli elementi stufa o caminetto non sono elementi automi dell'impianto e senza una buona canna fumaria, non si discostano di molto da un semplice braciere, che ha la sola funzione di confinamento del fuoco.

L'uscita dei fumi dalla stufa o dal camino, pertanto, non può essere semplicemente risolta con un tubo che mette in comunicazione il caminetto con l'esterno, ma va considerata sotto il profilo tecnico con lo studio fisico del fenomeno.

Le massime prestazioni dell'impianto sono strettamente legate a tre fasi di vita dell'impianto:

- fase di progettazione;
- fase di realizzazione;
- fase di manutenzione.

Capire come funziona una canna fumaria aiuterà a comprenderne l'importanza della sua funzione e a non sottovalutare il suo dimensionamento.

2.3.2 – Funzione della canna fumaria

Una canna fumaria ben progettata deve assolvere a due funzioni principali:

- Evacuare i fumi della combustione ad un'altezza dal suolo sufficiente a favorirne la dispersione, così da renderli innocui per la salute e la sicurezza dell'uomo.
- Costituire il “motore” della combustione. Il camino è un motore statico, senza parti in movimento, il cui compito è di spingere l'aria comburente nella camera di combustione, rendendo così possibile la reazione di combustione stessa.

Dalle conoscenze della fisica e della chimica della combustione sappiamo che una reazione di combustione avviene quando al sistema combustibile – comburente, attraverso una sorgente d'ignizione, viene fornita la necessaria energia di attivazione (è l'energia necessaria al sistema per iniziare un determinato processo) capace di portare la temperatura del sistema alla sua temperatura di autoignizione, cioè la temperatura al di sopra della quale ha luogo l'ignizione e la reazione è capace di sostenersi e autoaccelerarsi.

Nei caminetti e nelle stufe l'alta temperatura, necessaria al sostentamento del processo di combustione, viene assicurata con il confinamento del combustibile e del comburente nella camera di fuoco.

2.3.3 – Teoria elementare del camino

Il funzionamento del camino si basa sul semplice principio dei vasi comunicanti, con il fluido che tende ad assumere e conservare lo stesso livello in ogni vaso, purché:

- i due vasi comunichino tra loro;
- il fluido contenuto nei due vasi abbia la stessa densità.

L'aria, essendo un fluido dotato di massa, ha una propria densità che dipende in modo diretto dalla temperatura. In una prima analisi approssimativa, si può affermare che all'aumentare della temperatura la densità dell'aria tende a diminuire (in realtà la densità dipende anche da altri parametri come pressione, volume specifico, ecc., ma possiamo considerare che il principale parametro d'influenza sia la temperatura visti i valori elevati che si raggiungono durante la combustione).

In figura 2.6 vengono mostrati due camini, A e B, di identica altezza ed in comunicazione tra loro alla base, in corrispondenza di un tratto orizzontale, dove al centro vi è una saracinesca che li separa. Alla temperatura ambiente le due colonne d'aria contenute nei camini avranno la stessa densità e di conseguenza lo stesso peso. In conclusione i camini sono in equilibrio statico.

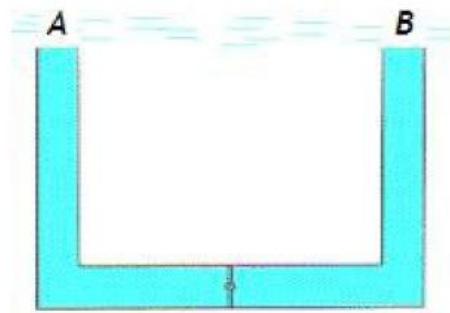


Fig. 2.6 – Camini in equilibrio statico.

Se somministriamo calore alla base della colonna A, la temperatura dell'aria contenuta in A comincerà a salire.

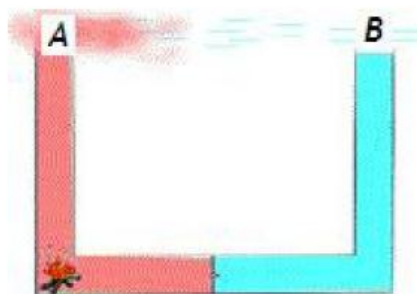


Fig. 2.7 – Aumento di energia nella colonna A.

L'aumento della temperatura, ossia la somministrazione di energia alle molecole di gas, determina l'accelerazione del moto delle molecole costituenti il gas stesso, provocando la sua espansione. Una parte dei gas sarà espulsa dalla sommità del camino, mentre la parte restante all'interno diminuirà di densità, diventando più leggera.

In queste condizioni, aprendo la saracinesca per mettere in comunicazione le due colonne, viene alterato l'equilibrio statico descritto precedentemente. L'aria contenuta nella colonna A, meno densa e più leggera, tenderà ad essere espulsa dalla sommità del camino. Viceversa l'aria contenuta nella colonna B, più fredda e quindi più densa e pesante, per gravità tenderà a prendere il posto dell'aria evacuata dalla colonna A, per ristabilire l'equilibrio del sistema.

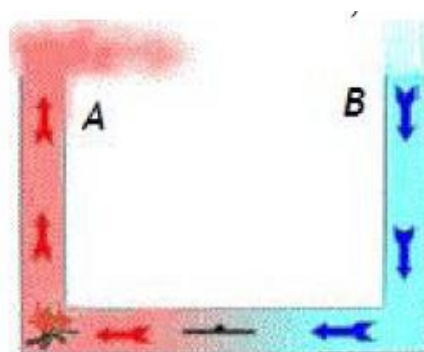


Fig. 2.8 – Principio di funzionamento del camino.

A contatto con la fonte di calore, tuttavia, l'aria fredda proveniente dalla colonna B aumenterà di temperatura. Divenuta anch'essa più calda e più leggera, verrà spinta verso l'alto dalla nuova aria che sopraggiunge dalla colonna B. L'unione delle due colonne e l'apporto continuo del calore determinano il funzionamento del sistema.

1) Applicazione dell'equazione di Bernouilli al calcolo della sezione dei camini

L'equazione di Bernouilli descrive l'energia posseduta dal fluido in moto ed è la somma di contributi di energia: potenziale, cinetica e di pressione. L'equazione di Bernouilli si ottiene applicando ad un fluido in moto in un condotto l'equazione della meccanica: $F = m \times a$.

Per il moto stazionario di un fluido ideale, l'applicazione della seconda legge della dinamica porta a scrivere la relazione differenziale:

$$v \times dp + d\left(\frac{u^2}{2}\right) + g \times dz = 0$$

che integrata tra due sezioni 1 e 2, diventa:

$$\int_1^2 v \times dp + \frac{u_1^2 + u_2^1}{2} + g \times (z_2 - z_1) = 0$$

la somma di questi tre termini prende il nome di carico totale in una sezione ed esprime il fatto che nel moto stazionario di un fluido ideale il carico in ogni sezione rimane costante.

Quando andiamo a considerare il fluido reale, possiamo esprimere l'allontanamento dall'idealità del fluido tenendo conto delle perdite di carico, per questo motivo la somma dei tre termini non è più la stessa in tutte le sezioni. Le perdite di carico si dividono in perdite di carico concentrate, dovute a brusche variazioni di sezioni, curve nella canna fumaria, ecc. o perdite di carico distribuite, generate dall'attrito del fluido con le pareti del condotto e quindi direttamente proporzionali alla lunghezza della canna e dalla velocità del fluido. Nell'equazione consideriamo queste perdite di carico l'aggiunta del termine R, l'espressione diventa:

$$\int_1^2 v \times dp + \frac{u_1^2 + u_2^1}{2} + g \times (z_2 - z_1) + R = 0$$

Si consideri il camino schematizzato come un condotto ripieno di un fluido a temperatura T_f costante lungo il condotto, le cui estremità, in comunicazione con l'atmosfera, abbiano un dislivello $z_1 - z_2 = H$ chiamato altezza del camino.

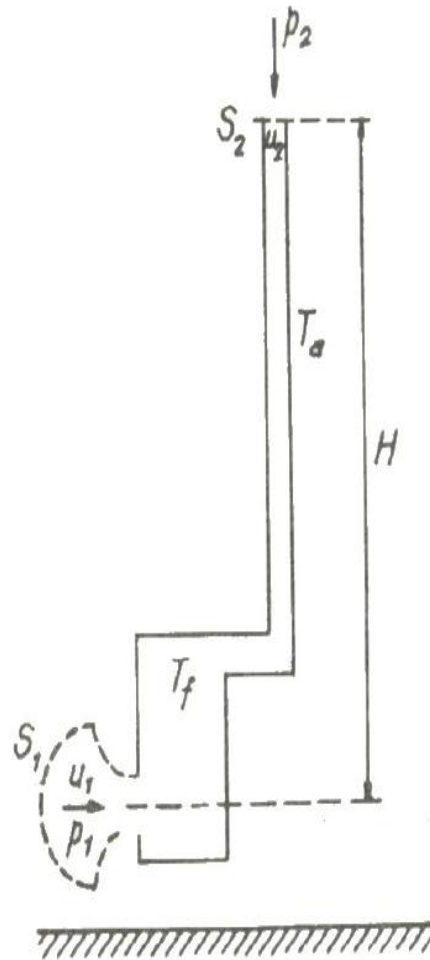


Fig. 2.9 – Schematizzazione del camino.

Sia T_a la temperatura dell'aria esterna al condotto. Consideriamo inoltre la sezione iniziale 1 della vena fluida sufficientemente lontana dalla sezione di imbocco, in modo da non avere problemi di turbolenza e ipotizzando che u_1^2 sia trascurabile rispetto a u_2^2 . Possiamo quindi scrivere:

$$v_f \times (p_2 - p_1) + g \times H + \frac{u_2^2}{2} + R = 0$$

dove il termine v_f indica il volume specifico del fluido interno al camino (ossia i prodotti della combustione) alla temperatura T_f e ad una pressione intermedia tra p_1 e p_2 che si può supporre costante dato il piccolo valore della differenza piezometrica. Si osservi che questa differenza di pressione è determinata dalle diverse quote delle sezioni 1 e 2: la pressione p_1 sarà maggiore

della p_2 a causa del peso della colonna di aria e dell'altezza H . Imponendo:

$$p_1 - p_2 = g \times \frac{H}{v_a}$$

e inserendo questa relazione nell'equazione precedentemente scritta, otteniamo:

$$g \times H - g \times \frac{v_f}{v_a} \times H + \frac{u_2^2}{2} + R = 0$$

Supponiamo che nel caso di moto dei fumi in un camino il valore di R sia proporzionale al quadrato della velocità, u_2^2 , e dipenda da un coefficiente adimensionale r che è figlio della natura delle perdite di carico, continue o distribuite, possiamo scrivere la seguente relazione:

$$R = \frac{u_2^2}{2} \times r$$

inserendo quanto ricavato possiamo scrivere:

$$H \times \left(\frac{v_f}{v_a} - 1 \right) = \frac{u_2^2}{2 \times g} \times (1 + r)$$

sostituendo ad essa la sua espressione della velocità ricavabile dall'equazione di continuità: $u = V / S$, dove V rappresenta la portata volumetrica dei fumi ed S la sezione del camino, otteniamo:

$$H \times \left(\frac{v_f}{v_a} - 1 \right) = \frac{V^2}{2 \times g \times S^2} \times (1 + r)$$

Osservando infine che per l'equazione dei gas perfetti il rapporto tra i volumi specifici è uguale al rapporto di temperature possiamo sostituire v_f / v_a con T_f / T_a e ricavare la sezione del camino:

$$S = \sqrt{\frac{T_a}{T_f - T_a} \times \frac{1 + r}{2 \times g} \times \frac{V}{\sqrt{H}}}$$

il termine sotto radice non si ricava con relazioni le relazioni viste in precedenza, ma viene determinato sperimentalmente. Per questo possiamo concludere:

$$S = K \times \frac{V}{\sqrt{H}}$$

il parametro K dipende dai vari casi: dipende principalmente della configurazione del camino, dalla canna fumaria e da come è stata progettata, e dai fumi della combustione. Il termine V potrà essere calcolato una volta conosciuto il peso di combustibile bruciato nell'unità di tempo, l'eccesso d'aria con il quale avviene la combustione e la temperatura media dei fumi.

2) Funzionamento pratico del camino

Adattiamo il modello fisico descritto precedentemente al camino. La colonna A è il nostro camino, la stufa rappresenta la fonte di calore munita di una saracinesca, che ne è la presa d'aria, mentre la colonna B è costituita semplicemente dall'aria esterna (come mostrato in figura 2.10).

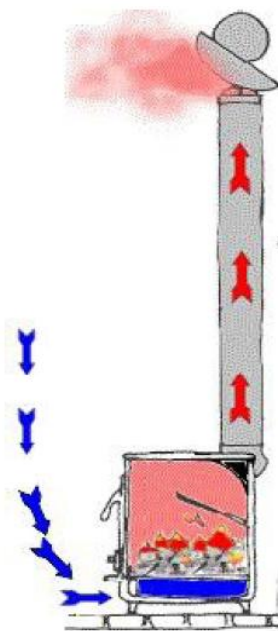


Fig. 2.10 – Schema di funzionamento del sistema camino-canna fumaria.

Considerando che il principio dei vasi comunicanti vale qualunque sia la sezione dei vasi, possiamo prendere in considerazione:

- il primo “vaso” avente per base l'intera superficie terrestre;
- il secondo “vaso” avente un'altezza pari a quella del nostro camino.

Gli strati di aria atmosferica posti oltre lo sbocco del camino possono essere ignorati, poiché esercitano un'identica pressione su entrambi i vasi. Quando accendiamo la stufa o il camino, i fumi caldi prodotti dalla combustione si espandono in virtù della loro alta temperatura, il volume di gas contenuto nel camino diminuisce di densità e l'aria esterna più pesante tende a prenderne il posto, passando attraverso la stufa. In questo modo viene anche fornito ossigeno alla combustione, che può proseguire finché non esaurisce il combustibile. In tale schematizzazione bisogna tenere presente che le differenze di pressione in gioco sono minime. Un camino ha un buon “tiraggio” quando la differenza tra la pressione atmosferica esterna e la minore pressione interna (in alcuni punti del camino si va in depressione) è compresa tra i 10 e i 20 Pa. Questa differenza è molto piccola (circa 1 – 2 decimillesimi della normale pressione atmosferica) e pertanto l'equilibrio del funzionamento del camino è influenzato da parecchi fattori e spesso risulta labile.

Un problema fondamentale del funzionamento del camino è legato alle condizioni meteorologiche perché ogni cambiamento climatico accompagna sempre un cambiamento di pressione. Nelle belle giornate l'alta pressione atmosferica provoca una maggiore spinta dell'aria più fredda alla base del camino, favorendo il funzionamento dello stesso. Viceversa nelle giornate piovose, la bassa pressione atmosferica riduce la spinta dell'aria fredda rendendo il compito del camino più arduo.

L'aria calda contenuta nel camino si muove molto lentamente, ad una velocità di pochi metri al secondo (1,5 – 2 m/s), sospinta dall'aria esterna, la cui pressione deve vincere l'inerzia della colonna fluida. La velocità dei fumi dipende anche dalle condizioni interne della canna fumaria. Pareti rugose costituiscono gravi ostacoli al movimento dei fumi perché provocano attriti, strozzature che generano turbolenze e improvvisi cambiamenti di direzione.

Un altro fattore di interesse è la temperatura dell'aria che causa la variazione di densità e quindi il funzionamento del camino. Nelle giornate fredde, aumentando la differenza di temperatura tra i fumi interni al camino e l'aria esterna, il tiraggio viene favorito; mentre nelle giornate calde il tiraggio viene ostacolato dalla ridotta differenza di temperatura.

Uno degli accorgimenti utilizzati per migliorare il tiraggio consiste nell'aumentare l'altezza della canna fumaria stando tuttavia attenti a limitare al minimo i tratti:

- con molte curve;
- orizzontali;
- inclinati.

I tratti orizzontali o inclinati vanno limitati in quanto determinano un aumento della quantità di aria contenuta nella canna fumaria e potrebbe avere un peso complessivo eccedente la capacità di spinta della corrispondente colonna d'aria esterna. Per questo motivo ad un aumento della lunghezza della canna fumaria deve necessariamente corrispondere un prolungamento del tratto verticale.

Infine, un impianto posto al livello del mare, a parità di tutti i fattori, avrà bisogno di una canna fumaria più corta rispetto ad un impianto posto in alta montagna, perché con l'altitudine la pressione atmosferica diminuisce.

Nella seguente tabella sono riportati i prodotti della combustione di un camino a legna dove vengono precisati i valori di densità e la densità relativa rispetto all'aria (è utile riportarsi alla densità relativa rispetto all'aria durante la fase di progettazione e di dimensionamento del camino).

<i>Gas</i>	<i>Formula chimica</i>	<i>Densità kg/m³</i>	<i>Densità relativa</i>
Aria	-	1,293	1,000
Idrogeno	H ₂	0,090	0,070
Ossido di carbonio	CO	1,250	0,967
Anidride carbonica	CO ₂	1,977	1,529
Ossigeno	O ₂	1,429	1,105
Anidride solforosa	SO ₂	2,926	2,264
Azoto	N ₂	1,251	0,967

Tabella 2.1 – Prodotti di combustione della legna con relativa densità.

2.4 – Progettazione del camino

2.4.1 – Calcolo del tiraggio naturale

Il tiraggio naturale del camino rappresenta la pressione statica del camino stesso e il suo dimensionamento è un passo fondamentale della progettazione dell'impianto e del suo buon funzionamento. Il tiraggio naturale è funzione di:

- altezza della canna fumaria;
- sezione della canna fumaria;
- differenza di temperatura tra i fumi all'interno della canna fumaria e l'aria ambiente, ovvero, della differenza di densità tra i fumi della combustione all'interno del camino e l'aria esterna.

La densità dei fumi è normalmente espressa come massa per unità di volume e, all'aumentare della temperatura, diminuisce la densità in modo che l'aria esterna tenderà ad espellere i fumi più facilmente. L'espressione matematica è il calcolo della densità dei fumi è:

$$d_{fumi} = d_0 \times \frac{273}{273 + T}$$

dove d_0 è la densità dei fumi a 0°C e T è la temperatura media dei fumi di combustione.

Una volta nota la densità dei fumi ad una certa temperatura è possibile calcolare la pressione statica del camino, ovvero il tiraggio naturale, la si può calcolare con la seguente formula:

$$P_h = H \times g \times (d_a - d_f)$$

dove possiamo riconoscere:

- P_h è la pressione statica, ovvero il tiraggio naturale del camino;
- H è l'altezza della canna fumaria espressa in metri;
- d_a è la densità dell'aria (circa 1,2 kg/m³ a temperatura e pressione ambiente);
- d_f è la densità dei fumi alla data temperatura.

Analizzando tutti i termini dell'equazione si può notare come la densità dell'aria sia influenzata, sia dalla temperatura dell'aria stessa, quanto dall'altitudine della posizione del camino. Quest'ultima variabile è da tenere in seria considerazione quando si affronta la progettazione della canna fumaria perché un camino progettato per funzionare bene al livello del mare, difficilmente potrà avere la stesse prestazioni in alta montagna. Infine c'è da considerare anche che la densità dell'aria varia coi cambiamenti delle condizioni atmosferiche: le variazioni meteorologiche possono portare a variazioni della pressione atmosferica anche di 50 – 60 Pa. Tali condizioni devono essere valutate attentamente per non rischiare di compromettere il tiraggio naturale del camino. A questa depressione teorica vanno sottratte le inevitabili perdite di carico dell'impianto, ovvero la somma delle resistenze che il generatore di calore e la canna fumaria oppongono al libero scorrimento dei fumi.

2.4.2 – Calcolo delle perdite di carico

Un fluido che scorre all'interno di un tubo incontra una serie di resistenze che tendono a rallentare la corsa, assorbendo lungo il percorso, fino al comignolo, l'energia impressa ai

fumi dal tiraggio naturale alla base del camino.

Il calcolo delle perdite di carico di un fluido che percorre l'interno di un condotto è un problema di difficile soluzione e, spesso, ci si limita a fornire delle soluzioni numeriche o delle approssimazioni della soluzione esatta. Le perdite di carico dei fumi si possono suddividere in:

- 1) perdite per dispersione termica;
- 2) perdite per attrito;
- 3) perdite localizzate.

Di seguito verranno illustrate delle indicazioni di carattere generale utili ad individuare e risolvere i problemi del funzionamento del camino in relazione alle tre precedentemente citate categorie di perdite di carico:

1) Perdite di carico per dispersione termica.

Le canne fumarie, benché coibentate, disperdono comunque calore attraverso le loro pareti. La dispersione termica raffredda i fumi rendendoli più densi e quindi più difficoltosa risulta la loro espulsione. La trasmissione del calore nelle canne fumarie è funzione:

- della resistenza termica del materiale che costituisce le pareti del condotto; maggiore è l'isolamento termico delle pareti della canna fumaria, minore sarà la dispersione termica;

Materiale	Conducibilità termica [W/m*K]
Acciaio	15
Refrattario	1
Muratura con calcestruzzo	0,4 ÷ 0,6
Muratura di mattoni pieni	0,35 ÷ 0,52
Fibra minerale	0,04

Tabella 2.2 – Conducibilità termica dei materiali costituenti le canne fumarie.

- della geometria del camino; in particolare del diametro e della lunghezza del camino. Tanto maggiore sarà il diametro e la lunghezza del camino, tanto maggiore sarà la superficie di scambio termico;
- dalla differenza di temperatura tra la parete interna e quella esterna; tanto più fredda sarà la temperatura esterna, tanto maggiore sarà lo scambio termico tra interno ed esterno della canna fumaria. Per questo motivo le canne fumarie andrebbero, per quanto possibile, posizionate all'interno delle abitazioni dove la temperatura esterna della canna fumaria è,

presumibilmente, maggiore di quella dell'esterno del locale;

- dalla velocità dei fumi; tanto maggiore sarà la velocità dei fumi, tanto meno tempo impiegheranno gli stessi a risalire l'intera canna fumaria con la conseguente diminuzione del calore disperso.

Il calcolo delle perdite di carico per dispersione termica è piuttosto complesso, ma si può affermare che, se il camino è ben coibentato, queste costituiscono una frazione trascurabile del totale delle perdite di carico del camino. Queste perdite possono essere valutate con una buona precisione conoscendo:

- l'altezza della canna fumaria;
- la sezione della canna fumaria;
- i materiali di cui è composta la canna fumaria;
- la massa dei fumi.

2) Perdite di carico per attrito

Un fluido che scorre entro un tubo è rallentato dall'attrito prodotto dal contatto con le pareti del tubo. L'attrito è direttamente proporzionale alla rugosità delle pareti ed alla velocità dei fumi, oltre a dipendere dalla forma del tubo e dalla sua lunghezza, in particolare:

- maggiore è la rugosità delle pareti interne del condotto, maggiore sarà l'attrito e conseguentemente la resistenza che si contrappone al flusso dei fumi;
- maggiore sarà la velocità dei fumi, maggiore sarà l'attrito;
- più è irregolare e poco uniforme è la sezione del condotto e maggiore sarà la perdita di carico. L'irregolarità della sezione contribuisce più facilmente alla formazione del moto turbolento che fa crescere notevolmente le forze d'attrito opposte al moto e di conseguenza le perdite di carico;
- maggiore è la lunghezza del condotto e maggiore sarà la perdita di carico per attrito.

Ogni materiale ha la sua rugosità che dipende dal processo tecnologico impiegato per la realizzazione della canna fumaria. Nella seguente tabella vengono riportati i valori di rugosità di alcuni materiali utilizzati nella costruzione di canna fumarie.

Materiale	Rugosità [μm]
Acciaio	0,5
Cemento	1
Refrattario	1
Muratura di mattoni	3

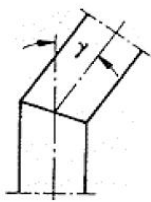
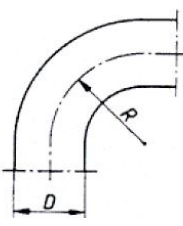
Tabella 2.3 – Valori di rugosità dei materiali costituenti le canne fumarie.

Anche in questo caso, come si può vedere dalla tabella, l'acciaio rappresenta il materiale più conveniente per la realizzazione delle canne fumarie. Chiaramente i valori riportati in tabella sono solo indicativi e, spesso, ottimistici: per i materiali non metallici dipende molto dalla posa dei mattoni, dalla malta utilizzata e dalla qualità delle materie di partenza. Analogamente esistono moltissimi tipologie di acciaio e altrettanti processi per la realizzazione della lamiera, il coefficiente di rugosità descritto si riferisce per lo più ad un ordine di grandezza che ad un numero esatto.

3) Perdite di carico localizzate.

Le perdite di carico localizzate (o concentrate) sono cadute di pressione dovute ad ostacoli come curve, gomiti, valvole, diramazioni, restringimenti o allargamenti della sezione. I cambiamenti di sezione facilitano la formazione del moto turbolento e la conseguente crescita delle forze d'attrito che si oppongono al moto.

Per calcolare le perdite di carico concentrate si fa riferimento a delle tabelle il coefficiente r viene ricavato da numerose prove sperimentali ed è funzione della geometria dell'ostacolo. Di seguito viene mostrata una tabella in cui sono riportati alcuni esempi di ostacoli e i relativi coefficienti riduttivi.

Ostacolo	Dati geometrici	Coefficiente r
	Angolo in gradi	
	10	0,1
	30	0,2
	45	0,4
	60	0,7
	90	1,2
	Curva a 90° - R/D	
	0,5	0,8
	0,75	0,4
	1,0	0,3
	1,5	0,2
	2,0	0,2
	a/D	Numero dei segmenti

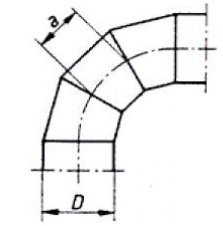
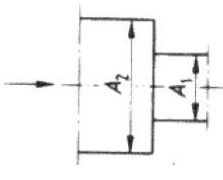
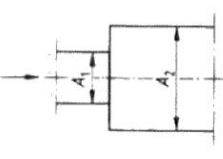
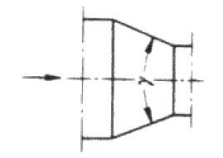
		2	3	4
	1,0	0,6	0,4	0,4
	1,5	0,5	0,4	0,4
	2,0	0,5	0,4	0,4
	3,0	0,6	0,4	0,4
	5,0	0,7	0,5	0,4
	A_1/A_2			
	0,4		0,33	
	0,6		0,25	
	0,8		0,15	
	A_1/A_2			
	0		1,0	
	0,2		0,7	
	0,4		0,4	
	0,6		0,2	
	0,8		0,1	
	1,0		0	
	Angolo in gradi			
	30		0,02	
	45		0,04	
	60		0,07	

Tabella 2.4 – Valori del parametro r al variare della geometria del condotto.

Il tiraggio della canna fumaria può essere migliorato aumentandone l'altezza e/o il diametro (sezione). Entrambe le soluzioni possono essere utili per motivi diversi. Aumentando la sezione del camino, a parità di portata, la velocità dei fumi diminuisce per il principio di conservazione della massa. La portata dei fumi alla bocca del camino deve necessariamente essere uguale a quella che attraversa il comignolo. In questo modo, diminuendo la velocità dei fumi, si riduce l'attrito e quindi le perdite di carico che sono direttamente proporzionali al quadrato della velocità dei fumi.

Il rapporto tra altezza e sezione della canna fumaria viene caratterizzato dalle seguenti considerazioni:

- Aumentando l'altezza della canna fumaria, si aumenta la depressione statica, cioè il tiraggio, accrescendo la spinta del fluido;
- Aumentando il diametro della sezione, si diminuiscono le perdite di carico, cioè gli ostacoli posti al tiraggio stesso. Il risultato è sempre quello di accrescere la spinta.

In conclusione possiamo affermare:

- una canna fumaria molto alta genera una notevole depressione, che può essere sufficiente a vincere la resistenza prodotta dall'attrito dei fumi in una sezione relativamente

stretta;

- una canna fumaria sufficientemente larga può avere una perdita di carico relativamente bassa, tale da essere compensata anche dal tiraggio prodotto da una canna fumaria non particolarmente alta.

In generale all'aumentare dell'altezza di una canna fumaria dovrà diminuire la sua sezione, mentre al diminuire dell'altezza deve allargarsi la sua sezione.

Un criterio di dimensionamento per l'impianto è basato sul rapporto altezza/sezione e la scelta di una coppia di parametri può dipendere, oltre che dai vincoli costruttivi, anche da motivazioni architettonici, estetici o economici. Tuttavia esistono dei limiti naturali: oltre una certa altezza il restringimento della sezione non è più possibile, perché l'attrito e la dispersione termica sarebbero eccessivi, così come non avrebbe senso costruire la canna fumaria bassissima e più larga della superficie del bruciatore.

2.4.3 – Tiraggio disponibile e massa dei fumi

Il tiraggio disponibile è da considerarsi il motore degli impianti a stufa o caminetto perché rappresenta il lavoro utile netto. Il tiraggio disponibile si ricava dalla pressione statica del camino, o tiraggio naturale, decurtando la somma di tutte le perdite di carico, che rappresentano le resistenze che il fluido deve vincere per poter uscire dal comignolo. Chiaramente affinché il camino funzioni correttamente è necessario che questa differenza sia e rimanga positiva durante tutto il funzionamento dell'impianto. I fattori che agiscono, positivamente o negativamente, sul funzionamento del camino sono:

- l'altezza della canna fumaria;
- la temperatura dei fumi;
- le resistenze per attrito.

Se il tiraggio risulta insufficiente si può quindi agire su uno o più fattori: l'aumento dell'altezza può risultare difficoltoso e antiestetico da realizzarsi, oltre che enormemente costoso; anche l'aumento della temperatura dei fumi rappresenta un onere economico, in quanto implica un aumento della temperatura di combustione e quindi un maggior consumo dello stesso. Il risultato è un peggioramento dell'efficienza dell'impianto. L'unico fattore su cui si può agire per regolare l'impianto e migliorarne l'efficienza è la diminuzione delle perdite di carico. Per ottenere ciò è necessario avere una canna fumaria perfettamente coibentata, con la parete interna liscia, possibilmente circolare per non avere spigoli, di sezione adeguata ed il

più possibile verticale, senza curve, tratti orizzontali, strozzature o allargamenti.

Un altro parametro che classifica i caminetti è la massa dei fumi. Esistono infatti due tipologie di sistemi:

- a caminetto aperto a grande massa di fumi e basso tiraggio;
- a stufa di piccola massa di fumi e forte tiraggio.

1) Caminetto aperto a grande massa di fumi e basso tiraggio

Questa tipologia di camini richiede un canna fumaria di grande sezione e di conseguenza la portata dei fumi è elevata. La caratteristica di questi caminetti è la temperatura media non molto elevata causata dalla vasta quantità di aria ambiente messa in gioco durante la combustione.

Il sistema però non ha grandi perdite di carico e non necessita di un tiraggio molto forte, inoltre l'ampiezza della canna fumaria porta a ridurre la resistenza della canna stessa, consentendo di smaltire una grande massa di fumi. Quest'ultimi salgono velocemente nel condotto grazie al fatto che sono in quantità elevata e non perché c'è un forte tiraggio.

2) Stufe con piccola massa di fumi e forte tiraggio

La combustione all'interno della stufa è più lenta rispetto ai camini aperti perché l'afflusso di aria dell'ambiente esterno è minore. La principale causa è che i fumi prodotti dalla combustione risultano più densi in quanto sono meno diluiti. Un'altra caratteristica delle stufe è che presentano una canna fumaria ridotta, non avendo una grande portata di fumi da smaltire.

Le perdite di carico sono maggiori rispetto a quelle presenti in un camino aperto perché si ha la necessità di avere un percorso capace di aumentare la superficie di scambio termico e quindi di creare un percorso più lungo. In queste tipologie di canne fumarie la sezione è più piccola, la velocità dei fumi è maggiore e quindi viene accelerata la combustione mantenendo la temperatura della stessa mediamente più elevata.

2.4.4 – Difetti del tiraggio

I fattori che maggiormente possono influenzare e determinare il cattivo funzionamento dei camini sono principalmente:

- il vento;
- l'esposizione a punti cardinali e condizioni locali;
- i fattori architettonici interni;
- l'efficienza della stufa;
- i difetti d'installazione;
- tipo di combustibile impiegato.

Analizziamo uno per uno tutti i fattori che influenzano l'efficienza del tiraggio:

1) Il vento

Tra tutti i fattori meteorologici e geografici che influenzano il funzionamento di un camino – pioggia, neve, nebbia, altitudine s.l.m., periodo di insolazione - il vento è certamente il più determinante. Il vento crea un tipo di depressione (o sovrappressione) che va ad aggiungersi alla depressione termica indotta dalla differenza di temperatura tra l'interno e l'esterno del camino. Questa depressione prende il nome di *depressione dinamica*. Il vento, agendo sulla canna fumaria, può aumentare o diminuire la depressione nella canna stessa fino al suo azzeramento.

L'azione del vento varia a seconda della natura del fenomeno: un vento *ascendente* ha sempre l'effetto di aumentare la depressione e di conseguenza il tiraggio; un vento *orizzontale*, invece, causa un effetto positivo aumentando la depressione solo nel caso di una corretta installazione del comignolo. Il caso più gravoso è quello di un vento *discendente* che genera sempre una diminuzione della depressione fino ad invertire il segno dell'equazione e a compromettere totalmente il funzionamento del camino.

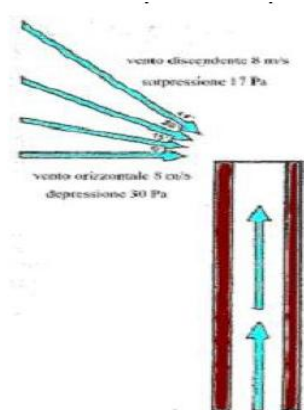


Fig. 2.11 – Esempi di angolazione del vento.

Oltre alla direzione ed alla forza del vento, anche la posizione della canna fumaria e del comignolo rispetto al tetto della casa ed al paesaggio circostante è importante. Con l'ausilio delle figure sottostanti si può meglio intuire come l'orientamento geografico dell'abitazione e la composizione del paesaggio circostante possano influenzare le zone di depressione o sovrappressione.

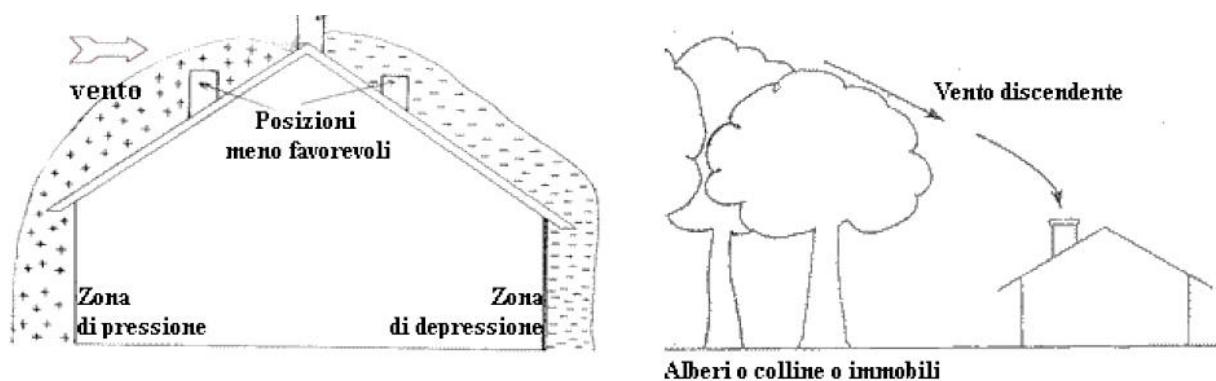


Fig. 2.12 – Zone di depressione o sovrappressione in funzione dell'orientamento geografico.

Il vento influenza il funzionamento del camino sia direttamente attraverso la depressione dinamica, che indirettamente creando delle zone di sovrappressione e di depressione anche all'interno delle abitazioni.

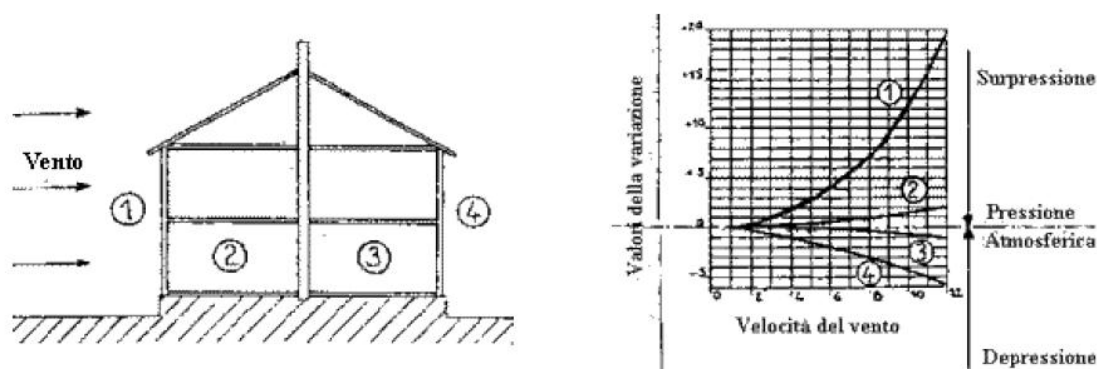


Fig. 2.13 – Zone di depressione o sovrappressione all'interno dell'abitazione.

Negli ambienti direttamente esposti al vento (2) può crearsi un sovrappressione interna che può favorire il tiraggio di stufe e caminetti. Al contrario, negli ambienti opposti alla direzione del vento (3) può crearsi una depressione dinamica che entra in concorrenza con la depressione termica sviluppata dal camino.

2) Esposizione ai punti cardinali

Un camino esterno esposto a Nord ad una dispersione termica maggiore di un camino esposto a Sud. I camini esposti a Nord, a causa della scarsa insolazione unita all'effetto del vento, hanno una canna fumaria più fredda e l'aria contenuta al suo interno può diventare più densa e

pesante dell'aria dell'ambiente domestico. Questo potrebbe portare all'inversione del tiraggio naturale. Per ovviare a questo fenomeno bisogna assicurarsi che le pareti interne della canna fumaria si riscaldino sufficientemente vincendo la propria inerzia termica.

I camini in muratura situati esternamente in una zona molto umida, esposti non a Sud, possono essere soggetti ad infiltrazioni di umidità. L'umidità è uno dei peggiori nemici del buon funzionamento di un camino: infatti l'acqua ha un calore specifico molto alto con notevole assorbimento di calore, occorre quindi un'enorme quantità di calore per far evaporare l'umidità del camino prima che quest'ultimo cominci a scaldarsi e, conseguentemente, inizi ad avere un buon tiraggio.

3) Fattori architettonici interni

La disposizione degli ambienti della casa, il tipo di finiture adottate, la presenza di altri impianti termotecnici possono influire sul corretto tiraggio di un camino. Nel caso di camini esterni alla casa, l'altezza della canna fumaria influisce negativamente (ciò va in contrasto con quanto visto precedentemente dove, almeno in linea teorica, la maggiore altezza influisce in maniera positiva) in quanto aumentando l'altezza della canna fumaria, si aumenta la superficie esposta alle intemperie causando una maggiore dispersione termica. Poiché il tiraggio di un camino è determinato, oltre che dalla sua altezza, anche dall'alta temperatura dei fumi; un'eccessiva dispersione termica può risultare controproducente.

Un altro elemento architettonico che può compromettere il buon funzionamento del camino è la presenza di rampe di scale nei pressi della stufa. Le rampe di scale costituiscono un camino naturale che convoglia l'aria calda dai piani bassi verso i piani superiori. Questo fenomeno è accentuato se sono presenti tetti e abbaini che presentano una cattiva tenuta o l'abitudine di tenere qualche finestra aperta nei piani superiori. La corrente ascensionale che viene a crearsi tende a mettere in depressione gli ambienti ai piani inferiori che si contrappone alla depressione generata dalla canna fumaria rallentandone il funzionamento.

Anche la presenza di aspiratori elettromeccanici o di cappe ventilate crea forti depressioni che impediscono il corretto funzionamento dei camini. La presenza di due o più camini all'interno dello stesso ambiente è sconsigliabile in quanto l'impianto più potente tende a sottrarre aria comburente agli altri impianti minori, creando dei ritorni di fumo.

4) Efficienza della stufa

L'efficienza della stufa contribuisce a far lavorare più o meno bene la canna fumaria: paradossalmente stufe molto efficienti possono rendere più difficoltoso il lavoro della canna fumaria. Il buon funzionamento del sistema stufa-canna fumaria dipende dall'aumento della temperatura all'interno della canna provocato dai fumi della combustione. Se l'efficienza di una stufa è determinata dalla sua capacità di trasferire la maggior parte del calore prodotto all'ambiente da riscaldare, ne consegue che, tanto maggiore è l'efficienza della stufa, tanto più freddi sono i fumi residui della combustione e, di conseguenza, tanto minore è il tiraggio. Una canna fumaria funziona assai meglio a servizio di un caminetto tradizionale aperto o di una stufa di cattiva qualità, dove la maggior parte del calore viene perduta con i fumi.

5) Difetti di installazione

In parecchi impianti di riscaldamento la stufa non è collegata direttamente alla canna fumaria, ma attraverso un condotto chiamato *canale da fumo* che funge da raccordo tra i due elementi essenziali del camino. Questo elemento dovrebbe essere il più corto possibile per evitare un eccessivo raffreddamento dei fumi, ma molte volte, a causa di problemi architettonici, risulta più lungo del necessario e con tratti inclinati od orizzontali che ne riducono l'efficienza.

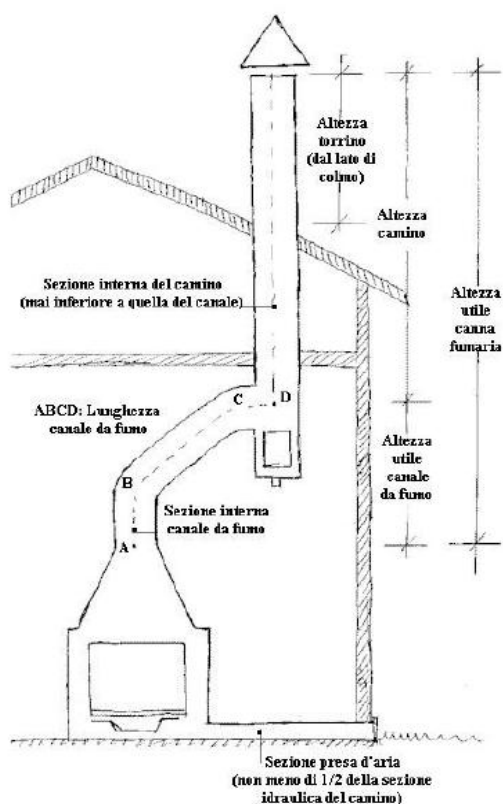


Fig. 2.14 – Esempio di proporzionamento degli elementi del sistema camino.

Come detto in precedenza la dispersione di calore attraverso il canale da fumo abbassa la temperatura dei fumi stessi provocando una perdita di tiraggio e una forte formazione di condensa. Entrambi i difetti portano ad una perdita di efficienza dell'impianto e, a lungo andare, ad un precoce logoramento dei suoi componenti.

Un altro dei più comuni problemi di installazione è la differenza di sezione tra l'uscita dei fumi della stufa e quella d'ingresso nel camino. Se abbiamo a che fare con un caminetto tradizionale aperto, corto, largo e scarsamente coibentato, i fumi in uscita dalla stufa si espandono e diminuiscono di temperatura, riducendo il tiraggio e provocando eccessi di condensa sulle pareti della canna.

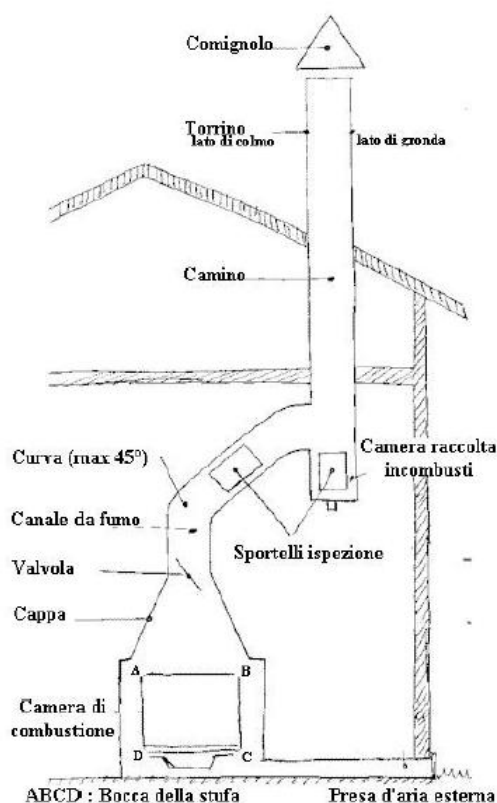


Fig. 2.15 – Nomenclatura degli elementi del sistema camino.

Tra gli errori più comuni in fase di installazione troviamo anche il collegamento di una nuova stufa ad un camino già esistente, lasciando che questo resti al servizio anche del vecchio impianto. Così facendo vi sono due impianti di combustione collegati alla stessa canna fumaria, soluzione sbagliata dal punto di vista dell'efficienza e pericolosa per la sicurezza. Se i due impianti di combustione vengono usati contemporaneamente, il carico complessivo dei fumi può risultare eccessivo per la sezione della canna provocando ritorni di fumo negli ambienti interni dell'abitazione; se, invece, viene utilizzata una sola stufa, il calore dei fumi provoca il tiraggio del camino, ma esso aspirerà aria fredda anche dall'apertura dell'impianto spento, raffreddando nuovamente i fumi e bloccando il tiraggio. Se, infine, i due impianti

fossero posti a livelli diversi, oltre ai problemi già citati, si può interferire con lo stesso principio dei vasi comunicanti, provocando un andamento dei fumi di combustione irregolare ed imprevedibile.

6) Tipo di combustibile impiegato

All'interno della stufa viene inserito il combustibile tipicamente rappresentato della legna. Ci possono tuttavia essere tipi di legna diversi e condizioni del combustibile diverse tali per cui la reazione di combustione abbia una differente efficienza. La legna verde contiene un'alta percentuale di umidità, che influisce sul rendimento della combustione. C'è bisogno di somministrare una maggiore quantità di calore per trasformare l'umidità in vapore acqueo. I fumi, carichi di vapore acqueo, potrebbero avere una temperatura troppo bassa per assicurare un buon tiraggio alla canna.

7) Conseguenze dei difetti del tiraggio

Lo scarso tiraggio rallenta la combustione, raffredda la stufa, produce ritorni di fumi e aumenta la produzione di monossido di carbonio. Inoltre, diminuisce l'efficienza della stufa e di tutto l'impianto, provocando pericolose incrostazioni di residui incombusti all'interno della canna fumaria.

Anche l'eccessivo tiraggio provoca danni all'impianto: questo si verifica quando al tiraggio termico naturale si somma il tiraggio dinamico. L'eccesso di tiraggio tende a “strappare” la fiamma nella camera di combustione, provocando un surriscaldamento della combustione che porta ad una perdita di efficienza dell'impianto. Una parte dei gas di combustione, unita a particelle di combustibile, viene aspirata all'interno della canna fumaria prima che avvenga la reazione: questo provoca una consistente diminuzione dell'efficienza della stufa o del caminetto e un consumo accelerato di legna combustibile. Inoltre l'aspirazione in canna fumaria di particelle incombuste provoca l'emissione di fumi inquinanti. Infine, l'alta temperatura di combustione, determinata dall'elevata quantità di ossigeno, porta ad una precoce e repentina usura della camera di fuoco.

2.4.5 – Soluzioni pratiche e costruttive

2.4.5.1 – Eccesso di tiraggio

L'eccesso di tiraggio può essere contrastato con l'applicazione alla canna fumaria di un

moderatore di tiraggio. Esso consiste in un foro nella canna fumaria, posto a valle dell'innesto del canale da fumo, munito di una valvola a farfalla decentrata tenuta normalmente chiusa da un contrappeso regolabile.

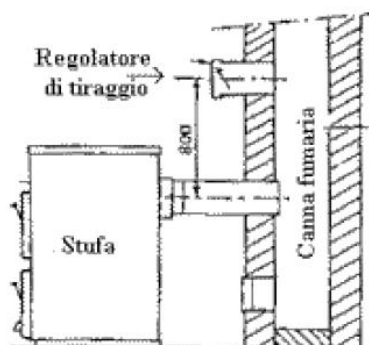


Fig. 2.16 – Esempio di moderatore di tiraggio.

Il moderatore di tiraggio ha il vantaggio di rendere ragionevolmente costante il valore della depressione in canna fumaria, evitando che folate irregolari di vento rendano ingovernabile l'andamento della combustione. Il moderatore di tiraggio ha un funzionamento elementare: quando la depressione interna alla canna fumaria aumenta troppo, la valvola si apre, consentendo l'aspirazione di aria fredda esterna che raffredda i fumi e diminuisce la depressione termica dell'impianto. Viceversa, non appena il valore della depressione ritorna nella norma il contrappeso richiude la valvola, ripristinando la tenuta della canna fumaria. Questa soluzione è altamente economica e presenta una risposta praticamente immediata, rendendola efficace anche contro colpi di vento rapidi ed improvvisi.

2.4.5.2 – Scarso tiraggio

Tutti i camini tradizionali richiedono l'impiego di un *comignolo* che ha il compito di proteggere le pareti interne del camino dall'azione delle intemperie. Il comignolo costituisce un a sorta di tappo che può rallentare la fuoriuscita dei fumi e che, pertanto, richiede l'impiego di particolari soluzioni costruttive che lo rendano il meno possibile di ostacolo ai fumi.

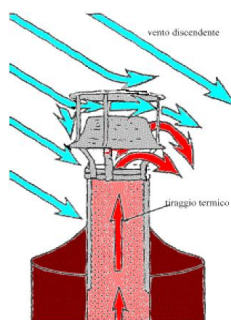


Fig. 2.17 – Esempio di comignolo.

Il comignolo, inoltre, deve essere costruito in modo da ridurre l'effetto negativo dei venti sfavorevoli e sfruttare l'effetto positivo dei venti favorevoli. In sostanza, il comignolo, non è altro che un antivento basato sull'effetto Venturi, capace di aumentare leggermente la depressione in canna fumaria anche in presenza di venti discendenti. Di seguito vengono mostrate delle soluzioni costruttive dei comignoli, alcune efficaci ed altre sconsigliabili:

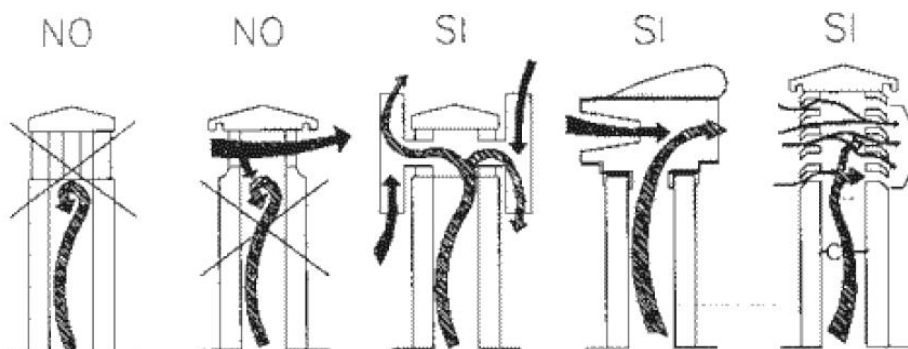


Fig. 2.18 – Soluzioni costruttive dei comignoli.

Un altro accorgimento da tenere in considerazione per combattere lo scarso tiraggio consiste nello sfruttare le *zone di reflusso*: l'effetto del vento sui tetti è quello di creare delle zone di sovrappressione o di depressione che vanno ad influenzare il corretto funzionamento del comignolo. Lo spessore di queste zone varia in funzione della conformazione e dell'inclinazione del tetto; l'accorgimento da tenere in considerazione è quello che il comignolo debba sempre sporgere oltre la zona di reflusso propria del tipo di tetto su cui è posto. Di seguito vengono riportati gli schemi che illustrano le altezze e le distanze richieste per un corretto posizionamento del comignolo:

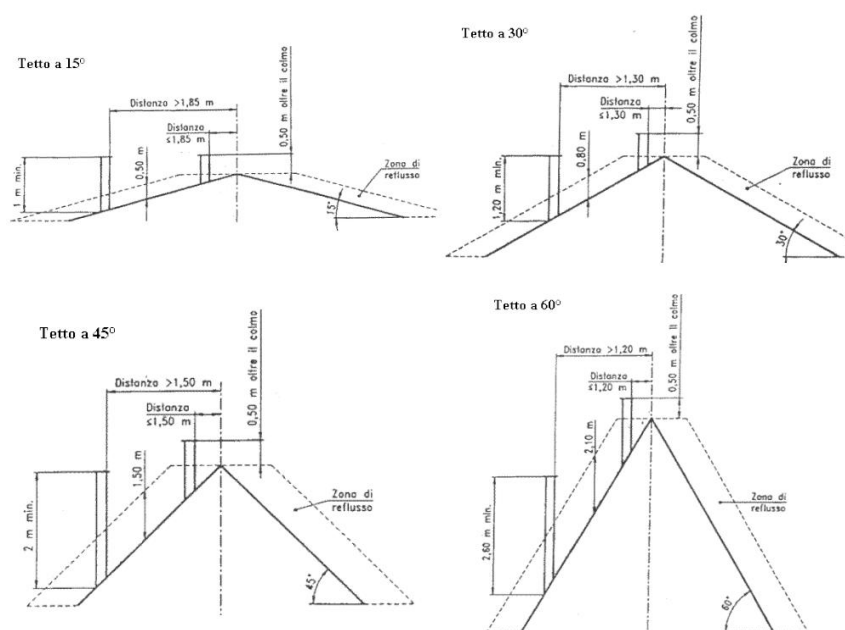


Fig. 2.19 – Esempi di zone di reflusso in funzione dell'inclinazione dei tetti.

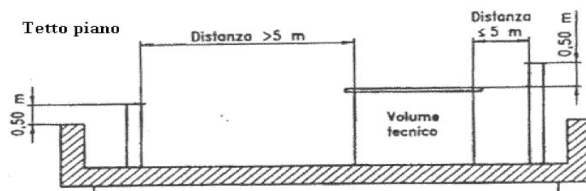


Fig. 2.20 – Zona di reflusso per un tetto piano.

2.4.5.3 – Correggere i difetti di esposizione e di costruzione

Il difetto costruttivo maggiore consiste nel posizionare le canne fumarie esterne in muratura esponendole a Nord. La soluzione migliore sarebbe demolire l'impianto e ricostruirlo esponendola a Sud; tuttavia esistono degli accorgimenti meno invasivi che permettono di migliorare il rendimento del camino. La soluzione più efficace e comunemente utilizzata consiste nell'applicare esternamente un intonaco di qualità, isolante ma traspirante, che protegga le pareti esterne dalle infiltrazioni di acqua piovana.

Il miglior intervento risolutivo consiste invece nel rivestire la parete interna del camino con un tubo di acciaio inossidabile, che permette di avere i seguenti vantaggi:

- la sezione interna liscia e arrotondata consentirà uno scorrimento dei fumi rapido e privo di turbolenze;
- tra la sezione rotonda del tubo in acciaio e la più grande sezione quadrangolare del camino resterà un'intercapedine di aria che funge da isolante termico, migliorando il rendimento del camino stesso;
- il rapido riscaldamento dell'acciaio assicurerà un immediato avvio del tiraggio.

2.4.5.4 – Compensare i problemi architettonici

L'unico modo per evitare che il tiraggio del camino sia afflitto dalla variazioni di pressione interne alla casa (dovute principalmente alla presenza di aspiratori elettromeccanici, rampe di scale, tetti mal isolati, serramenti non a tenuta, ecc.) consiste nel rendere indipendente l'approvvigionamento d'aria, installando un condotto o una feritoia che lo colleghi direttamente con l'esterno. Bisogna tenere presente che la presa d'aria esterna andrebbe collocata sempre dal lato della casa maggiormente esposto al vento, in modo da sfruttare la sovrappressione che esso genera.

2.4.5.5 – Evitare il cattivo combustibile

Per migliorare il rendimento del camino è consigliabile utilizzare solo buona legna secca limitando l'uso di carbone o simili combustibili.

In conclusione, per avere un buon rendimento del camino, oltre ad una corretta manutenzione di tutti gli organi dell'impianto è necessario: progettare e posizionare correttamente il comignolo, prevedere un rivestimento interno della canna fumaria di acciaio inossidabile, installare una presa d'aria tale da favorire il giusto tiraggio e scegliere un buon combustibile da bruciare.

2.5 – Collazione del camino e della canna fumaria

Collocare un camino all'interno di una stanza è di fondamentale importanza perché consente di dimensionarne tutte le componenti. La dimensione della stanza, pertanto, delimita la dimensione del camino sia in termini estetici che tecnici. Un grande focolare in una piccola stanza può risultare dannoso per gli occupanti, mentre un piccolo focolare in un grande ambiente rischia di non scaldarlo a sufficienza.

La tabella seguente fornisce alcune indicazioni circa le proporzioni consigliate tra la grandezza della stanza e quella della bocca del camino; si tratta di indicazioni di massima e indicative che spesso, come nel caso di camini prefabbricati, non trovano una univoca corrispondenza.

Dimensione stanza (m²)	Larghezza della bocca (cm)	
	Pareti corte	Pareti lunghe
< 16	60	60/80
17/20	70/90	80/90
21/24	80/90	90/100
25/34	80/90	90/120
35/42	80/100	100/120
43/64	90/100	120/150
> 65	100/120	120/180

Tabella 2.5 – Proporzioni indicative tra larghezza stanza e grandezza camino.

Un posizionamento funzionale efficace richiede anche una idonea collocazione oltre alla giusta dimensione: porre la bocca del camino troppo vicino ad una porta può provocare correnti d'aria sufficienti a causare sbuffi di fumo. Il camino va collocato anche nel posto

giusto all'interno della stanza giusta; se si colloca il focolare di fronte ad una porta d'ingresso, refoli di vento possono provocare sbuffi di fumo nella stanza ogni volta che la porta viene aperta. Si può ovviare a ciò inserendo un paravento tra il caminetto e la fonte d'aria in movimento.

2.6 – Rischio incendio nel camino e nella canna fumaria

2.6.1 – Problemi di installazione

Il camino rappresenta un elemento domestico ad elevato rischio d'incendio ed è all'origine di parecchi incendi domestici. Si possono individuare quattro possibili situazioni per cui il camino può diventare elemento iniziatore dell'accensione delle fiamme in ambienti domestici:

a) l'emissione di scintille o di materiali incandescenti nella parte aperta del camino bruciano la superficie del pavimento o i rivestimenti delle pareti o del pavimento stesso (carta da parati, tappeti, tendaggi, ecc.); Incendi importanti del primo di questo tipo sono molto rari in quanto la superficie del pavimento in legno difficilmente, seppur investita da scintille, raggiunge la temperatura di autoignizione. Più comune il caso di incendio che parte e si sviluppa da un tappeto o da un paramento domestico.

b) l'emissione di scintille o di materiali incandescenti dal camino che provocano l'accensione di un tetto combustibile (travature o coperture in legno) innescando l'incendio; incendi di questo tipo possono evolversi con dimensioni rilevanti: alla base di questi incendi vi è la scarsa manutenzione delle canne fumarie, nelle quali si accumulano sporcizia, polvere, ragnatele oltre a tutta una serie di materiali combustibili facilmente accendibili da una scintilla proveniente dal fuoco sottostante.

c) l'emissione di scintille o di materiali incandescenti attraverso una fessura creatasi nel camino, o per un difetto dello stesso, provocando l'accensione delle travi in legno della struttura portante o dei solai dell'edificio, adiacenti alla canna fumaria; anche questa tipologia di incendi è abbastanza rara, ma possono provocare ingenti danni. Le cause delle lesioni della canna fumaria si devono a:

- effetto di una scossa sismica o di uno smottamento;
- effetto di un assestamento strutturale dell'edificio;
- mancata osservanza delle indispensabili norme di manutenzione;
- fabbricato vecchio o fatiscente;

- cambiamenti degli impianti di riscaldamento che possono variare il flusso dei fumi nella canna.

d) il surriscaldamento di materiali infiammabili posti in prossimità del camino o della canna fumaria. Quest'ultimo caso è tipico delle canne fumarie in metallo in cui la mancanza d'isolamento tra le pareti metalliche del camino e la struttura lignea esterna può provocare un surriscaldamento di quest'ultima fino a far partire un incendio. La capacità isolante di canne fumarie in pietra, mattoni o calcestruzzo è tale che raramente i camini trasmettono calore sufficiente a danneggiare le travi strutturali.

Il legno strutturale, specialmente se presente in spessori rilevanti, richiede una grande quantità di calore prima di dar luogo alla combustione. Per avere un incendio, infatti, occorre localmente un calore sufficiente a distillare le sostanze volatili del legno. In circostanze normali non si raggiunge questa temperatura in prossimità della superficie esterna delle canne fumarie. Il raggiungimento di una simile situazione si ha, tuttavia, con la rottura dell'isolamento o dell'integrità della canna fumaria; in più l'effetto viene amplificato se il calore in eccesso non ha la possibilità di essere smaltito.

Il legno secco e stagionato è più facilmente accendibile del legno fresco o con un elevato tasso di umidità. L'esposizione continua o ricorrente a temperature elevate ha l'effetto di seccare il legno e di abbassare conseguentemente la temperatura di accensione; è stato dimostrato che l'essiccazione del legno fino a temperature di 275 – 280°C non costituisce un elemento di pericolosità. Diverso è il caso di un'esposizione al calore a temperature di 120°C circa per un periodo prolungato (anche diversi anni). Questa situazione può portare alla decomposizione del legno allo stato di carbone piroforico, avente una temperatura di autoaccensione molto più bassa ed è stato dimostrato che spesso ciò è all'origine di parecchi incendi accidentali. I tempi richiesti al legno per decadere allo stato di carbone piroforico sono tali da poterlo escludere come possibile causa di incendio in edifici recenti e con camini di recente costruzione.

2.6.2 – Prevenzione incendi e manutenzione

Accendere il fuoco in un camino può essere faticoso e dar luogo a comportamenti scorretti, che possono causare situazioni pericolose tali da creare principi di incendi. Di seguito vengono riportate le corrette azioni da intraprendere, con l'ausilio di apposite attrezzature, per accendere un fuoco:

- posizionare la legna su una griglia, affinché i ceppi siano ben aerati e, di conseguenza, si

accendano e si scaldino più facilmente e rapidamente;

- cominciare a scaldare la canna fumaria ed avviare un minimo di tiraggio (magari con un pezzo di carta acceso usato da torcia);
- aiutare l'avvio della combustione utilizzando fogli di giornale accartocciato, pezzetti di legna piccoli e molto secchi ed infine procedere con l'accensione di ciocchi di legna di maggiore dimensione. Questi ciocchi dovranno essere posti con il lato spaccato verso la carta accesa perché il lato ricoperto dalla corteccia si accende con maggiore difficoltà;
- aprire una finestra, almeno per i primi momenti dell'accensione, cosicché il camino ha a disposizione un grande volume d'aria fresca per agevolare il funzionamento del sistema.

Non appena il fuoco sarà acceso si dovrà porre davanti ad esso un parascintille in modo da evitare situazioni spiacevoli che possono causare incendi e, inoltre, non bisognerebbe mai lasciare l'abitazione, nemmeno per brevi periodi, lasciando il fuoco acceso. Inoltre, lanciare dell'acqua non sempre è una buona idea, potrebbe risultare pericoloso ed anche inefficace gettarla su uno strato di carboni vivaci. Il fuoco sembra spegnersi, ma il calore dei carboni può essere tale da far evaporare rapidamente lo strato d'acqua e continuare a bruciare internamente con il risultato che il fuoco potrebbe riaccendersi. La cosa migliore sarebbe separare i ciocchi il più possibile, spingerli verso il fondo del focolare e coprirli con uno strato estremamente abbondante di cenere o di sabbia umida, allontanando dal camino il più possibile gli oggetti ed i paramenti infiammabili. In linea generale sarà utile tenere a portata di mano un estintore efficiente con capacità estinguente idonea allo spegnimento del fuoco.

2.7 – Bibliografia

- I camini moderni tra rischio incendio ed arredamento
[2006] – C. Manzella
- Nozioni di antincendio
[2002] – ENEL
- L'investigazione degli incendi
[1999] – A. Rebuffi
- Riscaldamento, ventilazione, condizionamento, recupero energetico, impianti sanitari
[1996] – C. Rumor, G. Strohmener
- Appunti del corso di fisica tecnica (Politecnico di Milano)
[A.A. 2006/2007] – Colombo

Analisi delle lamiere per tubolari di canne fumarie

4.1 – Introduzione

Lo scopo del lavoro di tesi è quello di indagare l'influenza della temperatura e del tempo di esposizione ad una fonte di calore sulla colorazione superficiale di lamiere di spessore 0.6mm (tipico spessore utilizzato per la fabbricazione di canne fumarie) di acciaio inossidabile austenitico del tipo AISI 316. Inoltre, si vuole conoscere la morfologia e la consistenza dello strato di ossido superficiale che ricopre questi campioni al variare dei due fattori di interesse, temperatura e tempo, non che la microstruttura dei campioni. Lo scopo principale rimane quello di rendere il più oggettivo possibile il riconoscimento del colore superficiale delle lamiere investite dal calore: questa analisi, condotta sulle canne fumarie, può risultare utile per una prima analisi qualitativa per qualsiasi tipologia di lavorazione o trattamento termico che preveda una fase di esposizione ad una fonte di calore; saldatura, taglio laser o plasma, trattamenti termici con raffreddamenti repentini, ecc.

Attualmente non esistono riferimenti utili e oggettivi che permettano ad un esperto di riconoscere con esattezza, ad un primo sguardo e osservando solo la colorazione superficiale, quale può essere stato l'andamento della temperatura e ricostruire la storia e il percorso del calore. Inoltre, in letteratura non si trovano articoli relativi a questa tipologia di analisi e lo scopo di questo lavoro di tesi consiste anche nel creare un data base di informazioni che tenta di essere il più esaustivo possibile; tenendo comunque conto delle numerose variabili che possono influire sul risultato dell'analisi.

Riporto di seguito una tabella della British Stainless Steel Association in cui viene indicato qual'è la colorazione della superficie di campioni di acciaio inossidabile esposti per un ora ad una fonte di calore in aria (è importante precisare che l'atmosfera di lavoro è l'aria in quanto il contenuto di ossigeno può influire sulla composizione e sullo spessore dello strato di ossido superficiale).

Colour Formed	Approx Temperature °C
Pale yellow	290
Straw yellow	340
Dark yellow	370
Brown	390
Purple brown	420
Dark purple	450
Blue	540
Dark blue	600

Tabella 4.1 – Tabella indicativa dei colori della British Stainless Steel Association.

Questa tabella è un primo approccio per capire qualitativamente la gamma di colori che può assumere un campione di acciaio inossidabile austenitico, ma risulta essere del tutto soggettiva e lascia spazio a molte interpretazioni. Senza contare che la differenza tra giallo pallido e giallo paglierino non a tutti è nota.

Il lavoro che è stato portato avanti consiste nel trovare un parametro oggettivo di identificazione della colorazione superficiale delle lamiere di acciaio inossidabile. Il percorso scelto consiste nell'eseguire delle fotografie, con fotocamere digitali, in una camera bianca, posta all'interno di una stanza buia, in cui il fascio di luce generato da due lampade, incide perpendicolarmente alla macchina fotografica. L'oggettività e l'unicità del colore vengono garantite dagli istogrammi dei colori di base, rosso, verde e blu, che combinati insieme danno il colore. Il parametro scelto è la media dei colori rosso, verde e blu che verrà utilizzata per un'analisi statistica sull'influenza dei due fattori principali, temperatura e tempo, e sulla fotocamera; è stato scelto di eseguire la fotografie con due fotocamere con caratteristiche simili per valutare, prima di tutto, la bontà della camera bianca e, se cambiando fotocamera, si riscontrano delle differenze sulle medie degli istogrammi.

Una volta raccolti tutti i dati, attraverso l'uso di un software statistico, è stata eseguita un'analisi della varianza – ANOVA – per indagare circa l'influenza dei parametri e per svolgere dei confronti tra i vari livelli dei fattori; questi confronti servono a stabilire effettivamente se cambia il colore superficiale.

Infine, sono state svolte delle analisi microscopiche con un microscopio a scansione elettronica a grandi ingrandimenti (S.E.M.) per evidenziare la composizione chimica e la morfologia del film di ossido sulla superficie e delle analisi micrografiche per valutare un'eventuale modifica della struttura interna.

4.2 – Programma degli esperimenti

4.2.1 – Riscaldamento campioni

Prima di cominciare le prove pratiche sono stati pianificati i livelli dei due fattori principali; la scala di temperature scelta parte dal riferimento a temperatura ambiente, 20°C, e arriva fino a 1050°C con passo che varia in funzione delle temperature di maggiore interesse. Si è scelto di indagare maggiormente nell'intervallo di temperature che va dai 300°C ai 500°C perché in quest'intervallo cominciano i cambiamenti di colorazione superficiale e sono le temperature più frequentemente raggiunte durante gli incendi domestici. Il limite superiore è stato fissato sempre dal contesto in quanto difficilmente gli incendi domestici raggiungono temperature superiori a 950 – 1050°C.

Per quanto riguarda il tempo di esposizione alla fonte di calore si è scelto di far variare questo parametro tra due livelli: un'ora e sei ore. La scelta di un tempo di esposizione di un'ora è stata quasi obbligata per avere un raffronto numerico con la tabella della British Stainless Steel Association, mentre di rado gli incendi domestici hanno una durata complessiva superiore alle 5 – 6 ore.

Ogni lamiera è stata tagliata a freddo mediante cesoie ottenendo così dei campioni quadrati di dimensione 80 x 80mm. La finitura superficiale è dettata dalla lavorazione subita: sono tutti campioni laminati non trattati superficialmente, ma puliti con dell'acetone per eliminare tutti i residui di olio, pennarello, sporco, ecc.

Il piano sperimentale prevede di effettuare due repliche per ciascuna condizione e ogni campione viene marcato e codificato secondo una precisa sequenza: vengono indicati temperatura [°C], tempo di esposizione [h], tipo di acciaio [AISI], spessore lamiera [mm] e numero di replica [A o B]. Nella seguente tabella vengono indicati i nomi dei campioni secondo la codifica.

Tempo [h]	1		6	
Replica	A	B	A	B
Temperatura [°C]				
20	20-1-316-06-A	20-1-316-06-B	20-6-316-06-A	20-6-316-06-B
150	150-1-316-06-A	150-1-316-06-B	150-6-316-06-A	150-6-316-06-B
225	225-1-316-06-A	225-1-316-06-B	225-6-316-06-A	225-6-316-06-B
300	300-1-316-06-A	300-1-316-06-B	300-6-316-06-A	300-6-316-06-B
340	340-1-316-06-A	340-1-316-06-B	340-6-316-06-A	340-6-316-06-B

375	375-1-316-06-A	375-1-316-06-B	375-6-316-06-A	375-6-316-06-B
415	415-1-316-06-A	415-1-316-06-B	415-6-316-06-A	415-6-316-06-B
450	450-1-316-06-A	450-1-316-06-B	450-6-316-06-A	450-6-316-06-B
525	525-1-316-06-A	525-1-316-06-B	525-6-316-06-A	525-6-316-06-B
600	600-1-316-06-A	600-1-316-06-B	600-6-316-06-A	600-6-316-06-B
750	750-1-316-06-A	750-1-316-06-B	750-6-316-06-A	750-6-316-06-B
900	900-1-316-06-A	900-1-316-06-B	900-6-316-06-A	900-6-316-06-B
1050	1050-1-316-06-A	1050-1-316-06-B	1050-6-316-06-A	1050-6-316-06-B

Tabella 4.2 – Nomenclatura dei campioni.

La prima fase dall'attività di analisi prevede il riscaldamento di tutti i campioni secondo una sequenza completamente casualizzata. Prima di stendere la sequenza di riscaldamento è necessario precisare alcune ipotesi su cui è stata sviluppata l'analisi:

– legge di riscaldamento a gradino: è stata imposta una legge di riscaldamento a gradino vista la mancanza di informazioni sul riscaldamento seguito dal componente durante l'incendio. Questa ipotesi è supportata dal piccolo spessore dei componenti (inferiore al millimetro) che fa supporre un riscaldamento molto rapido una volta investiti dal flusso di calore.

– Raffreddamento in aria: questa scelta è dovuta alla mancanza di informazioni sul mezzo di spegnimento, perciò si è scelto il caso più semplice, forte del fatto che in un incendio vi sono sempre zone che non entrano in contatto con l'acqua.

– Assenza di fiamma: è stata dettata dalla mancanza di un forno adeguato. Tale ipotesi non penalizza l'analisi perché in un incendio vi sono ampie zone che non entrano in contatto diretto con il fuoco, ma subiscono ugualmente il flusso di calore.

– Provino ovunque alla stessa temperatura: questa ipotesi di omogeneità termica è fortemente supportata dal piccolo spessore del provino che quindi si riscalda e si raffredda molto velocemente senza presentare gradienti termici rilevanti al loro interno.

Il riscaldamento è stato effettuato in un forno elettrico a resistenza secondo la seguente sequenza casualizzata tramite il software Minitab Solution 15. Prima di iniziare il riscaldamento dei lamierini, questi vengono puliti con dell'acetone per eliminare i residui di sporco e grasso che potrebbero influenzare l'analisi; di seguito viene riportata la sequenza:

1	900-1-316-06-A	13	450-1-316-06-A	25	525-1-316-06-A	37	600-1-316-06-A
2	340-6-316-06-B	14	225-6-316-06-B	26	150-1-316-06-A	38	450-6-316-06-A
3	900-6-316-06-A	15	1050-6-316-06-B	27	600-1-316-06-B	39	600-6-316-06-B
4	375-6-316-06-B	16	150-1-316-06-B	28	1050-6-316-06-A	40	415-6-316-06-B

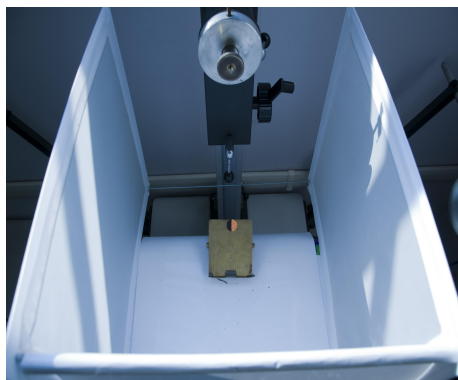
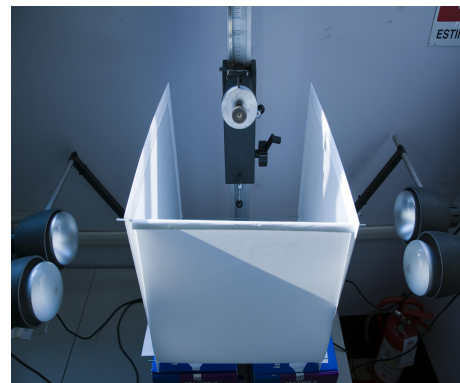
5	300-6-316-06-B	17	525-6-316-06-A	29	750-6-316-06-B	41	415-1-316-06-A
6	900-1-316-06-B	18	900-6-316-06-B	30	225-1-316-06-A	42	750-1-316-06-B
7	300-1-316-06-B	19	150-6-316-06-A	31	225-6-316-06-A	43	1050-1-316-06-A
8	525-1-316-06-B	20	600-6-316-06-A	32	300-6-316-06-A	44	375-1-316-06-A
9	750-6-316-06-A	21	750-1-316-06-A	33	375-1-316-06-B	45	340-1-316-06-A
10	150-6-316-06-B	22	340-6-316-06-A	34	450-1-316-06-B	46	375-6-316-06-A
11	415-1-316-06-B	23	450-6-316-06-B	35	225-1-316-06-B	47	415-6-316-06-A
12	340-1-316-06-B	24	1050-1-316-06-B	36	525-6-316-06-B	48	300-1-316-06-A

Tabella 4.3 – Sequenza di riscaldamento.

Una volta scaldati i lamierini sono stati marcati sul lato che presenta il colore meno uniforme, con il codice prima citato.

4.2.2 – Analisi fotografica: light box e fotocamere

L'analisi della colorazione superficiale dei campioni prevede di eseguire le fotografie con due diverse tipologie di fotocamere all'interno di una camera bianca immersa in una stanza buia in modo da avere una rilevazione che sia il più corretta possibile. La lamiera viene appoggiata su una squadretta inclinata e posta all'interno del light box dove la macchina fotografica è montata perpendicolarmente ai campioni.



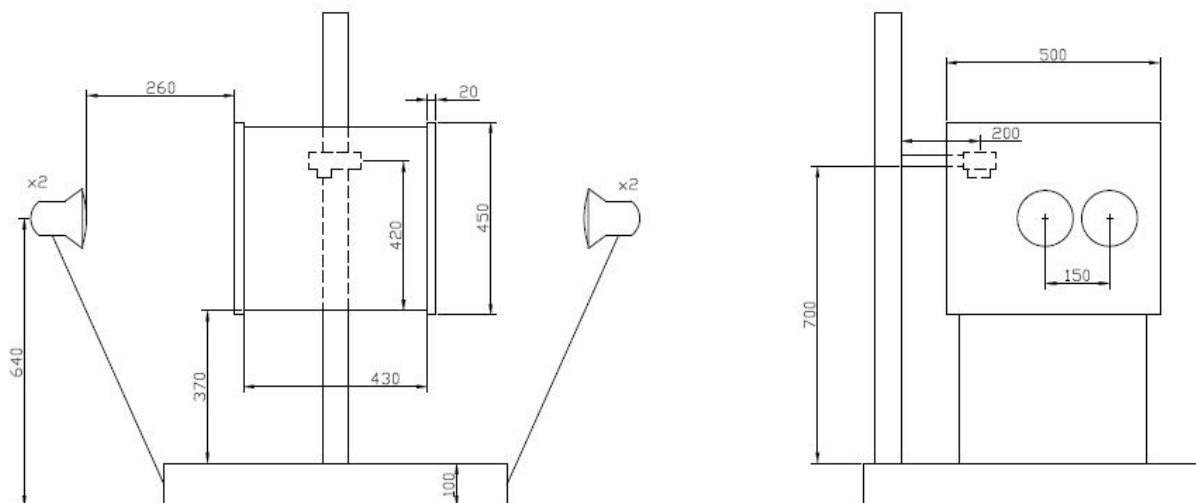


Fig. 4.1 – Immagini e dimensioni di ingombro del light box.

Sulla squadretta è stato posto un cerchio nero e arancione che ha il solo scopo di servire come riferimento per la messa a fuoco della fotocamera. Il light box è stato costruito con normalissimi fogli di carta bianca facilmente reperibili e la luce incide direttamente sul campione per non alterare il colore.

Per l'analisi cromatica sono state scelte due fotocamere dalle caratteristiche simili e della stessa fascia di prezzo; la prima fotocamera è una Canon Eos 450D mentre la seconda è una Nikon D300. Di seguito vengono riportate le caratteristiche delle due macchine fotografiche:

Canon Eos 450D:



Fig 4.2 – Immagine della fotocamera Canon Eos 450D.

- sensore: CMOS di dimensioni 22.2 x 14.8mm da 12.2 megapixel;
- esposizione manuale con gamma di esposizione EV 1 – 20 e compensazione ± 2 EV;
- sensibilità ottica: ISO 100 – 1600;
- bilanciamento bianco: manuale e/o automatico;
- dimensioni [mm]: 128.6 x 97.5 x 61.9;

- peso [g]: 475;
- materiale corpo camera: acciaio inossidabile / plastica;
- mirino: ottico pentaspecchio con copertura campo 95% e ingrandimento 0.87x;
- velocità di scatto [sec]: 30 – 1/4000;
- formato immagini: JPEG, TIFF e RAW;
- display LCD da 3” con risoluzione 230000 pixel.

Nikon D300:



Fig. 4.3 – Immagine della fotocamera Nikon D300.

- sensore: CMOS di dimensioni 15.8 x 23.6mm da 12.3 megapixel;
- esposizione manuale con gamma di esposizione EV 0 – 20 e compensazione ± 5 EV;
- sensibilità ottica: ISO 200 – 3200;
- bilanciamento bianco: manuale e/o automatico;
- dimensioni [mm]: 147 x 114 x 74;
- peso [g]: 825;
- materiale corpo camera: lega di magnesio;
- mirino: ottico pentaprisma con copertura campo 100% e ingrandimento 0.94x;
- velocità di scatto [sec]: 30 – 1/8000;
- formato immagini: JPEG, TIFF e NEF (RAW);
- display LCD da 3” con risoluzione 920000 pixel.

Pur essendo molto simili le due fotocamere presentano delle piccole differenze legate al tipo di messa a fuoco, al sensore, alla sensibilità, all'esposizione, ecc. che potrebbero dar luogo a delle differenze sulle fotografie. Per questo motivo oltre all'ausilio della camera bianca per ridurre la possibile influenza della luce, si è scelto di utilizzare anche un software di taratura del bianco e del colore; il programma utilizzato, chiamato ColorChecker Passport della società X-Rite è facilmente reperibile sul mercato e il suo utilizzo è molto agevole. Il ColorChecker Passport è un sistema formato da un software per creare il profilo camera e da una parte hardware composta da varie carte che servono a bilanciare sia il bianco che i colori.



Fig. 4.4 – Target del bilanciamento del bianco e del colore.

Le carte ColorChecker Passport hanno la caratteristica di essere realizzate pigmenti virtualmente esenti da metamerismo, cioè la percezione che si ha del colore non varia al variare della luce sotto cui la si osserva. Queste carte sono utilissime per bilanciare il bianco e il grigio soprattutto quando si fotografa in modalità RAW. Il target a 24 colori (riportato in figura 4.4) dovrebbe essere fotografato prima di qualsiasi altro scatto in modo da poter riuscire a creare un profilo unico per tutte le foto successive. I 24 riferimenti cromatici raccolgono una serie di colori rappresentativi di varie situazioni tra cui le tinte pure RGB oltre alla scala di grigi neutri che va dal bianco al nero. Questo target rappresenta un modo univoco di calibrazione del colore della fotocamera.



Fig. 4.5 – Target del bilanciamento colore per ritratti e paesaggi.

Quest'altro target, sempre compreso nell'hardware del ColorChecker Passport, permette di

realizzare delle immagini più creative; oltre ad avere una scala di colori per la taratura (1) e una per le tonalità di grigio (4), permette di modificare l'intensità dei colori dei ritratti (2) e dei paesaggi (3).

Come già anticipato, il software presente nel pacchetto ColorChecker Passport permette di creare il profilo della fotocamera: per prima cosa bisogna scattare una fotografia del target, inquadrando completamente tutti e 24 i colori del Passport, evitando che le singole caselle dei colori vengano coperte. Successivamente la foto viene aperta in formato RAW ed asportata in DNG in modo che possa essere letta dal programma. Aprendo il programma, il software riconosce in maniera automatica le caselle dei colori e crea il profilo della fotocamera salvando l'immagine per poter poi sincronizzare tutte le altre.

4.2.3 – Analisi fotografica: fotografie e istogrammi RGB

Per ogni lamiera scaldata è stato deciso di scattare quattro fotografie in modo da mascherare la possibile variabilità del colore dei campioni. Per avere un risultato scientificamente valido è necessario generare un piano sperimentale totalmente casualizzato: la casualizzazione prevede di seguire un piano fotografico con quattro repliche per ogni campione senza bloccare la macchina fotografica.

La macchina fotografica poteva rappresentare un fattore di disturbo e quindi si poteva considerare come un blocco all'interno del piano fattoriale, ma considerando tutte le precauzioni prese, dal light box in una camera buia, alla taratura dei colori e bilanciamento del bianco attuate con il ColorChecker Passport, si è scelto di aggiungere anche la fotocamera come fattore. Il piano di seguito riportato riprende la codifica precedentemente descritta a cui viene premessa una lettera, stante ad indicare la fotocamera; con la lettera C vengono indicate le fotografie effettuate con la fotocamera Canon Eos 450D, mentre con la lettera N quelle scattate con la Nikon D300. Infine vengono aggiunti in fondo al codice i numeri da 1 a 4 che indicano, in progressivo, il numero delle repliche.

<i>Sequenza di scatto</i>	<i>N°</i>
C-450-1-316-06-A-1	1
C-150-6-316-06-A-1	2
C-340-6-316-06-B-1	3
N-525-1-316-06-A-1	4
N-340-1-316-06-A-1	5
C-750-6-316-06-B-1	6
N-300-1-316-06-B-1	7

<i>Sequenza di scatto</i>	<i>N°</i>
N-150-1-316-06-B-2	209
C-20-1-316-06-B-1	210
C-20-6-316-06-A-3	211
N-450-6-316-06-B-1	212
C-750-6-316-06-A-2	213
C-900-6-316-06-A-2	214
N-20-6-316-06-A-4	215

C-150-1-316-06-B-1	8
C-340-6-316-06-A-1	9
C-1050-1-316-06-B-1	10
N-750-1-316-06-A-1	11
C-450-6-316-06-A-1	12
N-20-6-316-06-A-1	13
C-415-1-316-06-A-1	14
N-900-1-316-06-B-1	15
N-750-1-316-06-B-1	16
C-375-6-316-06-B-1	17
C-415-1-316-06-B-1	18
C-415-1-316-06-B-2	19
C-415-6-316-06-B-1	20
C-20-1-316-06-A-1	21
N-525-6-316-06-A-1	22
N-150-6-316-06-B-1	23
C-600-1-316-06-A-1	24
N-375-1-316-06-B-1	25
N-525-1-316-06-A-2	26
C-525-6-316-06-A-1	27
N-150-6-316-06-B-2	28
C-150-6-316-06-B-1	29
C-150-1-316-06-A-1	30
C-340-1-316-06-B-1	31
C-525-6-316-06-A-2	32
C-1050-6-316-06-B-1	33
N-150-6-316-06-A-1	34
N-150-1-316-06-B-1	35
C-525-1-316-06-A-1	36
C-415-6-316-06-A-1	37
N-900-6-316-06-A-1	38
C-225-1-316-06-A-1	39
C-1050-1-316-06-A-1	40
C-375-1-316-06-B-1	41
N-450-1-316-06-B-1	42
C-750-1-316-06-A-1	43
C-300-1-316-06-A-1	44
N-415-6-316-06-B-1	45
C-340-6-316-06-B-2	46
C-750-6-316-06-B-2	47
N-525-6-316-06-B-1	48
N-750-1-316-06-B-2	49

C-20-6-316-06-B-3	216
N-600-6-316-06-B-4	217
N-20-1-316-06-B-4	218
C-375-1-316-06-A-2	219
C-1050-1-316-06-B-4	220
N-225-6-316-06-A-4	221
N-375-6-316-06-B-1	222
C-225-6-316-06-A-3	223
N-450-1-316-06-B-3	224
C-750-6-316-06-B-4	225
N-150-6-316-06-A-3	226
C-415-1-316-06-A-3	227
C-750-1-316-06-A-2	228
N-450-6-316-06-A-1	229
N-225-6-316-06-B-2	230
C-20-6-316-06-A-4	231
C-375-6-316-06-B-2	232
N-1050-6-316-06-B-1	233
N-1050-6-316-06-B-2	234
C-225-1-316-06-B-3	235
N-1050-6-316-06-A-4	236
N-225-1-316-06-A-3	237
N-1050-6-316-06-B-3	238
C-340-1-316-06-A-2	239
N-750-1-316-06-A-2	240
C-750-1-316-06-A-3	241
C-450-6-316-06-A-3	242
C-415-6-316-06-A-4	243
N-415-1-316-06-A-3	244
C-750-6-316-06-A-3	245
N-900-6-316-06-B-2	246
N-225-1-316-06-B-3	247
C-415-1-316-06-B-3	248
C-340-6-316-06-B-4	249
C-340-1-316-06-A-3	250
C-20-1-316-06-A-3	251
C-450-1-316-06-B-1	252
C-375-1-316-06-A-3	253
N-375-1-316-06-B-4	254
N-300-6-316-06-B-1	255
N-900-1-316-06-A-4	256
C-1050-6-316-06-A-3	257

C-300-6-316-06-B-1	50
N-300-1-316-06-A-1	51
N-415-6-316-06-A-1	52
N-1050-1-316-06-B-1	53
C-600-6-316-06-B-1	54
C-150-1-316-06-B-2	55
N-415-1-316-06-A-1	56
N-300-1-316-06-B-2	57
N-340-6-316-06-B-1	58
C-20-6-316-06-B-1	59
C-300-1-316-06-A-2	60
N-900-1-316-06-B-2	61
N-340-6-316-06-A-1	62
N-150-1-316-06-A-1	63
C-450-6-316-06-B-1	64
C-415-6-316-06-A-2	65
N-450-1-316-06-A-1	66
C-525-1-316-06-B-1	67
C-340-6-316-06-B-3	68
C-750-6-316-06-B-3	69
N-20-1-316-06-B-1	70
N-900-1-316-06-B-3	71
N-20-6-316-06-A-2	72
C-525-6-316-06-B-1	73
N-225-1-316-06-B-1	74
N-20-1-316-06-B-2	75
N-340-1-316-06-A-2	76
C-150-1-316-06-B-3	77
C-900-1-316-06-A-1	78
C-20-6-316-06-A-1	79
N-1050-6-316-06-A-1	80
C-150-1-316-06-A-2	81
C-225-6-316-06-A-1	82
N-600-6-316-06-A-1	83
N-1050-6-316-06-A-2	84
N-225-6-316-06-A-1	85
C-300-6-316-06-B-2	86
N-150-6-316-06-B-3	87
C-300-1-316-06-B-1	88
N-600-1-316-06-B-1	89
C-900-1-316-06-B-1	90
C-300-6-316-06-A-1	91

C-375-1-316-06-A-4	258
N-415-6-316-06-A-2	259
N-600-1-316-06-B-4	260
C-600-1-316-06-B-2	261
N-1050-1-316-06-A-2	262
C-150-1-316-06-A-3	263
N-415-6-316-06-A-3	264
C-600-1-316-06-A-4	265
N-450-6-316-06-B-2	266
C-600-6-316-06-B-3	267
C-300-1-316-06-A-4	268
N-750-1-316-06-A-3	269
N-750-6-316-06-B-2	270
N-750-6-316-06-A-3	271
N-340-1-316-06-B-2	272
C-450-6-316-06-B-3	273
C-340-6-316-06-A-4	274
C-375-6-316-06-B-3	275
N-225-1-316-06-A-4	276
N-340-6-316-06-B-3	277
N-600-1-316-06-A-1	278
N-450-6-316-06-A-2	279
N-750-6-316-06-A-4	280
C-1050-6-316-06-B-2	281
N-300-6-316-06-B-2	282
C-415-1-316-06-A-4	283
C-525-6-316-06-B-4	284
C-150-6-316-06-B-3	285
N-415-1-316-06-B-4	286
C-375-1-316-06-B-3	287
C-1050-1-316-06-A-2	288
C-225-6-316-06-B-2	289
C-900-6-316-06-A-3	290
N-450-6-316-06-A-3	291
C-750-1-316-06-B-4	292
N-225-1-316-06-B-4	293
N-415-6-316-06-A-4	294
N-375-1-316-06-A-2	295
C-525-1-316-06-A-3	296
N-150-1-316-06-A-2	297
C-20-1-316-06-B-2	298
C-300-1-316-06-B-3	299

C-750-1-316-06-B-1	92
C-600-6-316-06-B-2	93
N-375-1-316-06-B-2	94
C-900-1-316-06-B-2	95
C-225-6-316-06-A-2	96
C-150-1-316-06-B-4	97
C-525-1-316-06-B-2	98
N-600-6-316-06-A-2	99
C-150-6-316-06-B-2	100
N-375-1-316-06-A-1	101
C-300-6-316-06-A-2	102
N-900-1-316-06-A-1	103
C-300-1-316-06-A-3	104
N-750-6-316-06-A-1	105
N-415-1-316-06-A-2	106
C-150-6-316-06-A-2	107
C-225-1-316-06-B-1	108
N-340-1-316-06-B-1	109
C-225-1-316-06-A-2	110
C-340-6-316-06-A-2	111
C-900-1-316-06-A-2	112
C-900-6-316-06-B-1	113
N-600-6-316-06-A-3	114
C-1050-1-316-06-B-2	115
N-150-6-316-06-B-4	116
C-20-6-316-06-B-2	117
C-20-6-316-06-A-2	118
C-415-1-316-06-A-2	119
N-375-6-316-06-A-1	120
N-20-6-316-06-B-1	121
C-225-6-316-06-B-1	122
N-225-1-316-06-B-2	123
C-340-1-316-06-A-1	124
N-600-1-316-06-B-2	125
N-600-6-316-06-B-1	126
C-375-6-316-06-A-1	127
C-1050-6-316-06-A-1	128
N-225-6-316-06-A-2	129
N-525-1-316-06-A-3	130
C-340-6-316-06-A-3	131
N-750-6-316-06-A-2	132
N-1050-6-316-06-A-3	133

N-415-1-316-06-A-4	300
C-415-1-316-06-B-4	301
C-415-6-316-06-B-4	302
N-1050-1-316-06-B-2	303
N-20-1-316-06-A-2	304
N-300-6-316-06-A-3	305
N-150-1-316-06-B-3	306
N-750-1-316-06-A-4	307
N-150-1-316-06-B-4	308
C-375-6-316-06-A-3	309
C-150-6-316-06-B-4	310
C-20-6-316-06-B-4	311
N-525-6-316-06-A-2	312
N-300-1-316-06-B-3	313
C-225-6-316-06-A-4	314
N-300-6-316-06-A-4	315
C-525-6-316-06-A-4	316
N-900-6-316-06-B-3	317
N-600-1-316-06-A-2	318
C-20-1-316-06-B-3	319
N-340-6-316-06-A-4	320
N-225-6-316-06-B-3	321
C-450-6-316-06-A-4	322
N-20-6-316-06-B-3	323
N-20-1-316-06-A-3	324
N-300-6-316-06-B-3	325
N-20-6-316-06-B-4	326
N-1050-6-316-06-B-4	327
N-450-6-316-06-A-4	328
N-340-6-316-06-B-4	329
C-375-6-316-06-A-4	330
C-20-1-316-06-B-4	331
N-375-1-316-06-A-3	332
N-300-6-316-06-B-4	333
N-150-6-316-06-A-4	334
C-225-1-316-06-B-4	335
C-450-1-316-06-A-3	336
C-600-1-316-06-B-3	337
N-375-6-316-06-A-2	338
N-1050-1-316-06-A-3	339
N-525-6-316-06-B-4	340
C-1050-1-316-06-A-3	341

N-375-1-316-06-B-3	134
C-750-1-316-06-B-2	135
C-225-1-316-06-A-3	136
C-225-1-316-06-A-4	137
C-600-1-316-06-A-2	138
C-415-6-316-06-A-3	139
C-415-6-316-06-B-2	140
C-525-6-316-06-A-3	141
C-600-1-316-06-A-3	142
C-750-1-316-06-B-3	143
N-900-1-316-06-A-2	144
C-300-6-316-06-B-3	145
N-415-1-316-06-B-1	146
C-1050-6-316-06-A-2	147
N-20-1-316-06-A-1	148
N-415-1-316-06-B-2	149
C-375-6-316-06-A-2	150
C-900-6-316-06-B-2	151
N-340-6-316-06-A-2	152
N-415-6-316-06-B-2	153
C-750-6-316-06-A-1	154
C-525-1-316-06-B-3	155
C-525-1-316-06-B-4	156
C-525-1-316-06-A-2	157
C-225-1-316-06-B-2	158
C-375-1-316-06-B-2	159
C-450-6-316-06-A-2	160
C-150-6-316-06-A-3	161
N-1050-1-316-06-A-1	162
C-1050-1-316-06-B-3	163
N-225-1-316-06-A-1	164
N-600-6-316-06-A-4	165
N-225-6-316-06-A-3	166
C-600-6-316-06-A-1	167
N-450-1-316-06-B-2	168
N-225-6-316-06-B-1	169
C-600-1-316-06-B-1	170
C-300-1-316-06-B-2	171
C-375-1-316-06-A-1	172
N-415-1-316-06-B-3	173
N-900-6-316-06-B-1	174
C-450-6-316-06-B-2	175

C-375-6-316-06-B-4	342
N-900-6-316-06-B-4	343
N-450-1-316-06-B-4	344
C-150-6-316-06-A-4	345
N-415-6-316-06-B-3	346
C-750-6-316-06-A-4	347
N-375-6-316-06-A-3	348
C-900-1-316-06-A-4	349
N-600-1-316-06-A-3	350
C-900-6-316-06-A-4	351
N-375-6-316-06-B-2	352
N-340-1-316-06-B-3	353
C-300-6-316-06-A-3	354
C-20-1-316-06-A-4	355
C-525-1-316-06-A-4	356
N-1050-1-316-06-A-4	357
N-375-1-316-06-A-4	358
N-20-1-316-06-A-4	359
N-375-6-316-06-A-4	360
N-900-1-316-06-B-4	361
C-900-6-316-06-B-3	362
C-300-6-316-06-A-4	363
N-900-6-316-06-A-2	364
C-450-1-316-06-B-2	365
N-150-1-316-06-A-3	366
N-340-1-316-06-A-3	367
N-450-6-316-06-B-3	368
C-300-1-316-06-B-4	369
N-525-6-316-06-A-3	370
N-750-6-316-06-B-3	371
N-600-1-316-06-A-4	372
N-300-1-316-06-A-3	373
N-1050-1-316-06-B-3	374
C-340-1-316-06-B-3	375
N-525-1-316-06-B-2	376
N-300-6-316-06-A-1	377
N-340-1-316-06-A-4	378
C-1050-6-316-06-B-3	379
C-1050-6-316-06-B-4	380
N-525-6-316-06-A-4	381
C-1050-6-316-06-A-4	382
C-375-1-316-06-B-4	383

C-600-6-316-06-A-2	176	C-340-1-316-06-B-4	384
N-225-1-316-06-A-2	177	N-900-6-316-06-A-3	385
N-450-1-316-06-A-2	178	C-300-6-316-06-B-4	386
C-600-6-316-06-A-3	179	C-225-6-316-06-B-3	387
N-600-6-316-06-B-2	180	N-450-6-316-06-B-4	388
N-900-1-316-06-A-3	181	C-450-6-316-06-B-4	389
C-415-6-316-06-B-3	182	C-340-1-316-06-A-4	390
C-525-6-316-06-B-2	183	N-300-1-316-06-A-4	391
C-900-1-316-06-B-3	184	N-900-6-316-06-A-4	392
N-750-1-316-06-B-3	185	N-375-6-316-06-B-3	393
N-600-1-316-06-B-3	186	C-450-1-316-06-B-3	394
N-150-6-316-06-A-2	187	N-225-6-316-06-B-4	395
C-20-1-316-06-A-2	188	N-750-6-316-06-B-4	396
N-525-1-316-06-A-4	189	N-375-6-316-06-B-4	397
N-300-1-316-06-A-2	190	N-525-1-316-06-B-3	398
C-525-6-316-06-B-3	191	N-450-1-316-06-A-4	399
C-600-6-316-06-A-4	192	C-600-1-316-06-B-4	400
N-340-6-316-06-B-2	193	N-300-6-316-06-A-2	401
N-20-6-316-06-B-2	194	C-750-1-316-06-A-4	402
N-20-6-316-06-A-3	195	C-450-1-316-06-B-4	403
N-600-6-316-06-B-3	196	N-525-1-316-06-B-4	404
N-525-1-316-06-B-1	197	N-300-1-316-06-B-4	405
N-450-1-316-06-A-3	198	N-340-1-316-06-B-4	406
C-450-1-316-06-A-2	199	C-150-1-316-06-A-4	407
N-525-6-316-06-B-2	200	C-600-6-316-06-B-4	408
C-340-1-316-06-B-2	201	C-900-1-316-06-B-4	409
C-900-1-316-06-A-3	202	C-225-6-316-06-B-4	410
N-750-1-316-06-B-4	203	N-415-6-316-06-B-4	411
C-900-6-316-06-A-1	204	N-1050-1-316-06-B-4	412
N-20-1-316-06-B-3	205	C-450-1-316-06-A-4	413
N-750-6-316-06-B-1	206	C-900-6-316-06-B-4	414
N-340-6-316-06-A-3	207	C-1050-1-316-06-A-4	415
N-525-6-316-06-B-3	208	N-150-1-316-06-A-4	416

Tabella 4.4 – Sequenza di scatto.

Al termine della sequenza le fotografie sono state salvate in due formati differenti: il primo è il formato RAW che consiste in un particolare metodo di memorizzazione dei dati descrittivi di un'immagine. Questa tecnica viene usata per non avere perdite di qualità della registrazione su un qualsiasi supporto di memoria, rispetto ai segnali catturati dal sensore e successivamente composti per interpolazione dal processore d'immagine della fotocamera nelle sue tre componenti fondamentali RGB (Red, Green, Blue); il secondo, invece, è il formato PNG (acronimo di Portable Network Graphics) che sostanzialmente è molto simile al

formato GIF: permette di memorizzare delle immagini utilizzando una scala di 256 colori. La caratteristica principale di questo formato consiste nella compressione dell'immagine senza perdita di informazioni.

All'interno del software Camera RAW ad ogni fotografia è stata applicata la taratura effettuata con il ColorChecker Passport in modo da avere gli stessi parametri di bilanciamento bianco, esposizione, luminosità, temperatura colore, ecc. prima di salvare il file anche in formato PNG. Quest'ultimo formato è necessario per l'analisi degli istogrammi RGB in quanto tutte le foto sono state analizzate con il programma creato in Matlab appositamente per questo lavoro. Questo programma riceve come input una fotografia in formato PNG e, per ogni pixel della fotografia, legge e memorizza i valori di media e deviazione standard dei tre canali del rosso, del verde e del blu. Finito di scansionare tutta l'immagine il programma genera gli istogrammi delle occorrenze su una scala che parte da zero e arriva fino a 255 (avendo così 2^8 bit ossia 256 possibili valori del colore). Il programma restituisce gli istogrammi dei tre canali di rosso, verde e blu in cui compare la media e la deviazione standard per ogni canale.

Di seguito riporto, per ogni campione, le immagini delle quattro repliche con i relativi istogrammi:

Analisi struttura cristallina e ossidi superficiali

5.1 – Analisi struttura cristallina

La procedura sperimentale seguita dell'analisi della struttura cristallina dei campioni di lamiera di canna fumaria prevede:

- taglio a freddo di un campione de un lamierino (eseguito mediante cesoia manuale);
- inglobatura dei campioni tramite una resina termoindurente (resina “fenolica nera” prodotta da *bitech europe* – cod, *TEC-007-N*). Il ciclo termico, applicato alla pressione di 3.4Bar, è riportato in figura . . .

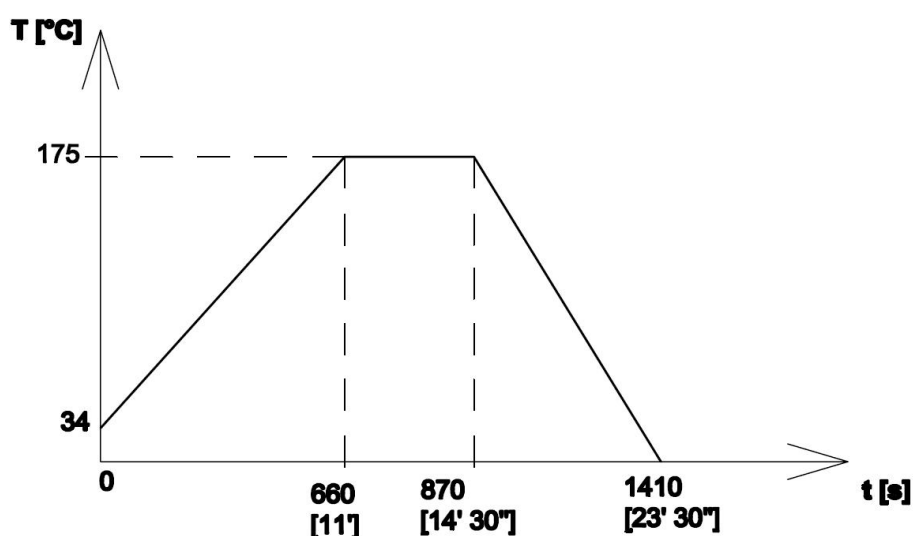


Fig. 5.1 – Ciclo termico di inglobatura.

- la lucidatura a specchio dei campioni tramite carte abrasive e panni diamantati di granulometria decrescente fino ad ottenere la rugosità superficiale di $1\mu\text{m}$.
- l'attacco metallografico per via chimica tramite immersione dei campione in una soluzione acquosa composta da: 5mL di HNO_3 e 25mL di HCl diluiti in 15mL di H_2O .
- l'analisi al microscopio ottico.

Una volta inglobato, lucidato ed attaccato ogni campione è stato analizzato al microscopio

ottico. Di seguito vengono riportati i risultati dei campioni riscaldati per un'ora:

20°C – 1 ora: i grani hanno una dimensione ridotta che varia tra 15 e 50 μ m. Nella sezione longitudinale si intravedono le linee dovute al processo di laminazione;

20°C – 1 ore: non si rilevano sostanziali differenze rispetto al caso a 20°C – 1 ora

150°C – 1 ora: non si rilevano sostanziali differenze rispetto al caso a 20°C – 1 ora;

150°C – 6 ore: non si rilevano sostanziali differenze rispetto al caso a 20°C – 1 ora;

225°C – 1 ora: non si rilevano sostanziali differenze rispetto al caso a 20°C – 1 ora;

225°C – 6 ore: non si rilevano sostanziali differenze rispetto al caso a 20°C – 1 ora;

300°C – 1 ora: non si rilevano sostanziali differenze rispetto al caso a 20°C – 1 ora;

300°C – 6 ore: non si rilevano sostanziali differenze rispetto al caso a 20°C – 1 ora;

340°C – 1 ora: non si rilevano sostanziali differenze rispetto al caso a 20°C – 1 ora;

340°C – 6 ore: non si rilevano sostanziali differenze rispetto al caso a 20°C – 1 ora;

375°C – 1 ora: non si rilevano sostanziali differenze rispetto al caso a 20°C – 1 ora;

375°C – 6 ore: non si rilevano sostanziali differenze rispetto al caso a 20°C – 1 ora;

415°C – 1 ora: non si rilevano sostanziali differenze rispetto al caso a 20°C – 1 ora;

415°C – 6 ore: non si rilevano sostanziali differenze rispetto al caso a 20°C – 1 ora;

450°C – 1 ora: non si rilevano sostanziali differenze rispetto al caso a 20°C – 1 ora;

450°C – 6 ore: non si rilevano sostanziali differenze rispetto al caso a 20°C – 1 ora;

525°C – 1 ora: non si rilevano sostanziali differenze rispetto al caso a 20°C – 1 ora;

525°C – 6 ore: non si rilevano sostanziali differenze rispetto al caso a 20°C – 1 ora;

600°C – 1 ora: non si rilevano sostanziali differenze rispetto al caso a 20°C – 1 ora;

600°C – 6 ore: non si rilevano sostanziali differenze rispetto al caso a 20°C – 1 ora;

750°C – 1 ora: non si rilevano sostanziali differenze rispetto al caso a 20°C – 1 ora;

750°C – 6 ore: non si rilevano sostanziali differenze rispetto al caso a 20°C – 1 ora;

900°C – 1 ora: in alcune zone si nota un notevole ingrossamento del grano cristallino che in tali aree raggiunge dimensioni comprese tra 100 e 150 μ m circa, questa circostanza è attribuibile ai fenomeni di *recovery* e *ricristallizzazione*. Spariscono completamente le righe dovute alla laminazione;

900°C – 6 ore: non si rilevano sostanziali differenze rispetto al caso a 900°C – 1 ora;

1050°C – 1 ora: in alcune zone si assiste ad un ulteriore aumento delle dimensioni del grano cristallino che in tali aree raggiunge dimensioni comprese tra 150 e 300µm;

1050°C – 6 ore: non si rilevano sostanziali differenze rispetto al caso a 1050°C – 1 ora.

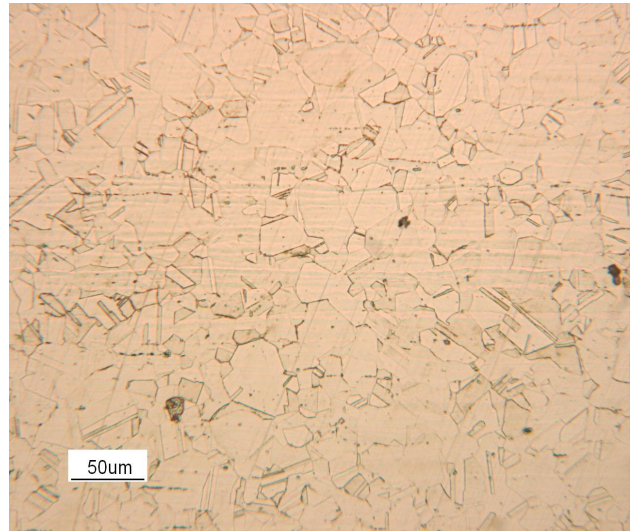
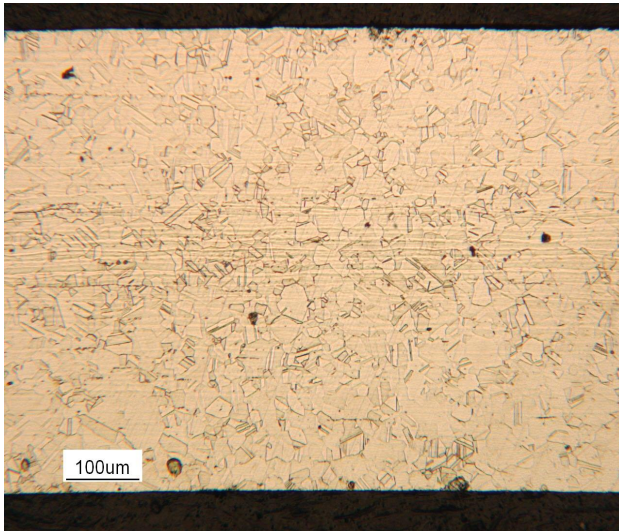


Fig. 5.2 – Micrografia longitudinale del campione a 20°C per 1 ora. a) 100x e b) 200x.

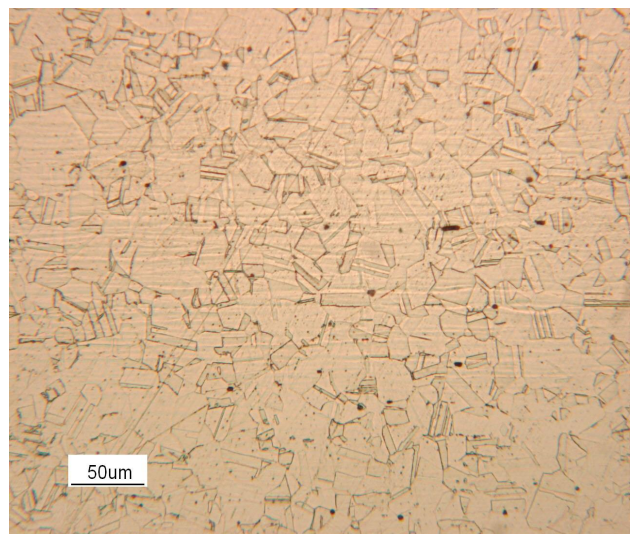
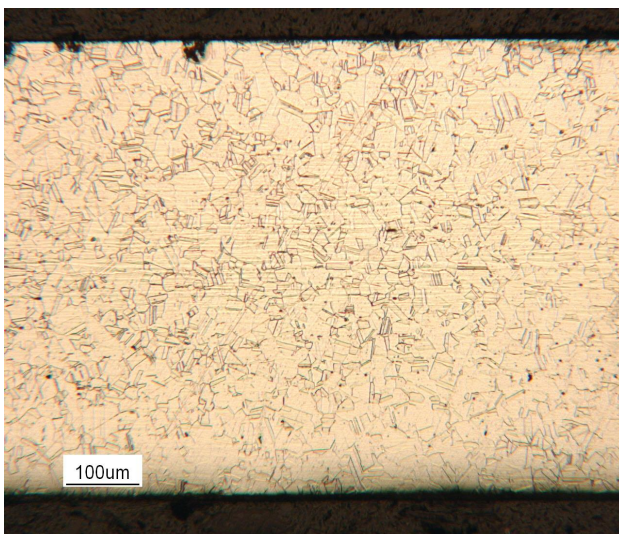


Fig. 5.3 – Micrografia trasversale del campione a 20°C per 1 ora. a) 100x e b) 200x.

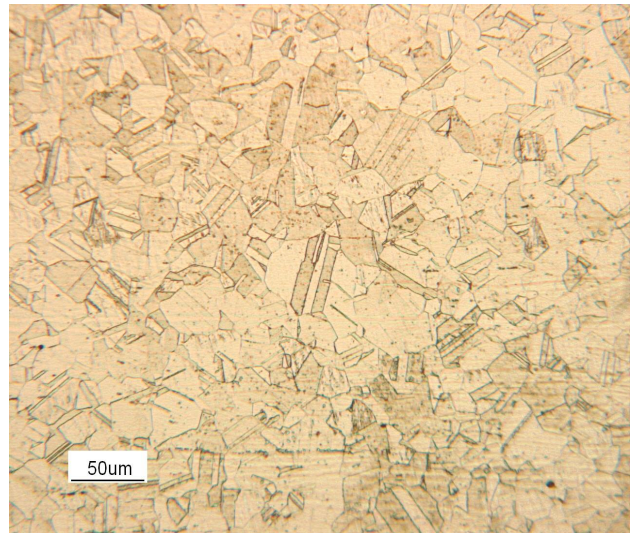
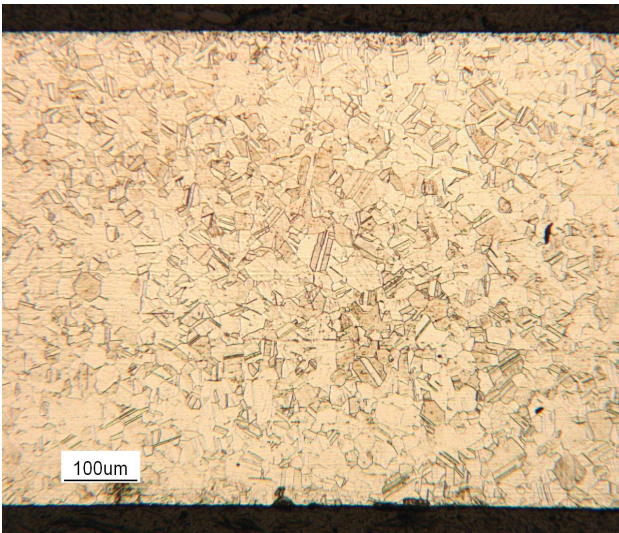


Fig. 5.4 – Micrografia longitudinale del campione a 150°C per 1 ora. a) 100x e b) 200x.

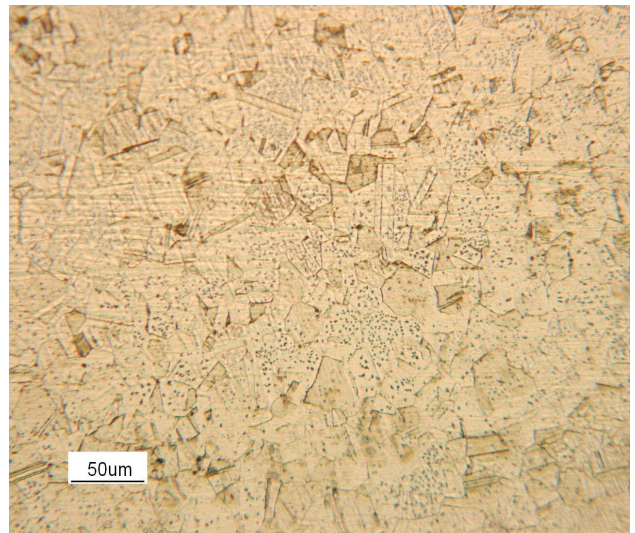
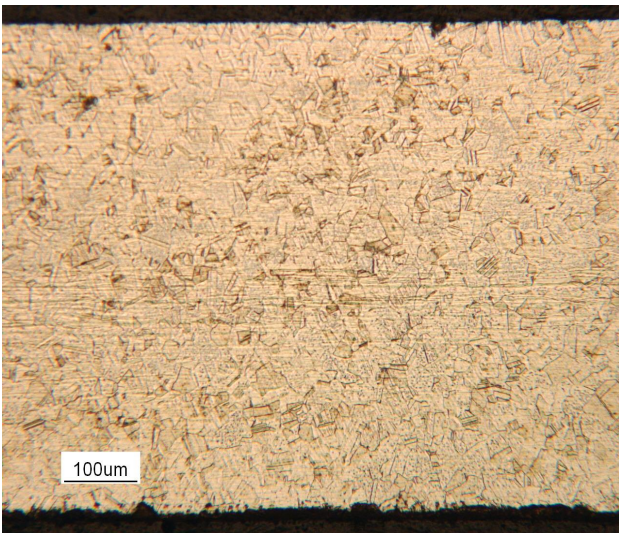


Fig. 5.5 – Micrografia trasversale del campione a 150°C per 1 ora. a) 100x e b) 200x.

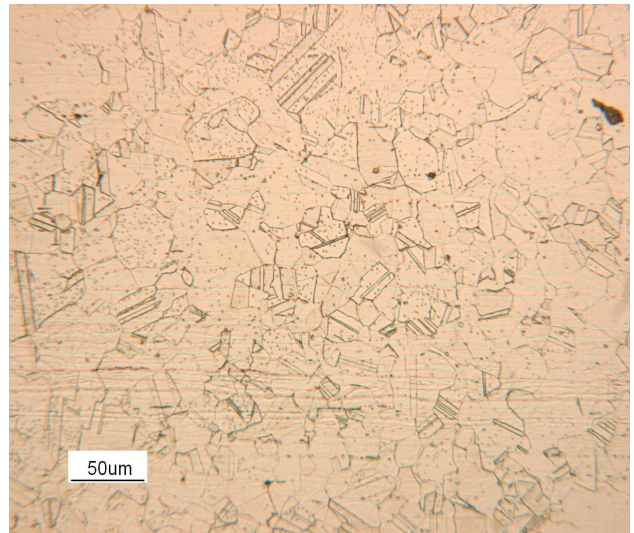
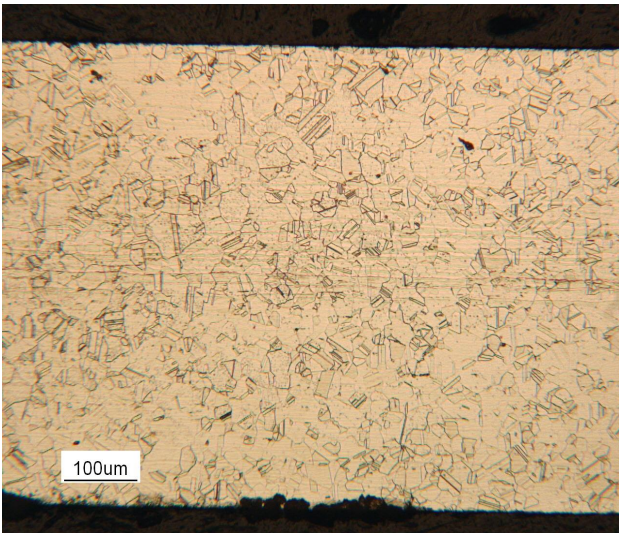


Fig. 5.6 – Micrografia longitudinale del campione a 225°C per 1 ora. a) 100x e b) 200x.

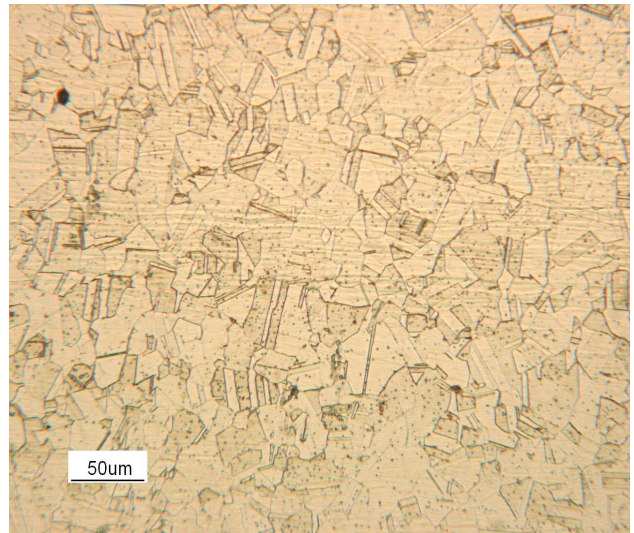
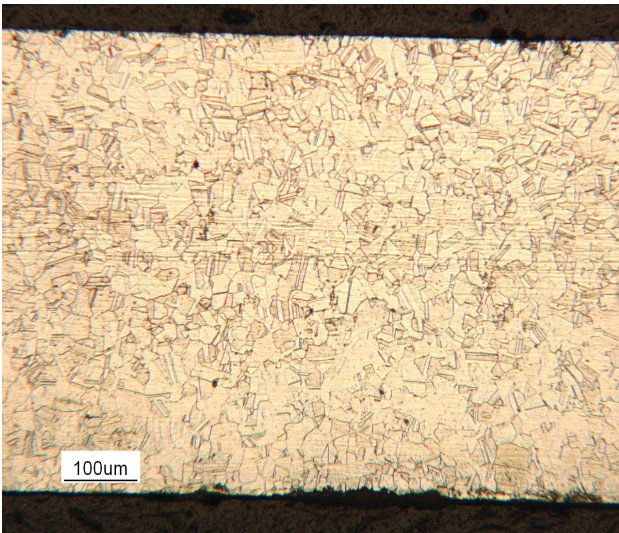


Fig. 5.7 – Micrografia trasversale del campione a 225°C per 1 ora. a) 100x e b) 200x.

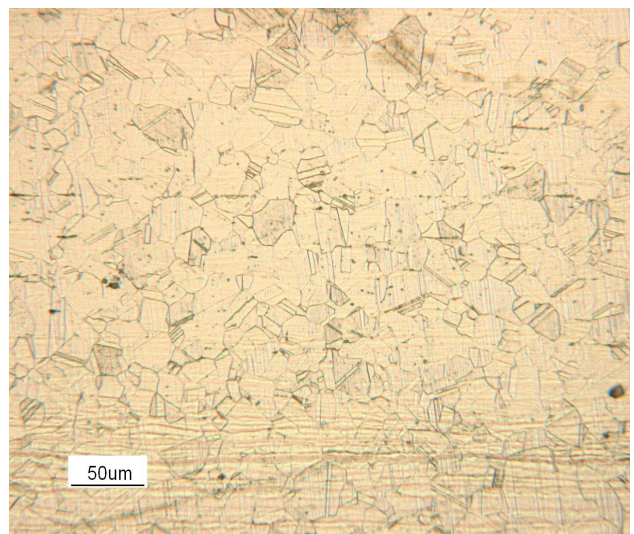
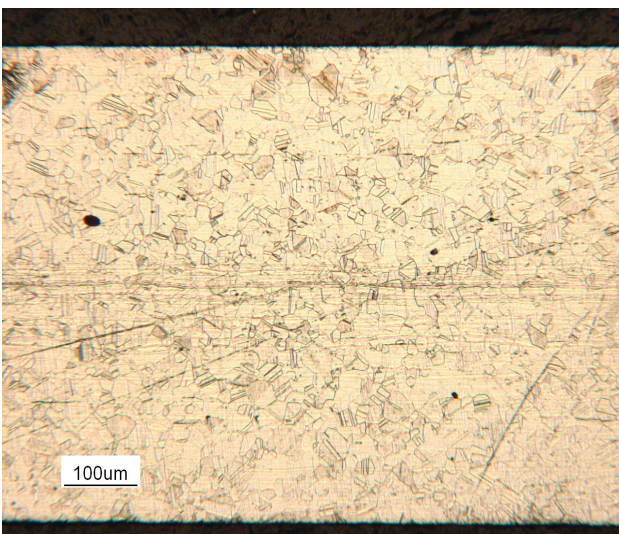


Fig. 5.8 – Micrografia longitudinale del campione a 300°C per 1 ora. a) 100x e b) 200x.

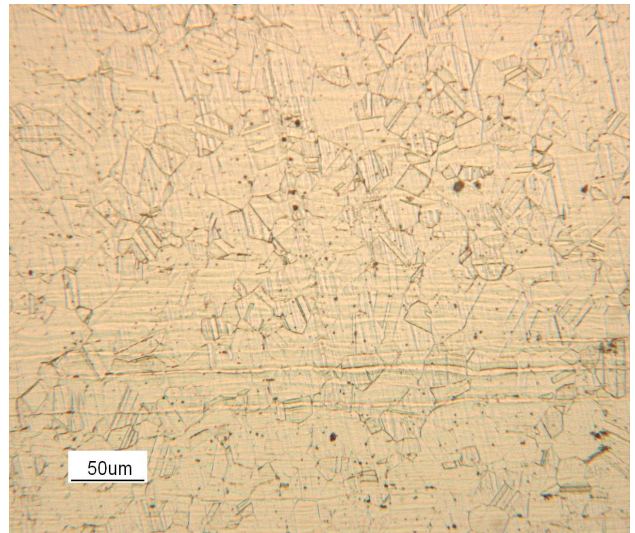
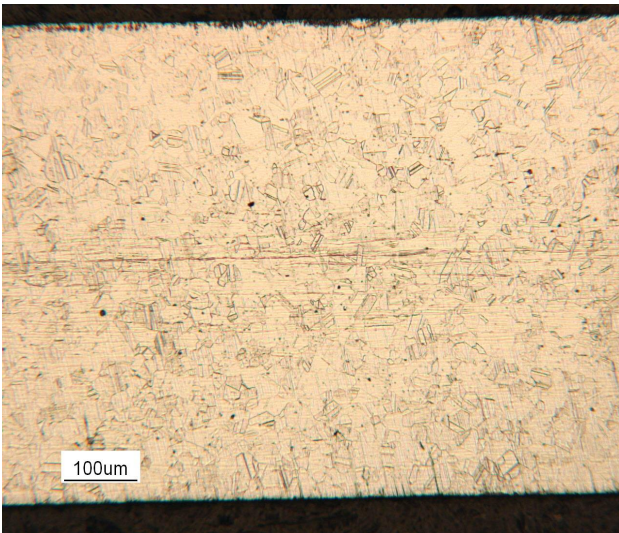


Fig. 5.9 – Micrografia trasversale del campione a 300°C per 1 ora. a) 100x e b) 200x.

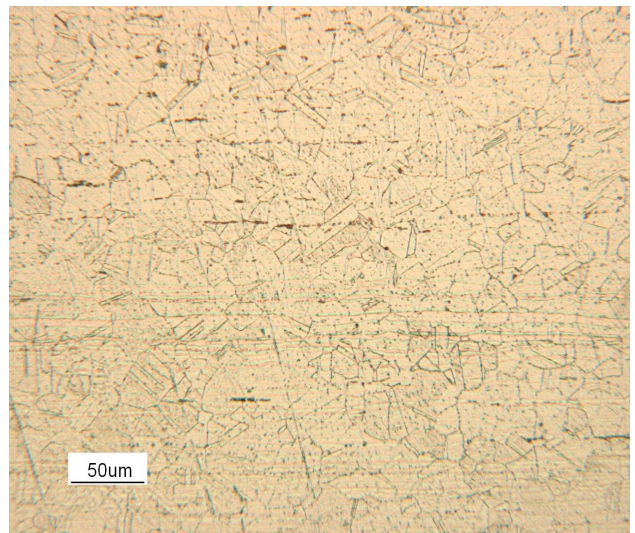
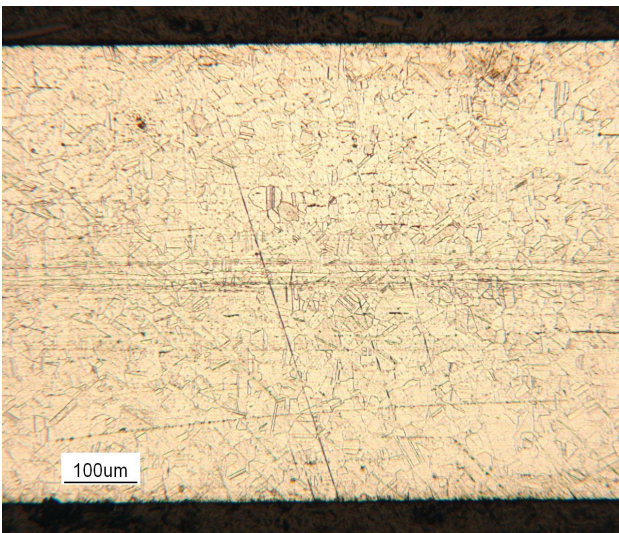


Fig. 5.10 – Micrografia longitudinale del campione a 340°C per 1 ora. a) 100x e b) 200x.

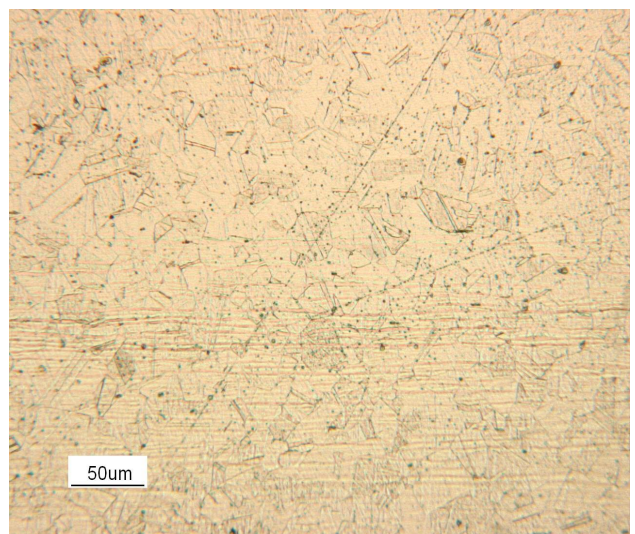
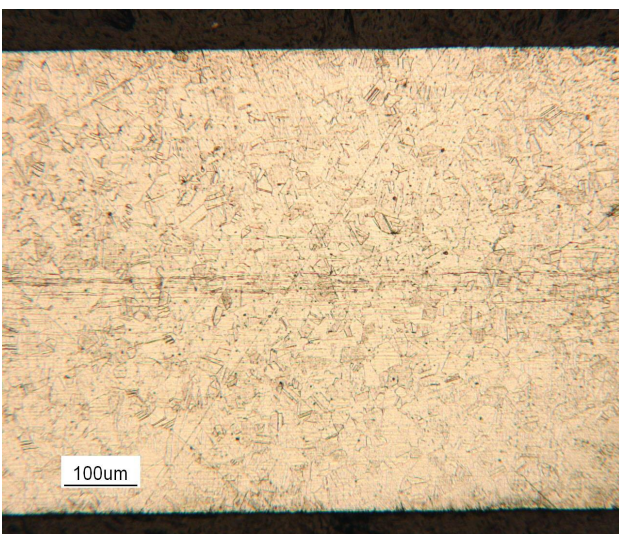


Fig. 5.11 – Micrografia trasversale del campione a 340°C per 1 ora. a) 100x e b) 200x.

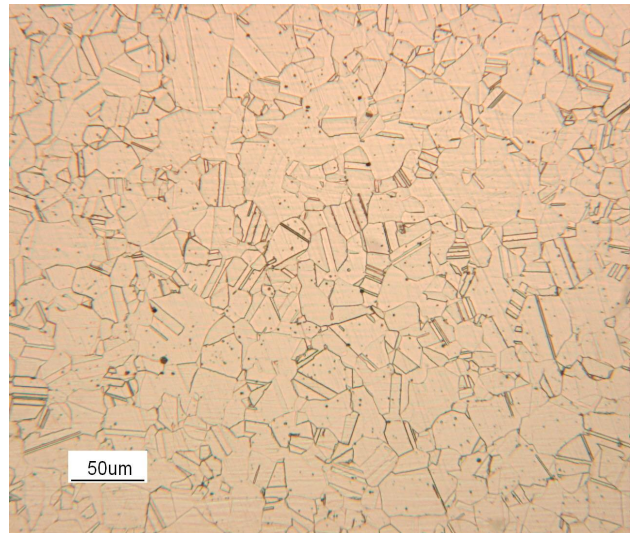
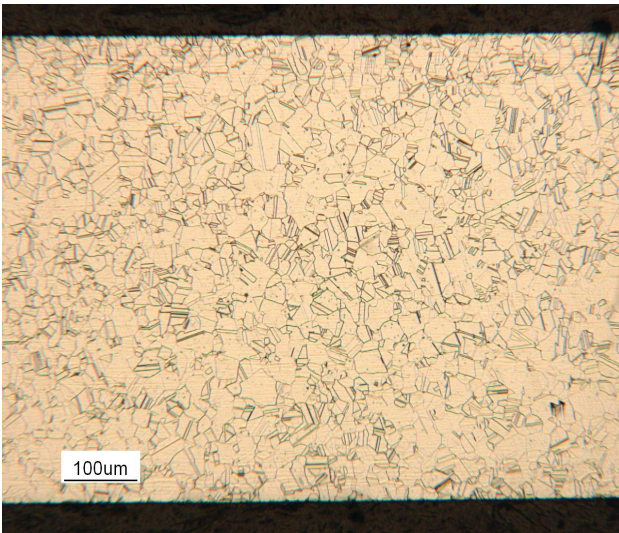


Fig. 5.12 – Micrografia longitudinale del campione a 375°C per 1 ora. a) 100x e b) 200x.

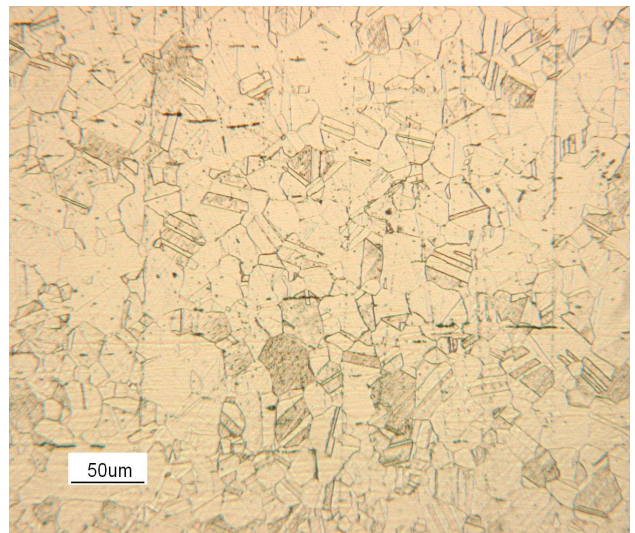
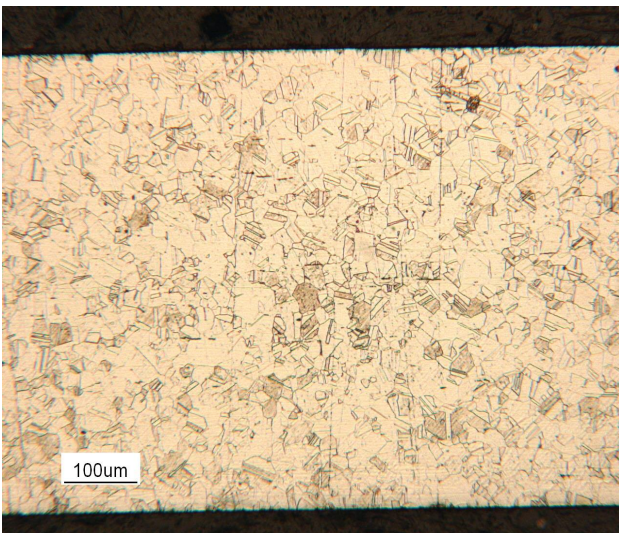


Fig. 5.13 – Micrografia trasversale del campione a 375°C per 1 ora. a) 100x e b) 200x.

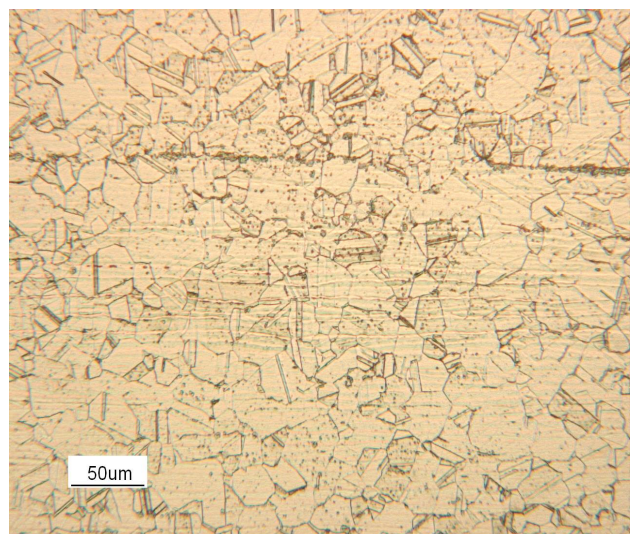
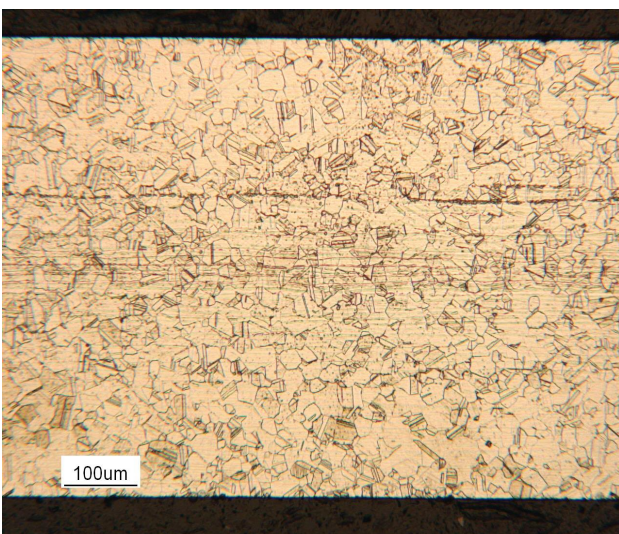


Fig. 5.14 – Micrografia longitudinale del campione a 415°C per 1 ora. a) 100x e b) 200x.

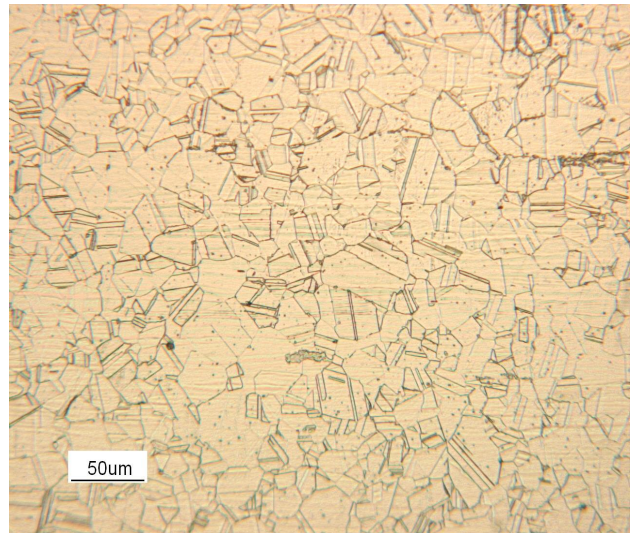
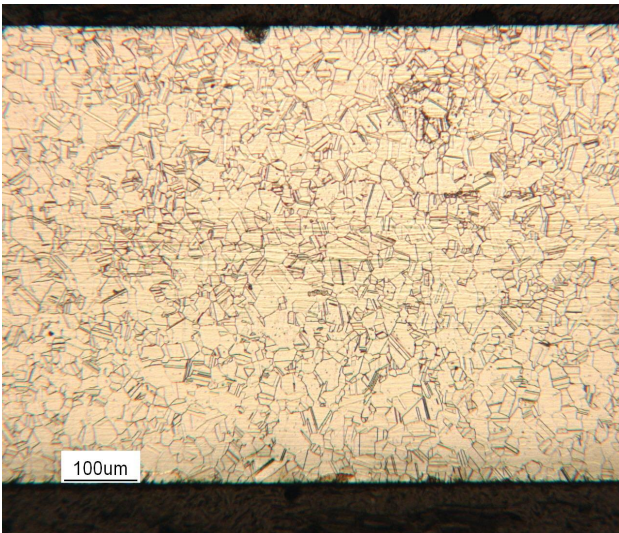


Fig. 5.15 – Micrografia trasversale del campione a 415°C per 1 ora. a) 100x e b) 200x.

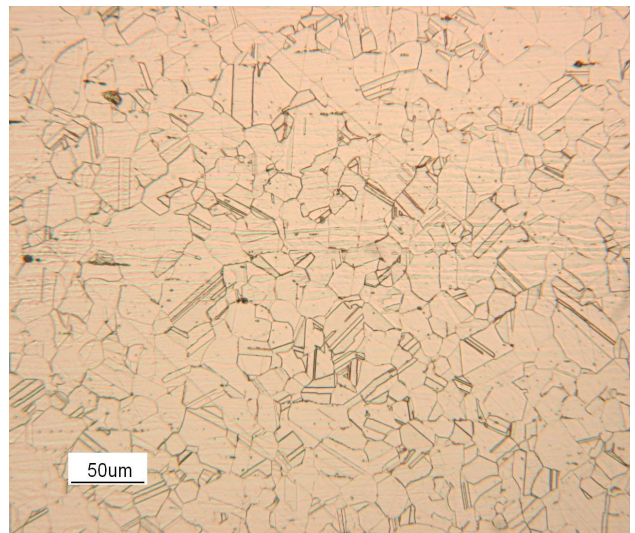
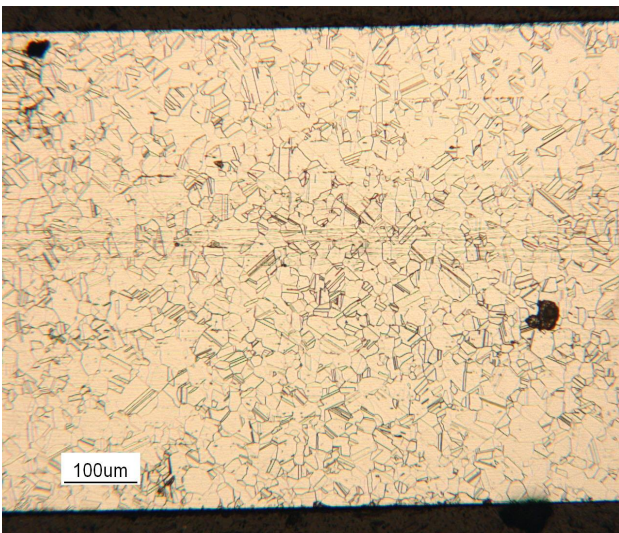


Fig. 5.16 – Micrografia longitudinale del campione a 450°C per 1 ora. a) 100x e b) 200x.

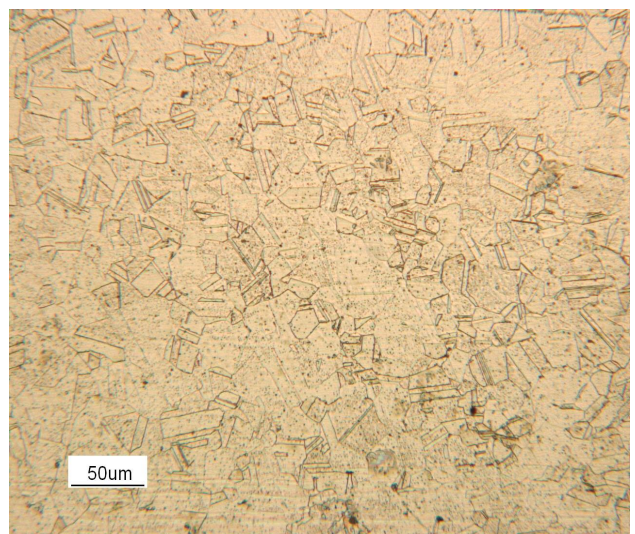
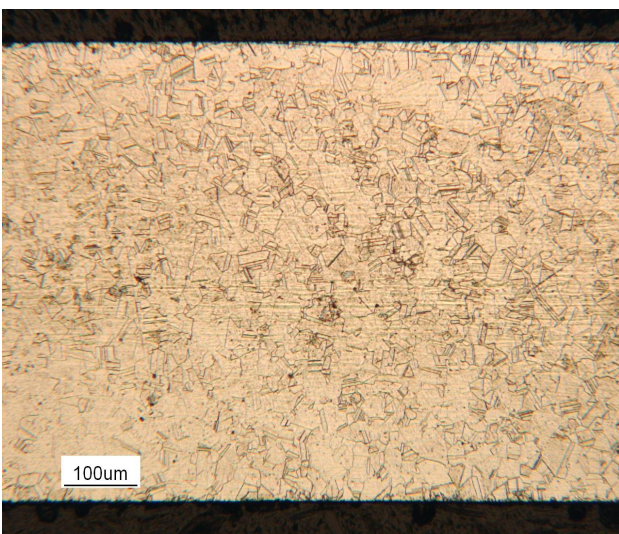


Fig. 5.17 – Micrografia trasversale del campione a 450°C per 1 ora. a) 100x e b) 200x.

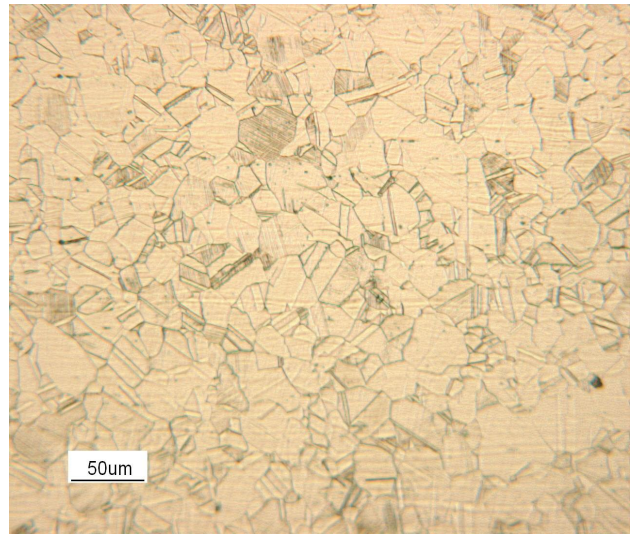
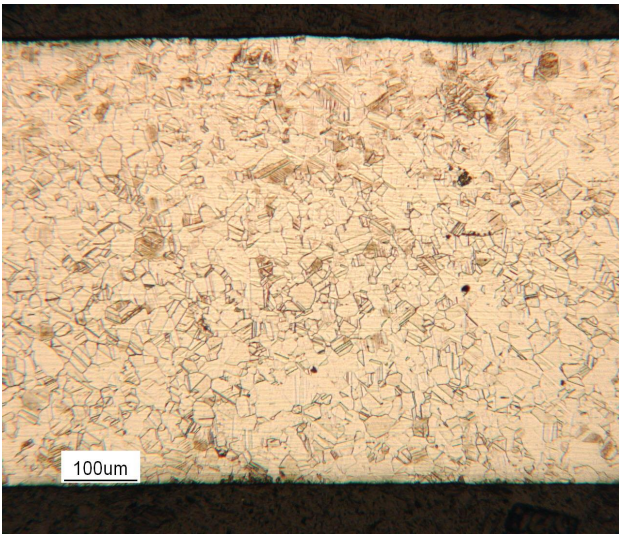


Fig. 5.18 – Micrografia longitudinale del campione a 525°C per 1 ora. a) 100x e b) 200x.

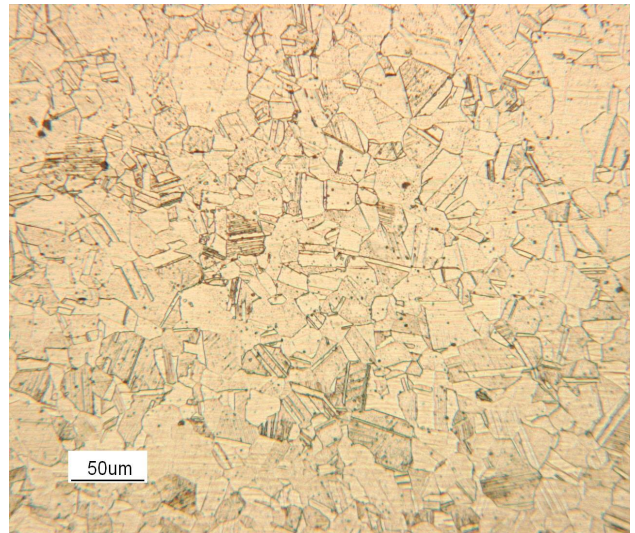
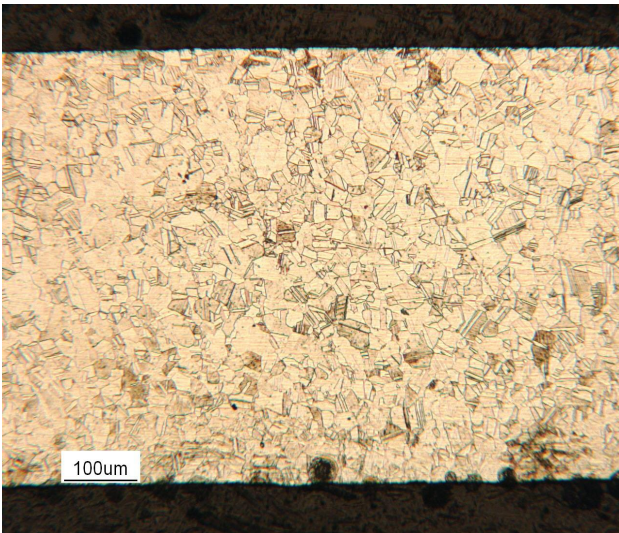


Fig. 5.19 – Micrografia trasversale del campione a 525°C per 1 ora. a) 100x e b) 200x.

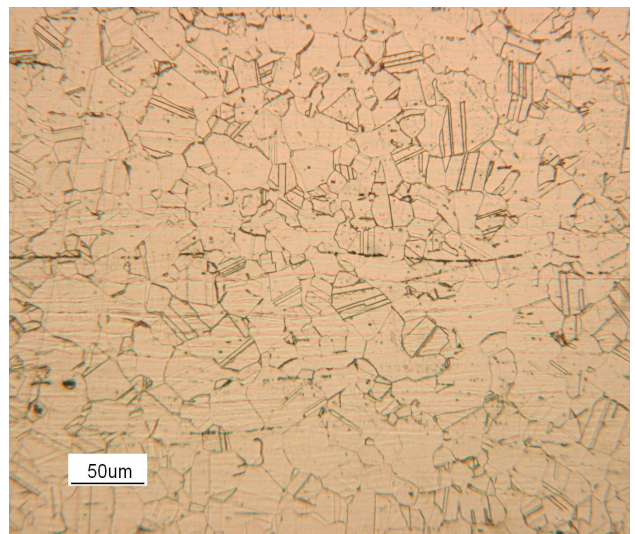
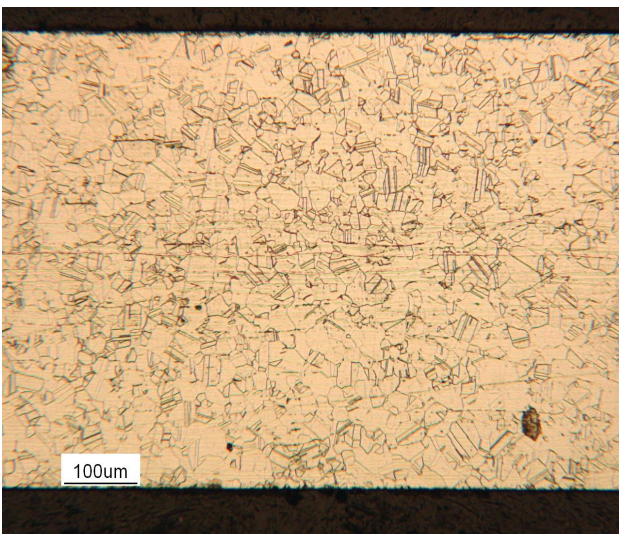


Fig. 5.20 – Micrografia longitudinale del campione a 600°C per 1 ora. a) 100x e b) 200x.

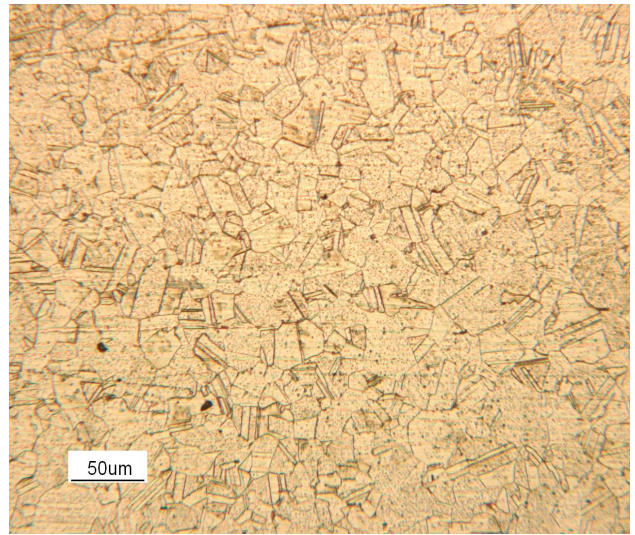
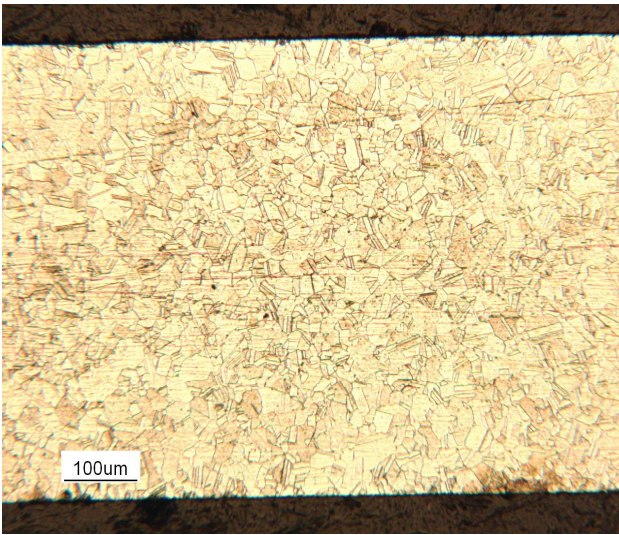


Fig. 5.21 – Micrografia trasversale del campione a 600°C per 1 ora. a) 100x e b) 200x.

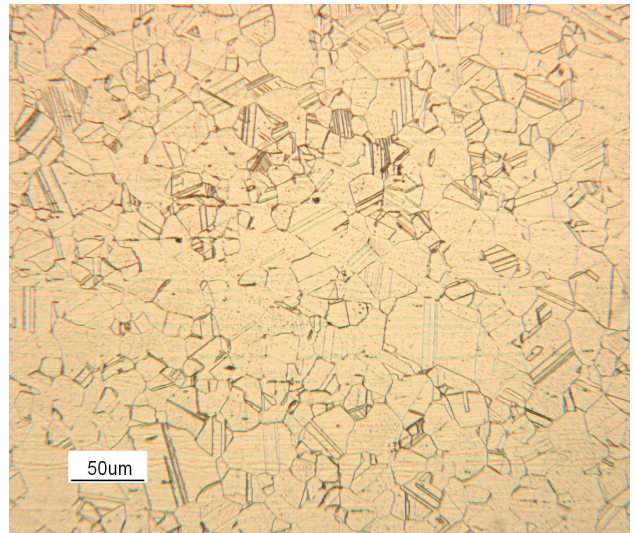
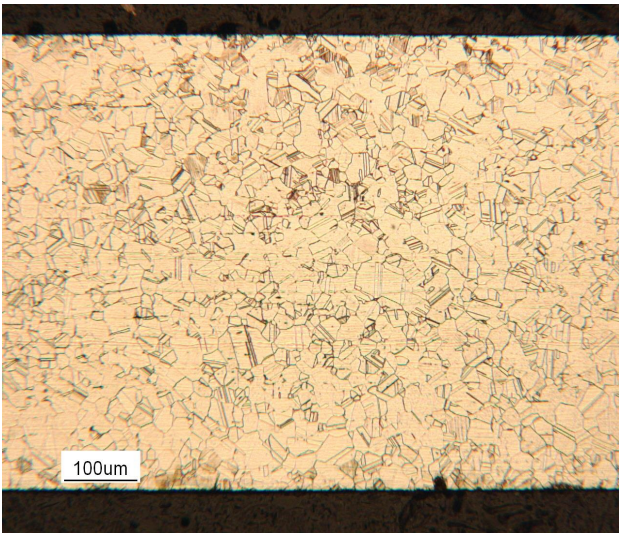


Fig. 5.22 – Micrografia longitudinale del campione a 750°C per 1 ora. a) 100x e b) 200x.

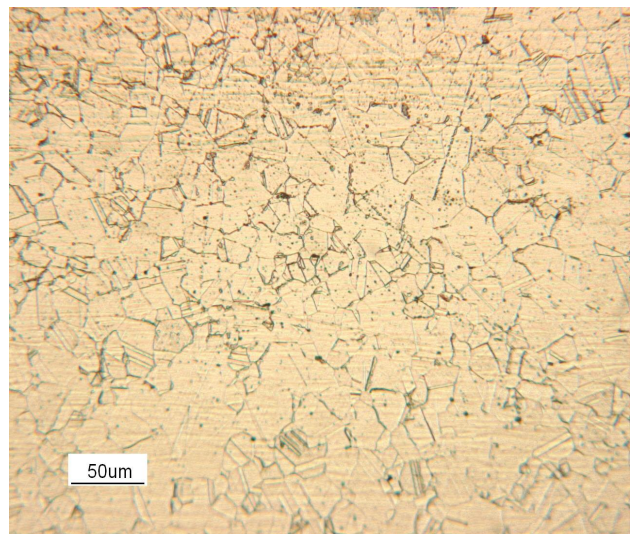
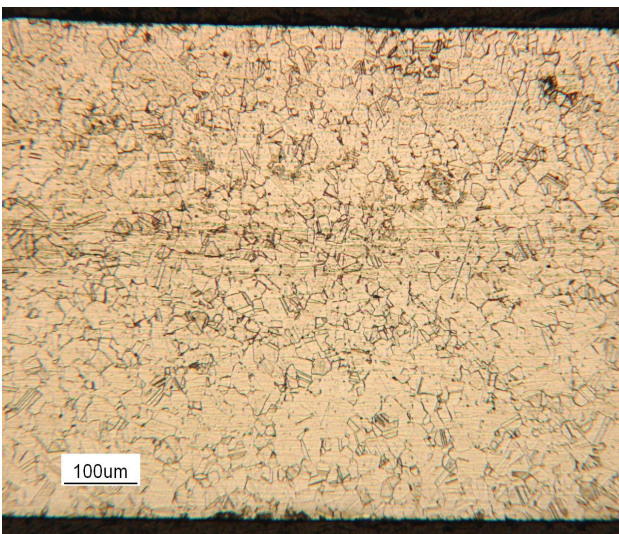


Fig. 5.23 – Micrografia trasversale del campione a 750°C per 1 ora. a) 100x e b) 200x.

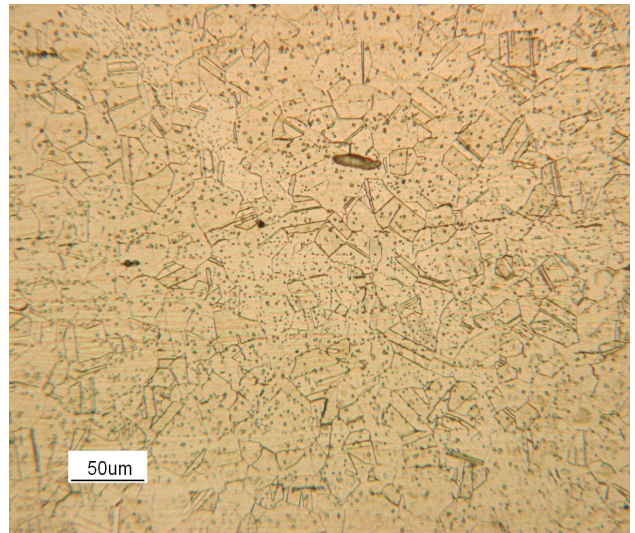
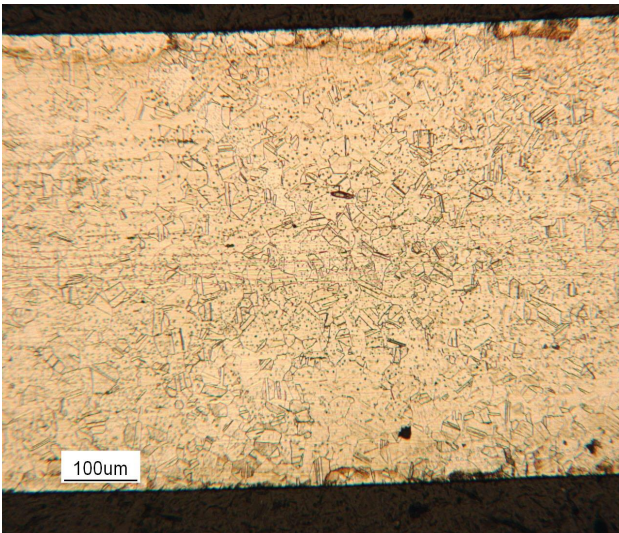


Fig. 5.24 – Micrografia longitudinale del campione a 900°C per 1 ora. a) 100x e b) 200x.

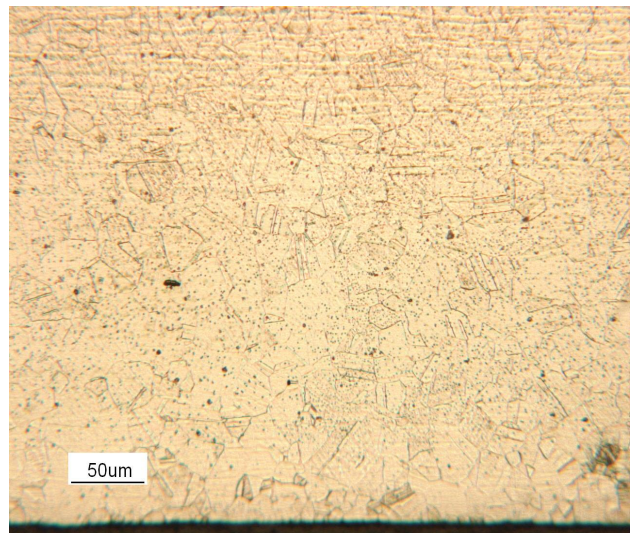
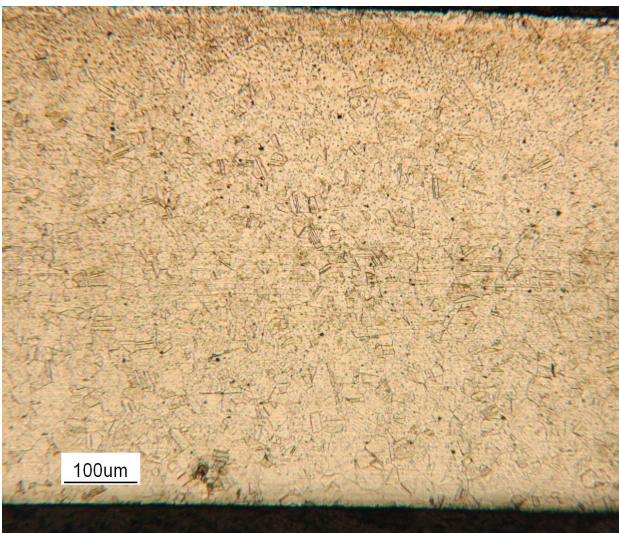


Fig. 5.25 – Micrografia trasversale del campione a 900°C per 1 ora. a) 100x e b) 200x.

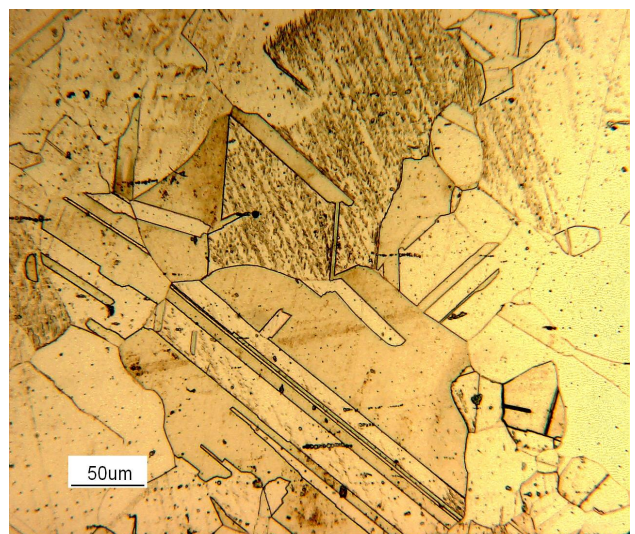
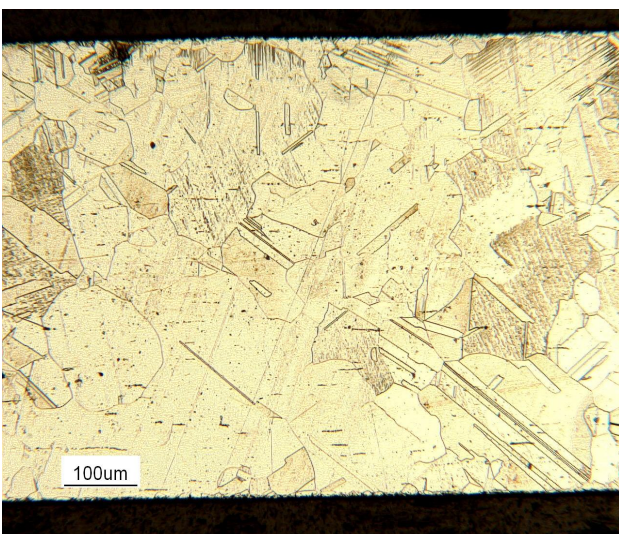


Fig. 5.26 – Micrografia longitudinale del campione a 1050°C per 1 ora. a) 100x e b) 200x.

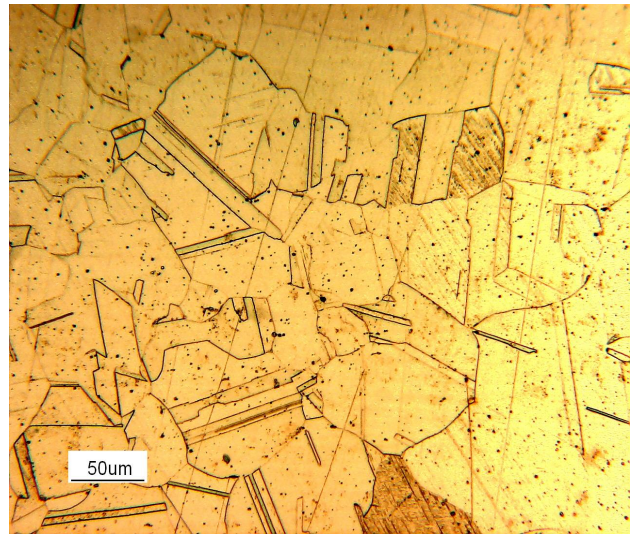


Fig. 5.27 – Micrografia trasversale del campione a 1050°C per 1 ora. a) 100x e b) 200x.

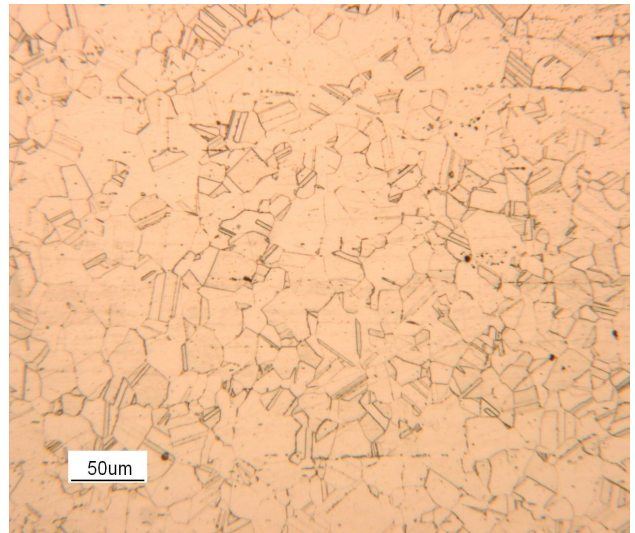
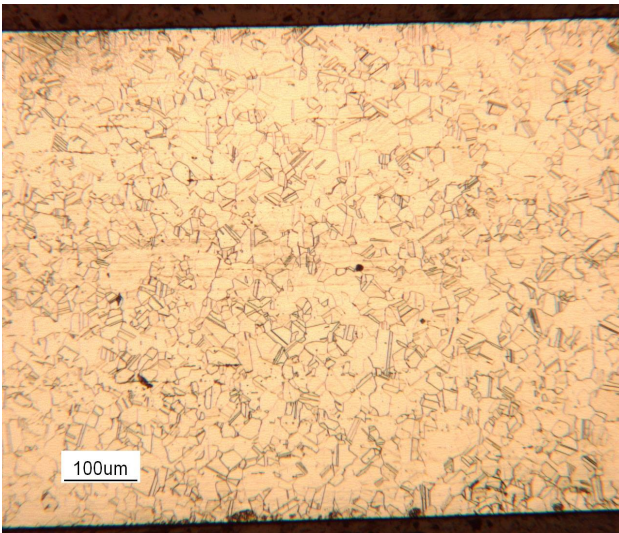


Fig. 5.28 – Micrografia longitudinale del campione a 20°C per 6 ore. a) 100x e b) 200x.

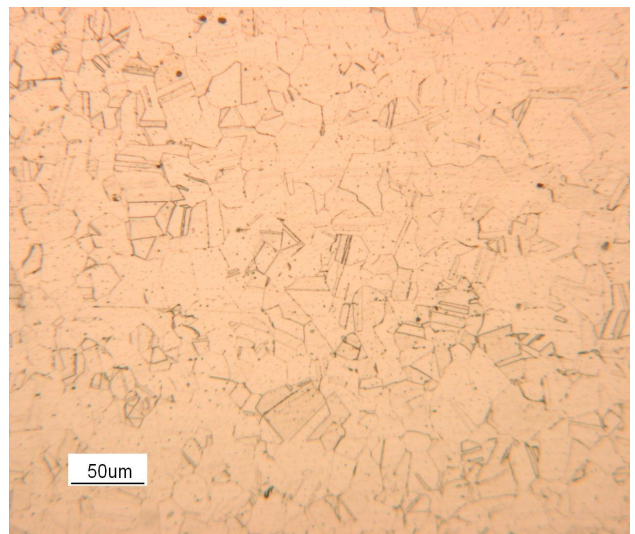
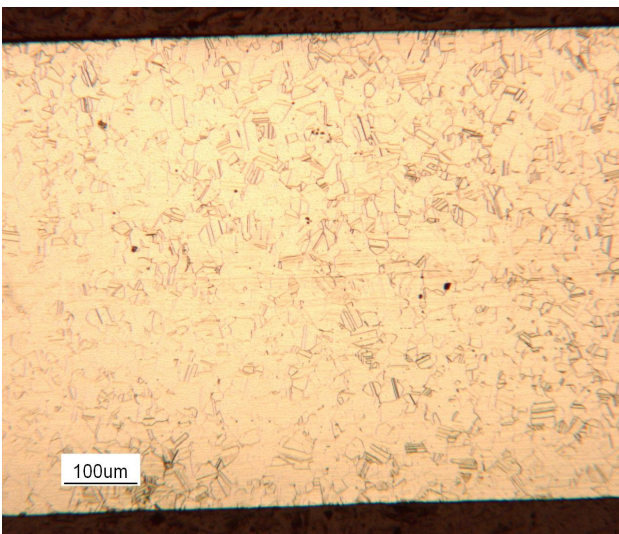


Fig. 5.29 – Micrografia trasversale del campione a 20°C per 6 ore. a) 100x e b) 200x.

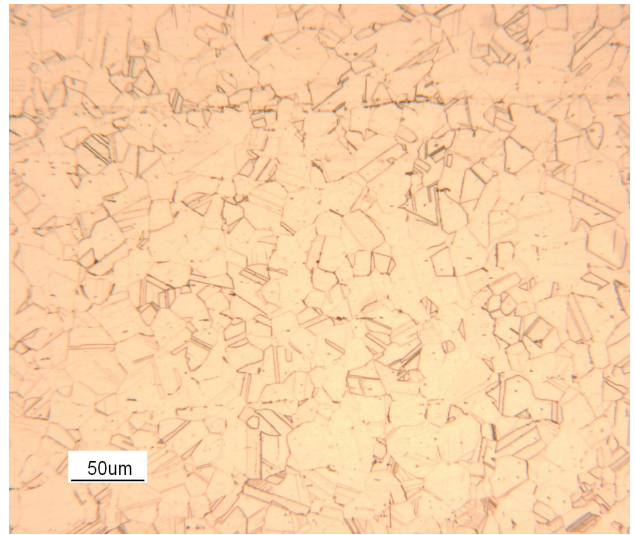
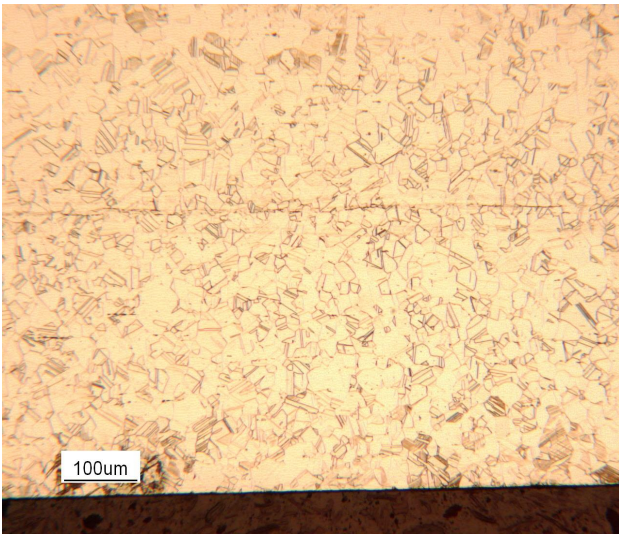


Fig. 5.30 – Micrografia longitudinale del campione a 150°C per 6 ore. a) 100x e b) 200x.

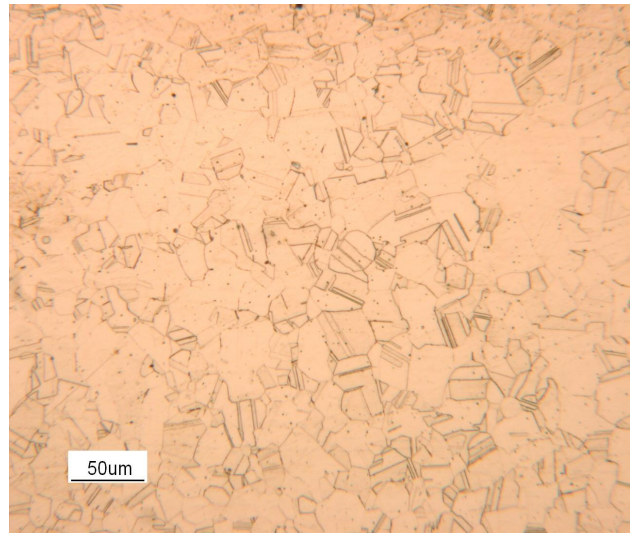
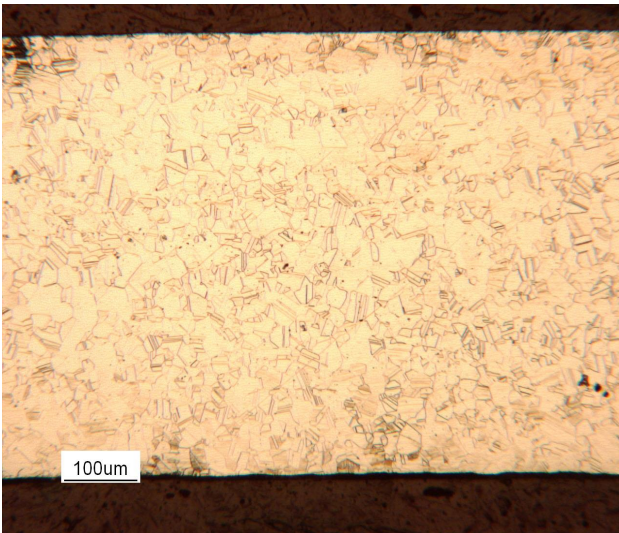


Fig. 5.31 – Micrografia trasversale del campione a 150°C per 6 ore. a) 100x e b) 200x.

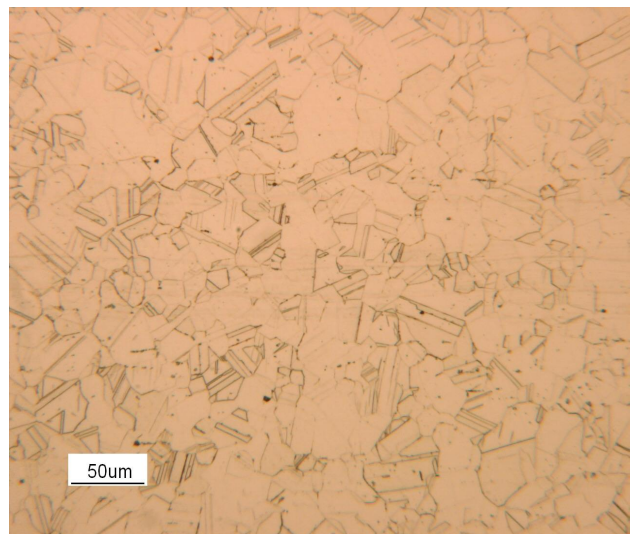
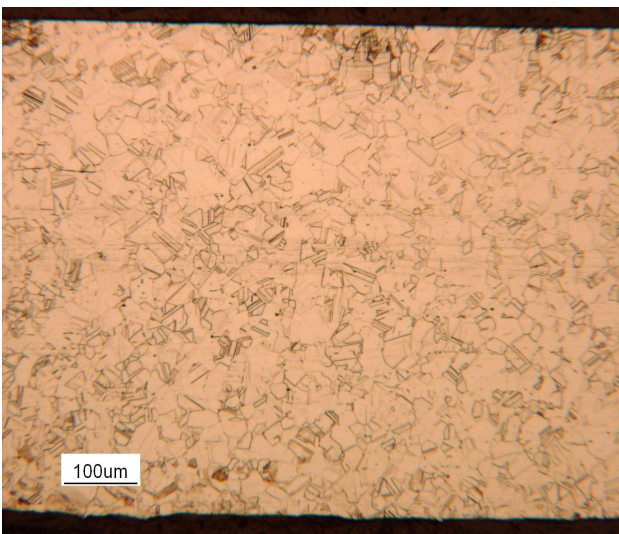


Fig. 5.32 – Micrografia longitudinale del campione a 225°C per 6 ore. a) 100x e b) 200x.

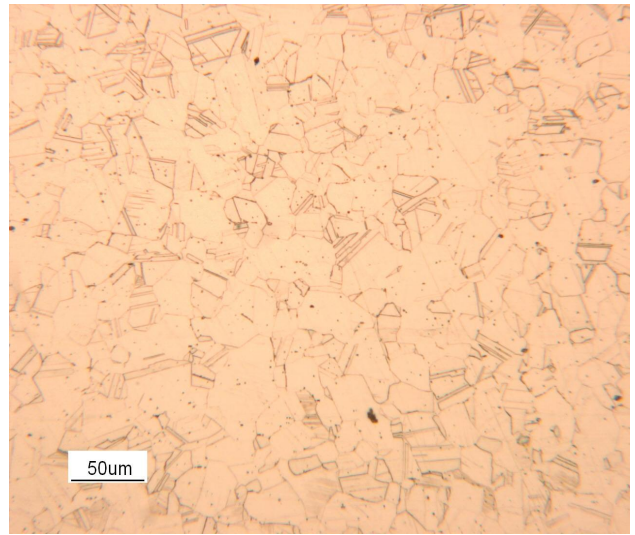
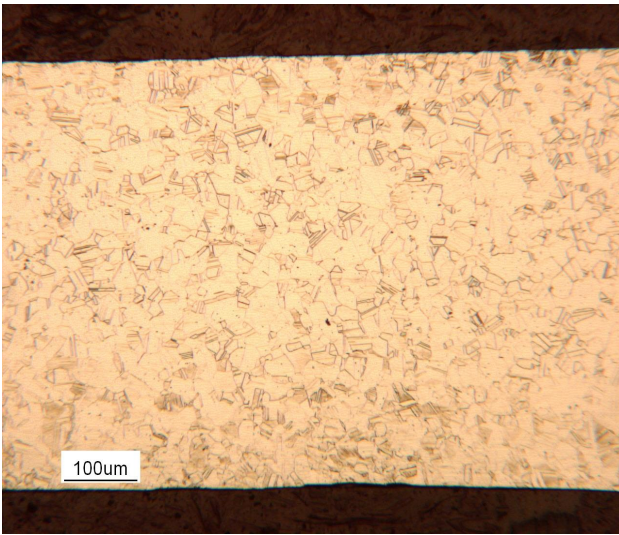


Fig. 5.33 – Micrografia trasversale del campione a 225°C per 6 ore. a) 100x e b) 200x.

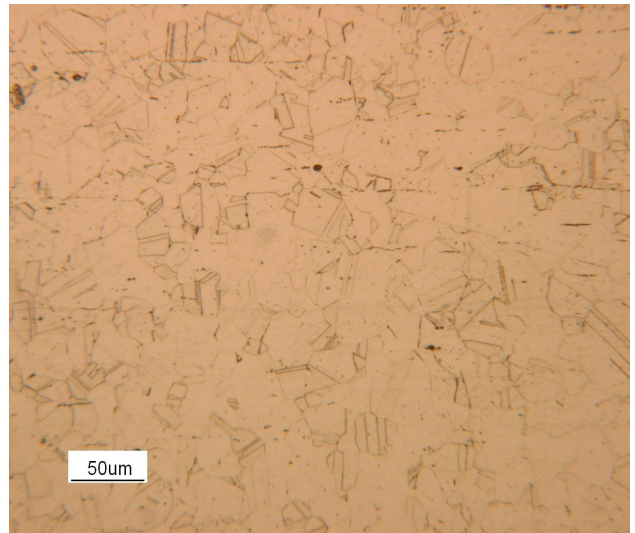
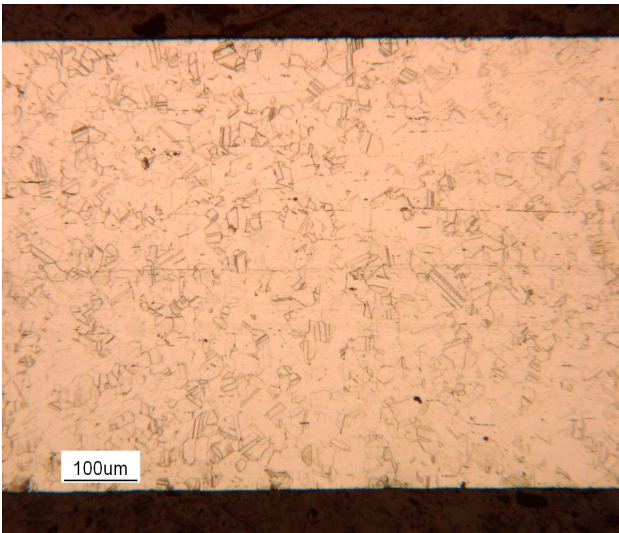


Fig. 5.34 – Micrografia longitudinale del campione a 300°C per 6 ore. a) 100x e b) 200x.

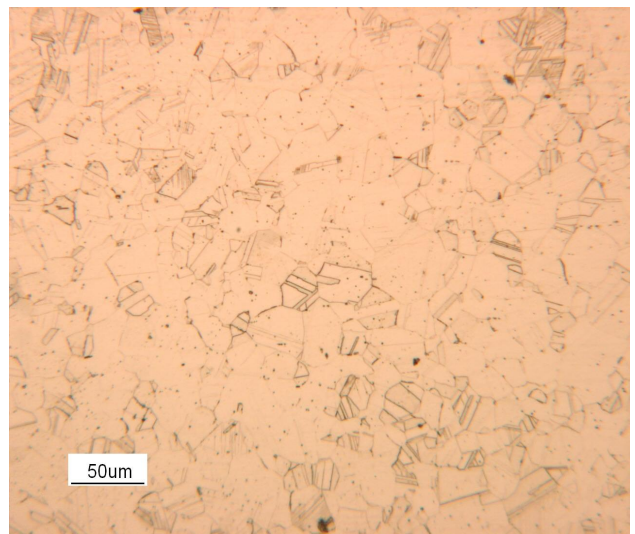
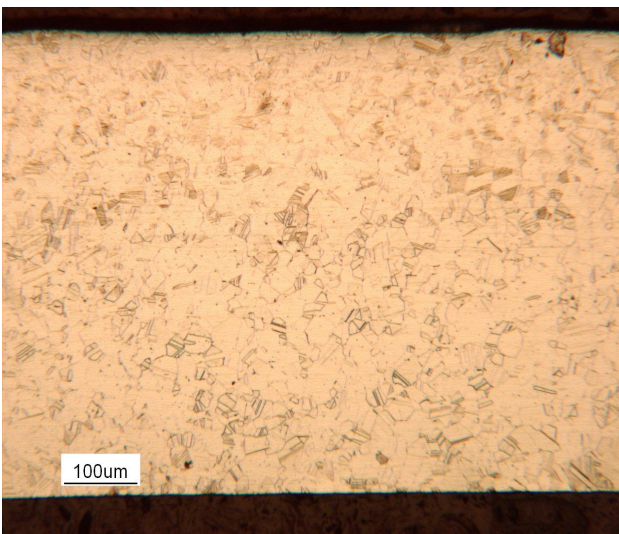


Fig. 5.35 – Micrografia trasversale del campione a 300°C per 6 ore. a) 100x e b) 200x.

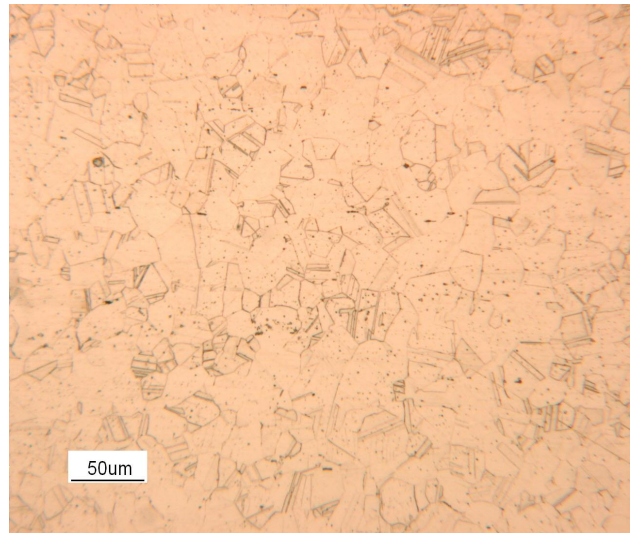
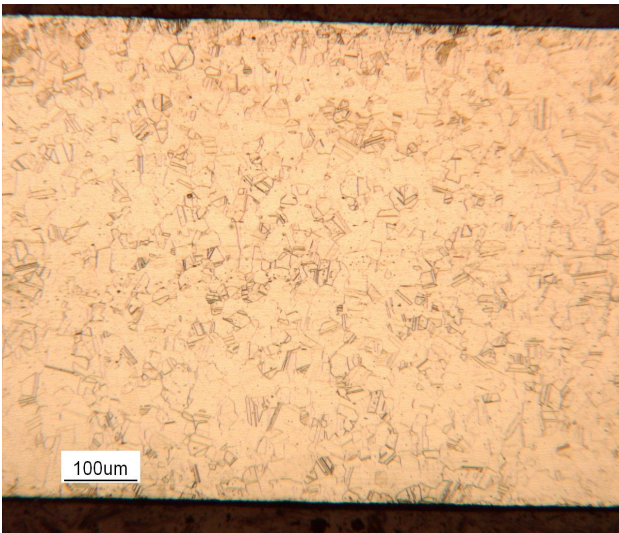


Fig. 5.36 – Micrografia longitudinale del campione a 340°C per 6 ore. a) 100x e b) 200x.

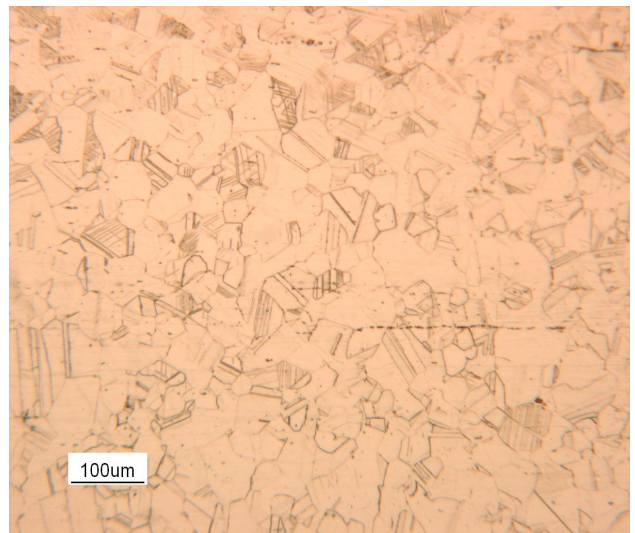
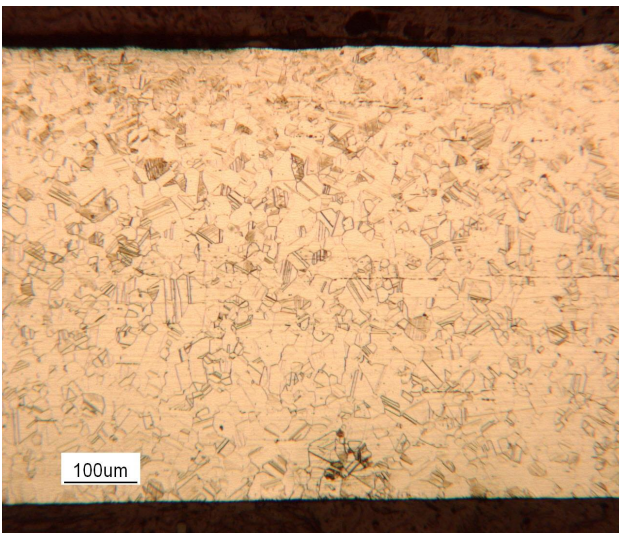


Fig. 5.37 – Micrografia trasversale del campione a 340°C per 6 ore. a) 100x e b) 200x.

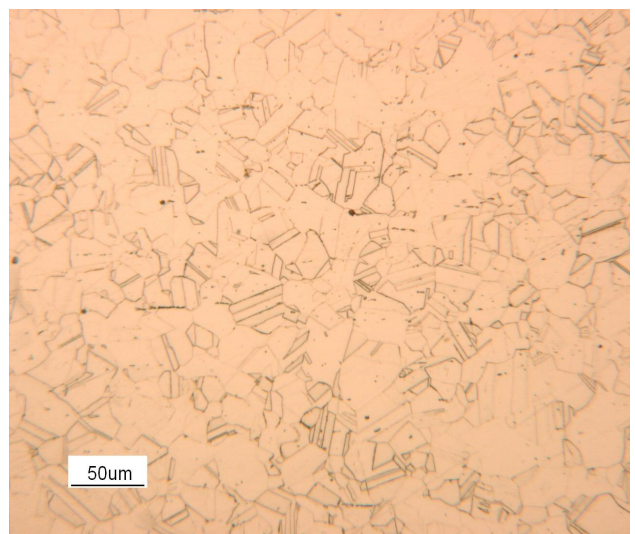
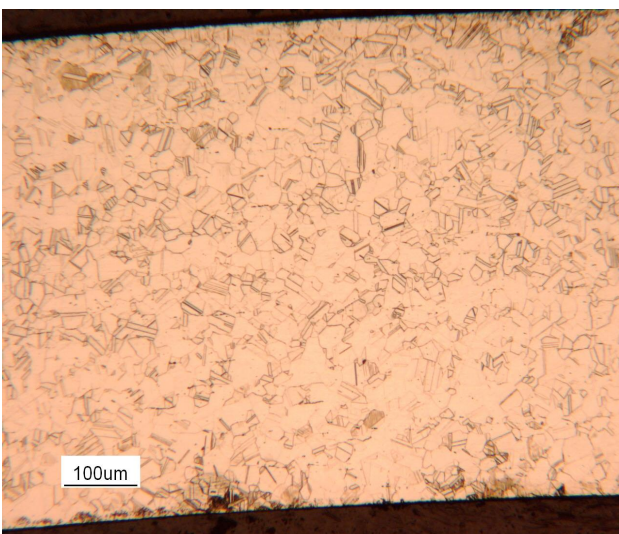


Fig. 5.38 – Micrografia longitudinale del campione a 375°C per 6 ore. a) 100x e b) 200x.

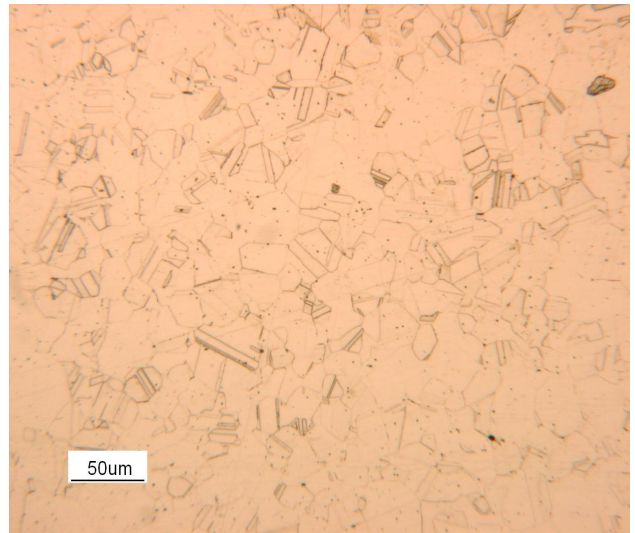
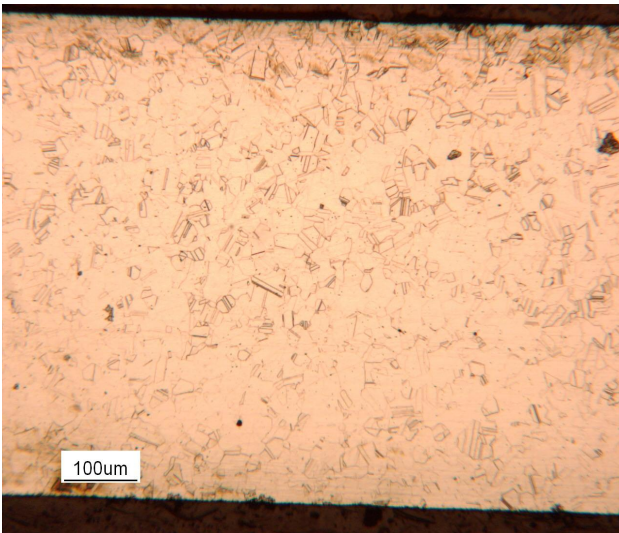


Fig. 5.39 – Micrografia trasversale del campione a 375°C per 6 ore. a) 100x e b) 200x.

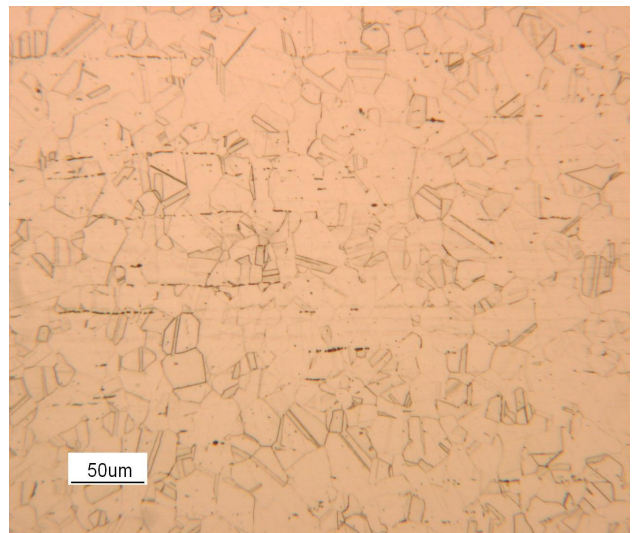
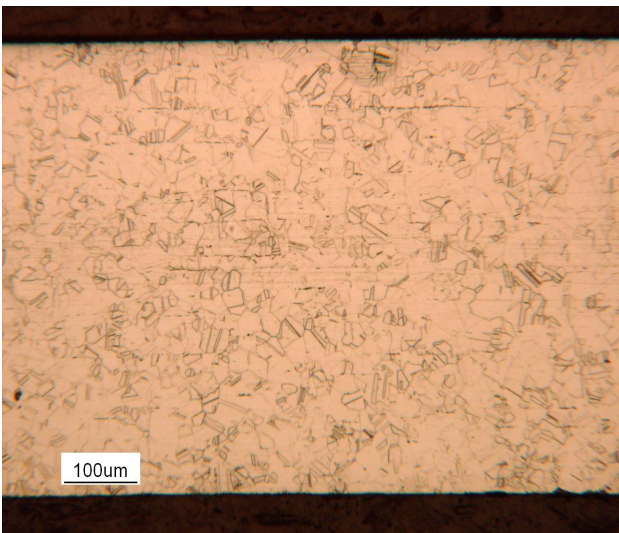


Fig. 5.40 – Micrografia longitudinale del campione a 415°C per 6 ore. a) 100x e b) 200x.

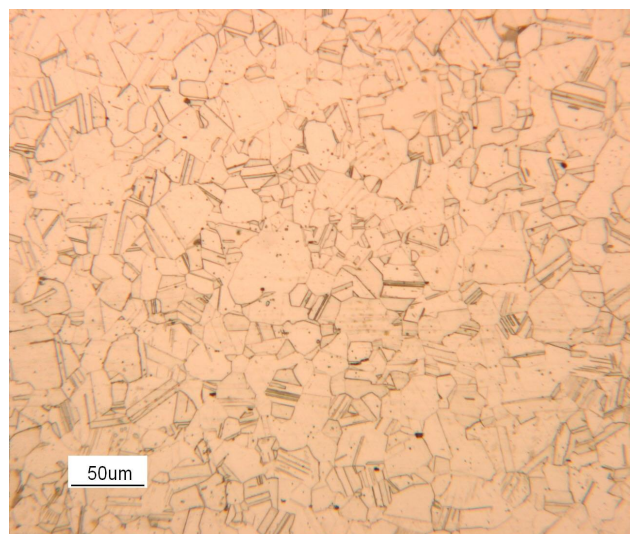
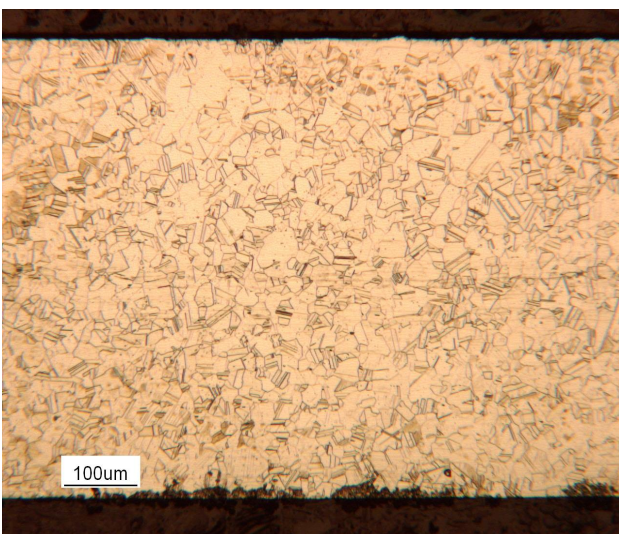


Fig. 5.41 – Micrografia trasversale del campione a 415°C per 6 ore. a) 100x e b) 200x.

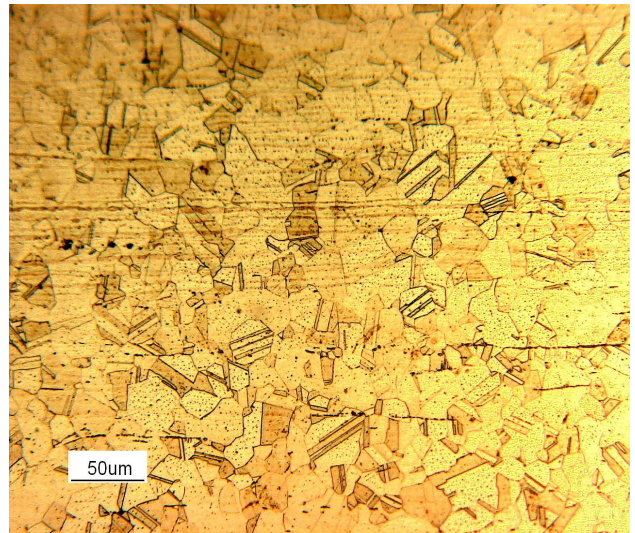
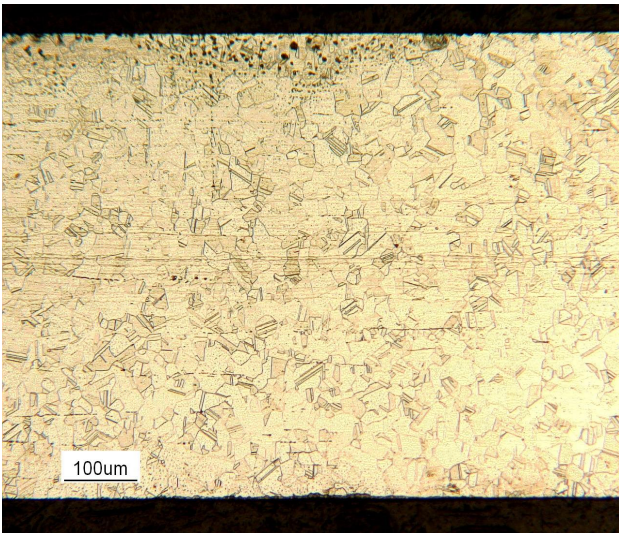


Fig. 5.42 – Micrografia longitudinale del campione a 450°C per 6 ore. a) 100x e b) 200x.

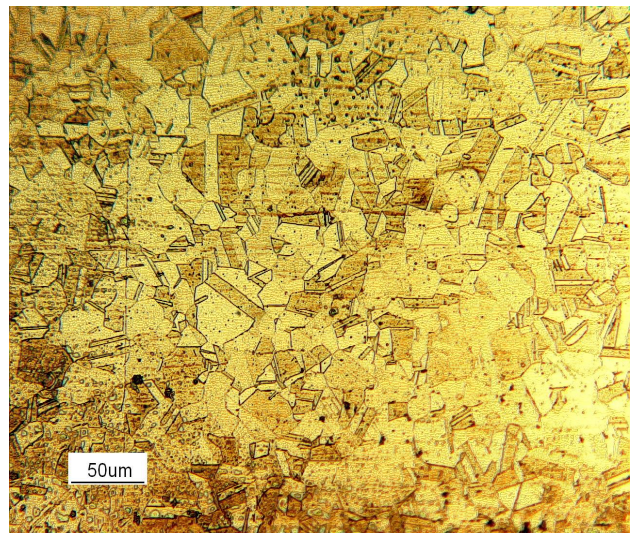
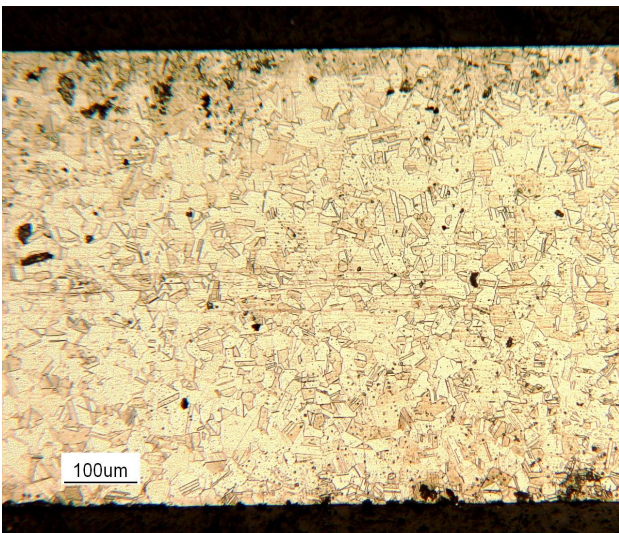


Fig. 5.43 – Micrografia trasversale del campione a 450°C per 6 ore. a) 100x e b) 200x.

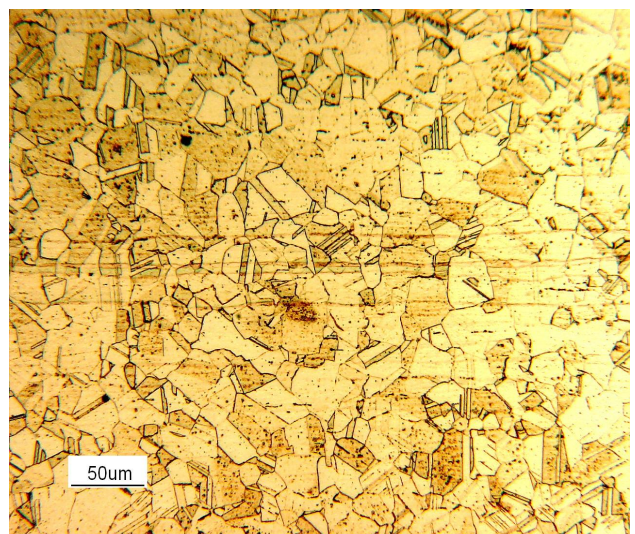
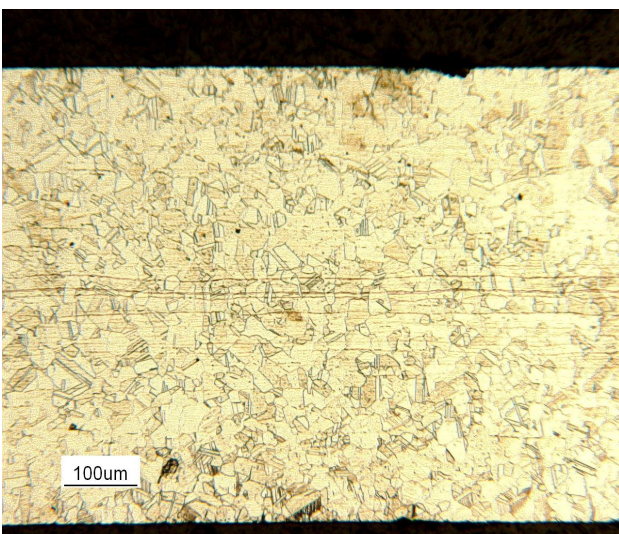


Fig. 5.44 – Micrografia longitudinale del campione a 525°C per 6 ore. a) 100x e b) 200x.

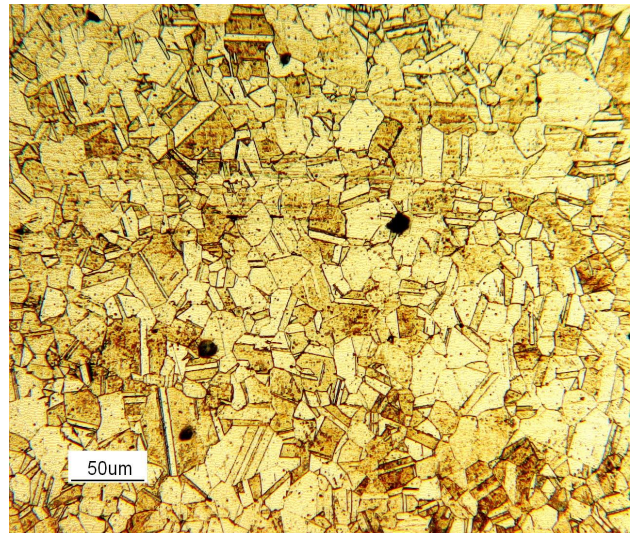
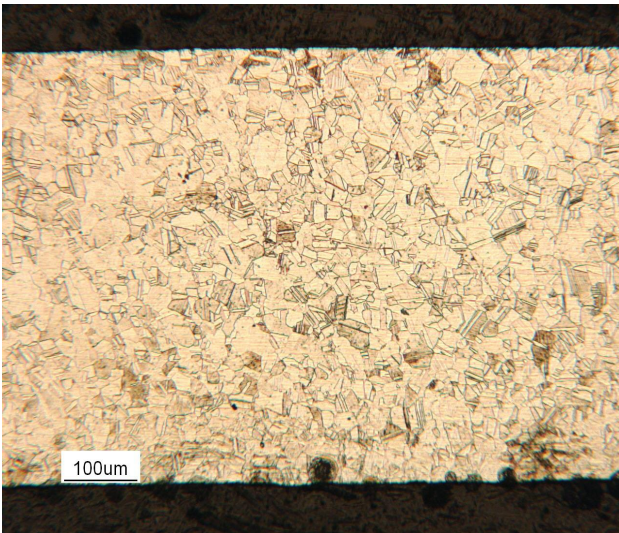


Fig. 5.45 – Micrografia trasversale del campione a 525°C per 6 ore. a) 100x e b) 200x.

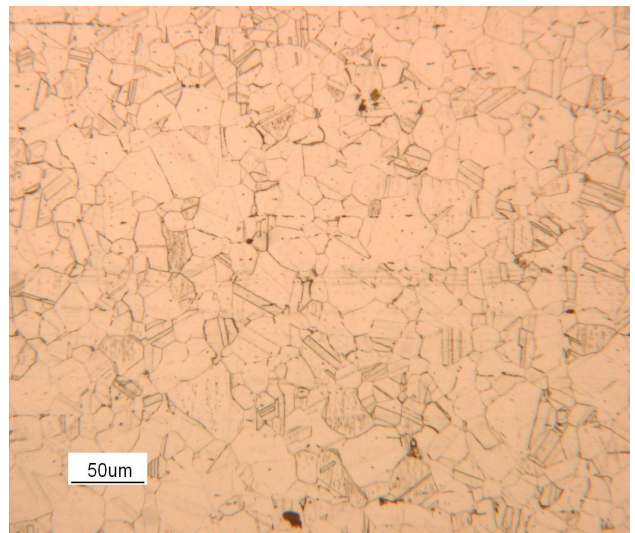
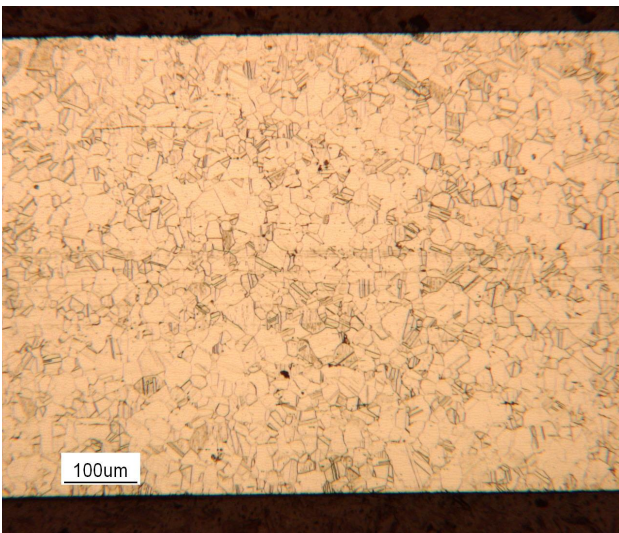


Fig. 5.46 – Micrografia longitudinale del campione a 600°C per 6 ore. a) 100x e b) 200x.

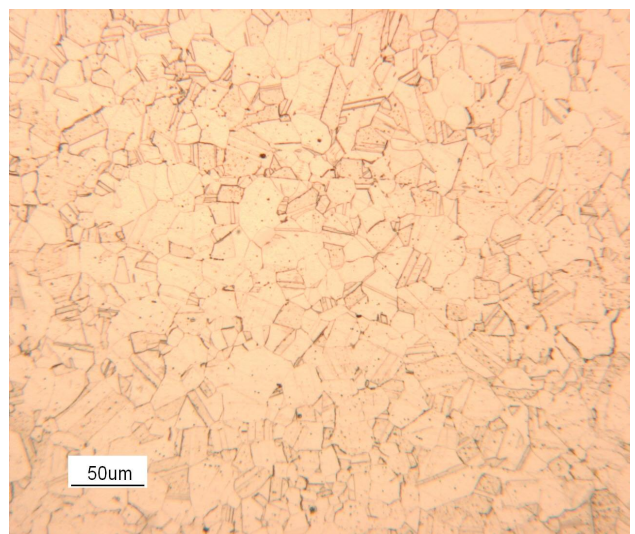
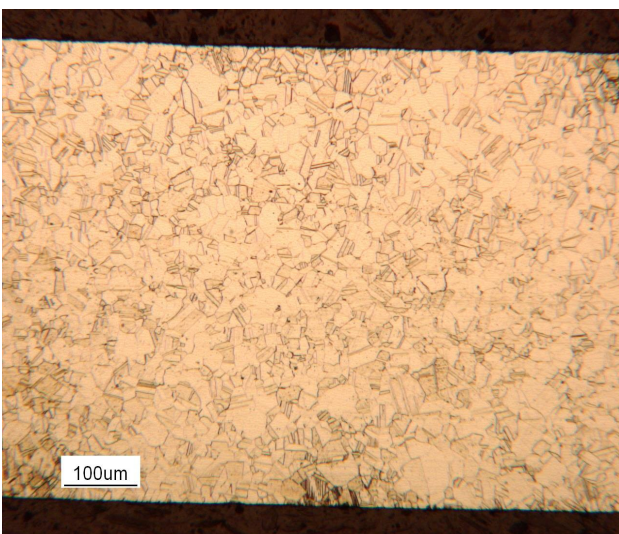


Fig. 5.47 – Micrografia trasversale del campione a 600°C per 6 ore. a) 100x e b) 200x.

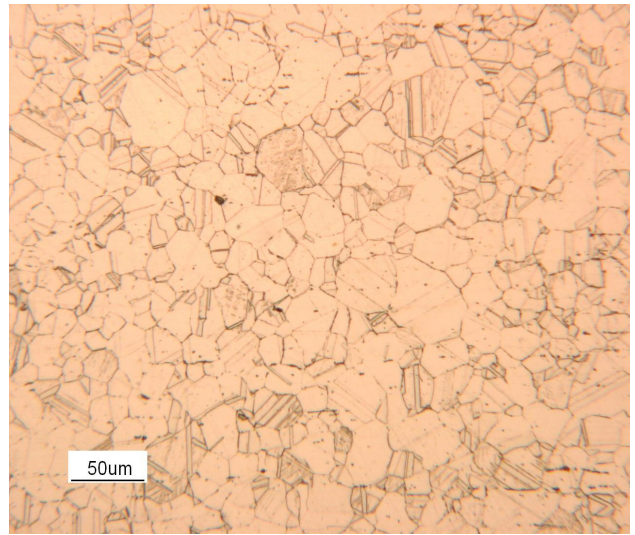
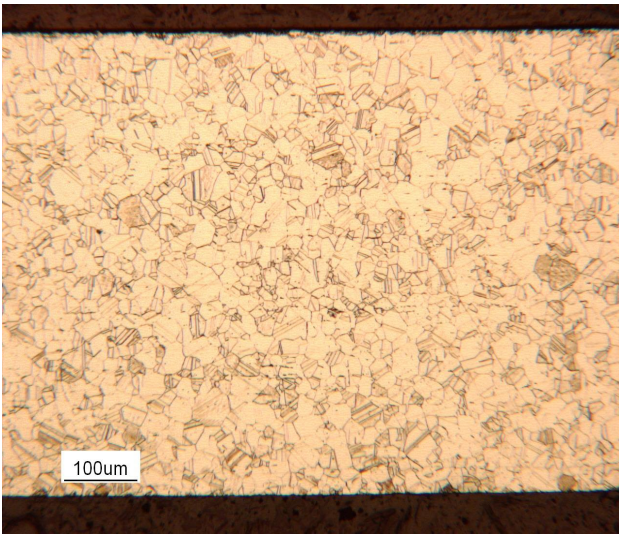


Fig. 5.48 – Micrografia longitudinale del campione a 750°C per 6 ore. a) 100x e b) 200x.

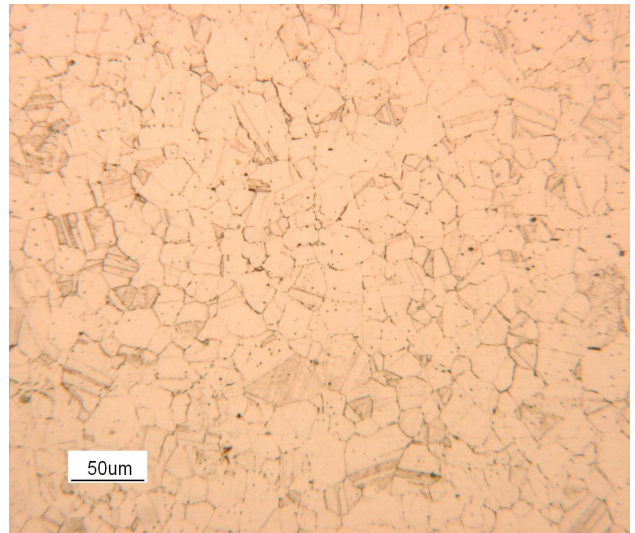
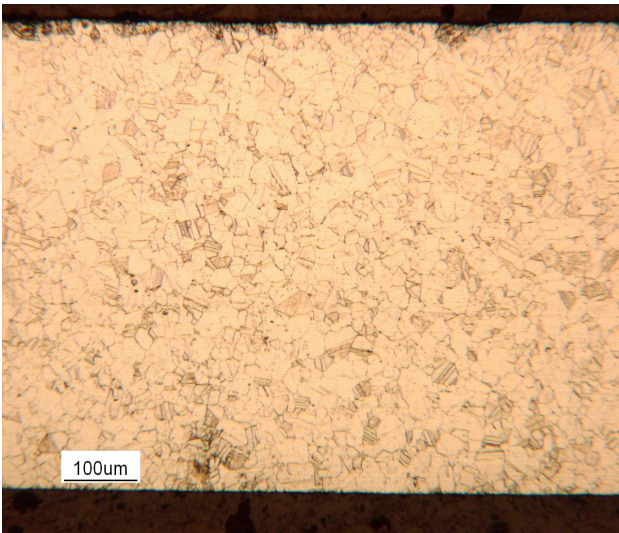


Fig. 5.49 – Micrografia trasversale del campione a 750°C per 6 ore. a) 100x e b) 200x.

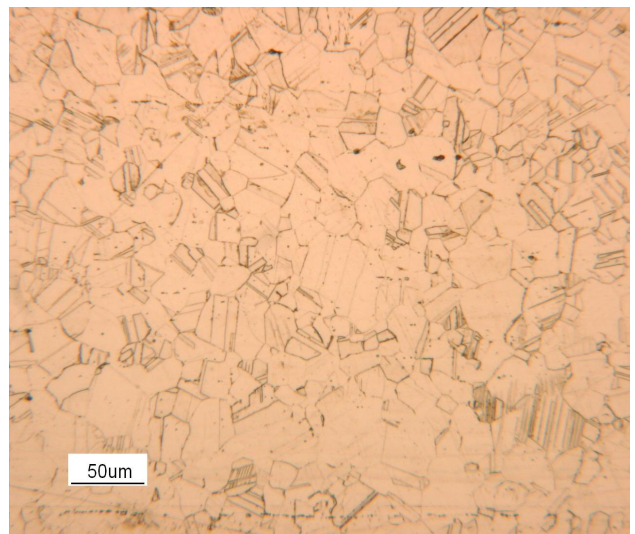
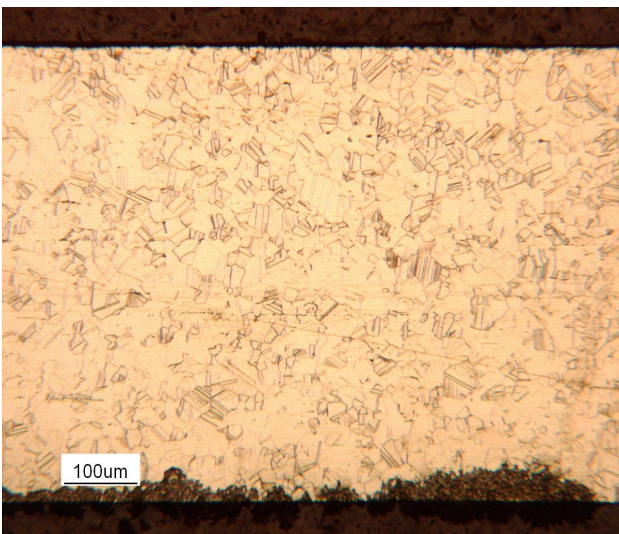


Fig. 5.50 – Micrografia longitudinale del campione a 900°C per 6 ore. a) 100x e b) 200x.

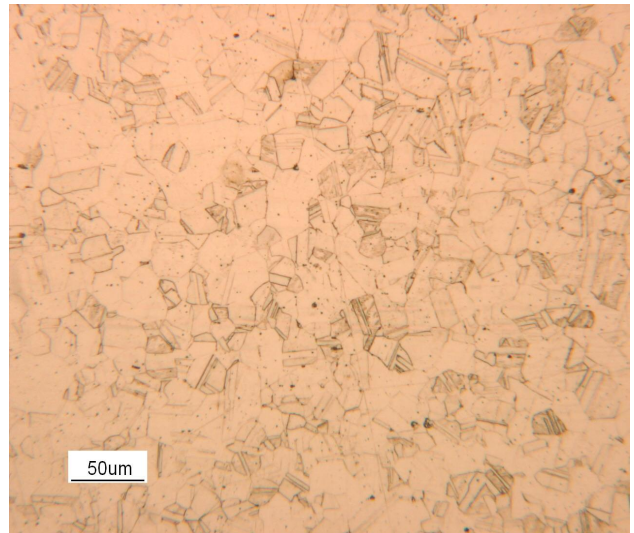
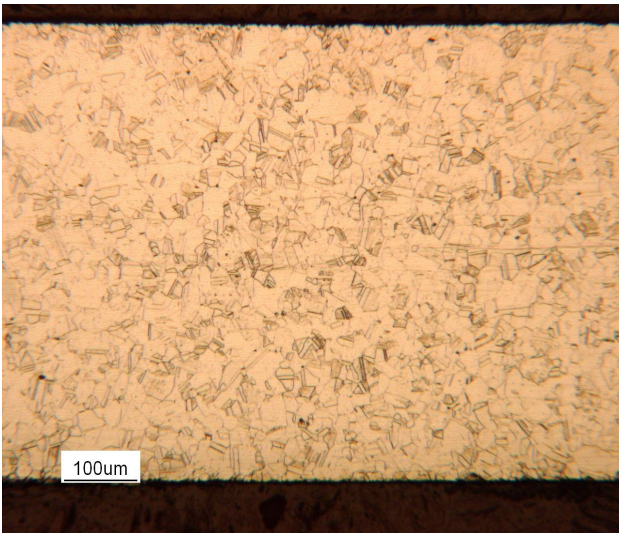


Fig. 5.51 – Micrografia trasversale del campione a 900°C per 6 ore. a) 100x e b) 200x.

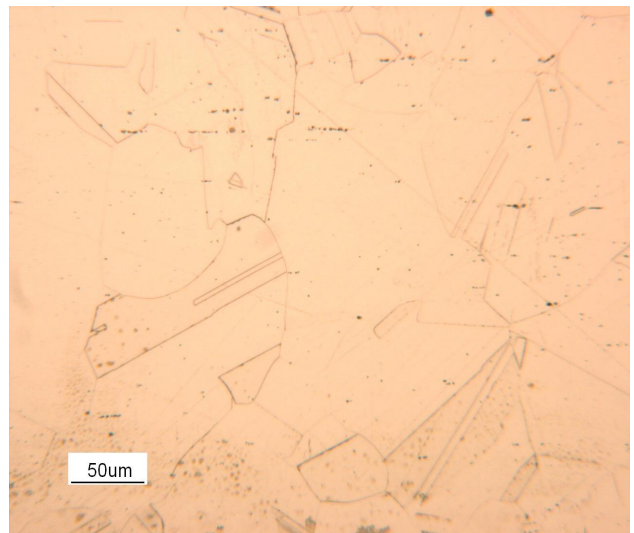
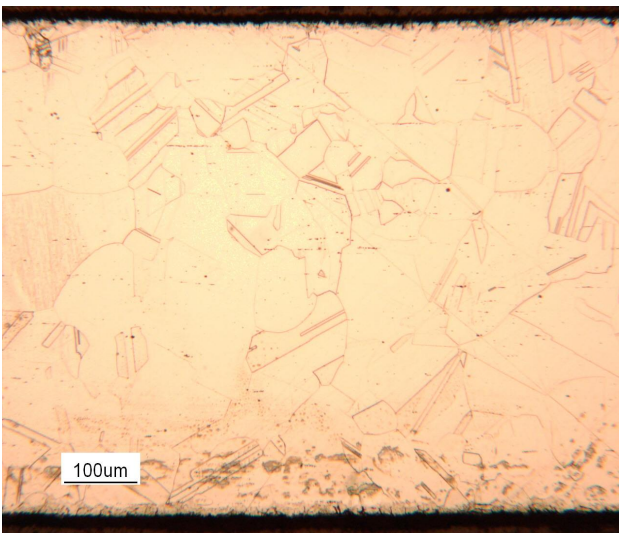


Fig. 5.52 – Micrografia longitudinale del campione a 1050°C per 6 ore. a) 100x e b) 200x.

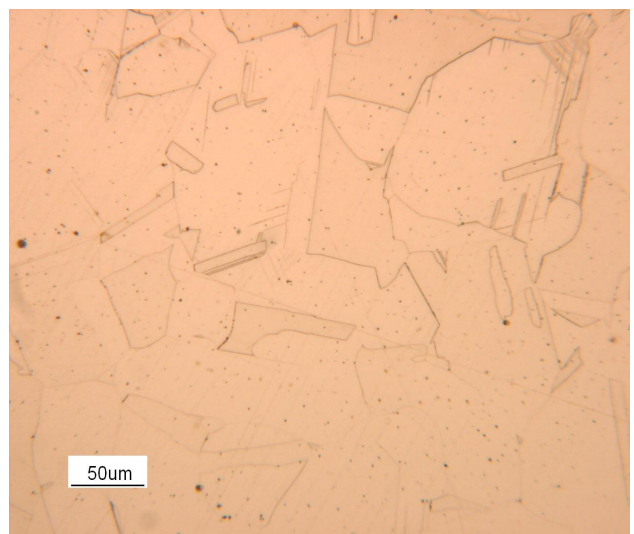
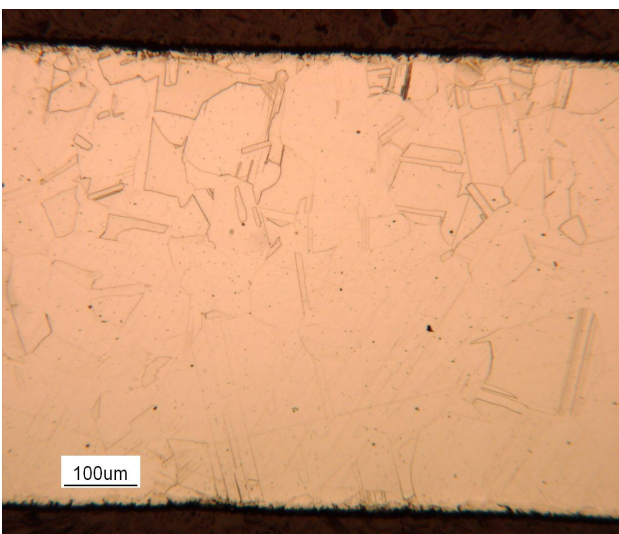


Fig. 5.53 – Micrografia trasversale del campione a 1050°C per 6 ore. a) 100x e b) 200x.

Dal confronto tra i campioni scaldati un ora e 6 ore non si evidenziano significative differenze

a livello di struttura cristallina. Inoltre non si verifica la precipitazione di carburi a bordo di grano; ciò probabilmente è dovuto al fatto che l'acciaio preso in considerazione per le analisi si tratta di un acciaio AISI 316L con un contenuto di carbonio estremamente basso.

Di seguito viene riportata la tabella di riferimento della norma ASTM A240/A240M in cui vengono indicati i limiti inferiori e superiori degli elementi che caratterizzano la lega:

	% C	% Mn	% Si	% P	% S	% Cr	% Mo	% Ni	% N
min	-	-	-	-	-	16,0	2,00	10,0	-
max	0,03	2,0	0,75	0,045	0,03	18,0	3,00	14,0	0,10

Tabella 5.1 – Riferimenti massimi e minimi degli elementi chimici per un acciaio AISI 316L.

Le analisi chimiche dei campioni sono state effettuate attraverso un quantometro ad emissione ottica. Nella seguente tabella vengono riportate le analisi chimiche dei campioni:

N°	C	Si	Mn	P	S	Cr	Ni	Mo
001	0,02	0,36	1,37	0,03	0,005	16,89	10,10	2,01
002	0,02	0,35	1,40	0,03	0,000	16,92	10,69	2,17
003	0,02	0,36	1,37	0,03	0,005	16,82	10,09	2,03
004	0,02	0,35	1,39	0,03	0,000	16,84	10,65	2,19

N°	Al	Cu	Co	Ti	Nb	V	W	Pb
001	0	0,31	0,13	0,01	<0,001	0,06	0,04	<0,0002
002	0	0,29	0,08	0,01	<0,001	0,06	0,02	<0,0002
003	0	0,31	0,13	0,01	<0,001	0,06	0,04	<0,0002
004	0	0,29	0,08	0,01	<0,001	0,07	0,02	<0,0002

N°	B	Sb	Sn	As	Bi	Ta	N	Fe
001	0,0002	0	0,012	0,01	0	<0,0005	0,03	68,57
002	0,0010	0	0,015	0,01	0	<0,0005	0,06	67,83
003	0,0002	0	0,012	0,01	0	<0,0005	0,04	68,63
004	0,0009	0	0,017	0,01	0	<0,0005	0,07	67,93

Tabella 5.2 – Composizione chimica dei campioni.

Come si può notare le lamiere provengono da due colate differenti: i campioni 001 e 003 provengono dalla stessa colata, mentre i due campioni 002 e 004 hanno una composizione chimica simile dovuta alla medesima colata.

Conclusioni

6.1 – Considerazioni finali

Dall'insieme degli esperimenti svolti si possono trarre diverse conclusioni a seconda delle analisi svolte:

- analisi visiva;
- analisi fotografica;
- analisi struttura cristallina e ossidi superficiali.

Prima di trarre le opportune conclusioni è bene ricordare le ipotesi su cui si è basata la sperimentazione condotta, in modo da facilitare l'utilizzo dei risultati, evitando la loro applicazione per condizioni troppo lontane da quelle considerate durante le prove. Le ipotesi su cui è stata sviluppata l'analisi sono:

- legge di riscaldamento a gradino;
- raffreddamento in aria;
- assenza della fiamma;
- provino ovunque alla stessa temperatura.

La scelta di una legge di riscaldamento a gradino è stata imposta dalla mancanza di informazioni sul riscaldamento seguito dal componente durante l'incendio; questa ipotesi è supportata dal piccolo spessore dei componenti (0.6 mm) che fa supporre un riscaldamento molto rapido una volta investiti dal flusso di calore.

La scelta di un raffreddamento in aria è dovuta alla mancanza di informazioni sul mezzo di spegnimento, perciò si è scelto il caso più semplice del fatto che in un incendio vi sono sempre zone che non entrano in contatto con l'acqua.

L'assenza della fiamma è stata dettata dalla mancanza di un forno adeguato. Tale ipotesi non

penalizza l'analisi perché in un incendio vi sono ampie zone che non entrano in contatto diretto con la fiamma e lo strato superficiale di un componente in acciaio inossidabile si modifica anche a seguito del contatto con una fonte di calore.

L'ipotesi di temperatura omogenea in tutto il provino è giustificata dal piccolo spessore dei provini che quindi si riscaldano e si raffreddano molto velocemente senza presentare gradienti termici rilevanti al loro interno.

Dall'analisi visiva si può osservare che lo strato superficiale dei campioni di lamiera cambia colore una volta raggiunta la temperatura di 340°C. Prima di questa temperatura l'analisi visiva non può aiutare a distinguere la temperatura raggiunta durante l'incendio né la durata dello stesso. Inoltre, i provini presentano una colorazione omogenea fino alla temperatura di 400°C circa e oltre i 750°C. Nell'intervallo di temperatura intermedio i campioni presentano delle macchie di differente colorazione dovute quasi sicuramente a fenomeni legati alle condizioni sperimentali: derivanti soprattutto dal fatto che il riscaldamento e il raffreddamento avvengono in aria.

L'analisi fotografica non ha portato ai risultati auspicati all'inizio della sperimentazione. Tuttavia si può affermare che l'efficacia del light box e la taratura delle fotocamere non sia da mettere in discussione: la struttura costruita per svolgere l'analisi fotografiche risulta essere efficace in quanto le fotografie effettuate sullo stesso campione sono da considerare statisticamente uguali. A questo va aggiunta anche l'applicazione del pacchetto hardware e software per la taratura delle macchine fotografiche che ha contribuito a limitare le differenze costruttive delle fotocamere (in particolare sensore digitale e ottiche). Le difficoltà evidenziate durante l'analisi statistica sono da attribuire alle macchie di differente colorazione che si individuano su alcuni campioni nell'intervallo di temperatura che va dai 400 a 650°C circa: questa disomogeneità di colorazione porta ad un cambiamento dei valori di media e deviazione standard degli istogrammi RGB da cui derivano le difficoltà nelle verifiche dei residui. Tuttavia è ragionevole pensare che la colorazione superficiale delle lamiere dipendano principalmente dai due fattori temperatura e tempo e che il test di Tukey svolto per le medie dei tre canali rosso, verde e blu sia da considerarsi valido.

L'analisi metallografica, svolta con l'ausilio del microscopio ottico, ci mostra come la struttura cristallina dei campioni cambi solo per temperature elevate (oltre i 900°C) e che i fenomeni di *recovery* e *ricristallizzazione* modificano la dimensione del grano. Il fenomeno di precipitazione dei carburi a bordo grano non si verifica in quanto il materiale utilizzato per la sperimentazione è un acciaio inossidabile austenitico *low carbon* (AISI 316L). L'analisi degli ossidi superficiali, svolta con l'ausilio del microscopio a scansione elettronica, mostra come la

morfologia dell'ossido di cromo si modifica oltre i 600°C; fino a questa temperatura l'ossido risulta essere compatto e ben adeso alla superficie del componente. Oltre i 600°C l'ossido si sfalda e comincia a staccarsi in scaglie dalla superficie.